

UNIVERSIDADE ESTADUAL DE CAMPINAS
FACULDADE DE ENGENHARIA DE ALIMENTOS
DEPARTAMENTO DE ENGENHARIA DE ALIMENTOS

REOMETRIA DE SUCO CONCENTRADO DE FRUTAS

PARECER

Este exemplar corresponde à redação final da tese defendida por TATIANA GEHRKE e aprovada pela Comissão Julgadora em 18 de março de 1996.

Campinas, 18 de março de 1996


PROF. DR. CARLOS ALBERTO GASPARETTO
Presidente da Banca

Tese apresentada à Faculdade de Engenharia de Alimentos da Universidade Estadual de Campinas para a obtenção do Título de Mestre em Engenharia de Alimentos.

Autora: TATIANA GEHRKE

Orientador: PROF. DR. CARLOS ALBERTO GASPARETTO

Campinas, março de 1996.

| | |
|-----------------|-------|
| UNIDADE | PL |
| N.º CHAMADA: | |
| I UNICAMP | |
| 5274 R | |
| 27.4.3.6. | |
| AN. | 66/96 |
| U | 018 |
| PREÇO R\$ 11,00 | |
| DATA 25/04/96 | |
| N.º CPD | |

CM-00087262-6

FICHA CATALOGRÁFICA ELABORADA PELA
BIBLIOTECA DA F.E.A. - UNICAMP

G311r

Gehrke, Tatiana

Reometria de suco concentrado de frutas / Tatiana Gehrke. --
Campinas, SP : [s.n.], 1996.

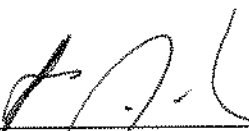
Orientador: Carlos Alberto Gasparetto
Dissertação (mestrado) -Universidade Estadual de Campinas.
Faculdade de Engenharia de Alimentos.

1. Reômetros. 2. Suco de fruta concentrado. 3. Viscosidade.
4. *Pseudoplástico 5. *Instabilidades. I. Gasparetto, Carlos Alberto.
II. Universidade Estadual de Campinas. Faculdade de Engenharia de
Alimentos. III. Título.

BANCA EXAMINADORA



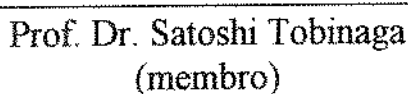
Prof. Dr. Carlos Alberto Gasparetto
(orientador)



Prof. Dr. Celso Arruda
(membro)



Profa. Dra. Katia Tannous
(membro)



Prof. Dr. Satoshi Tobinaga
(membro)

Campinas, de março de 1996.

Aos meus pais.
Arno e Alida, e irmãos Rogério e
Sabrina, com amor.

AGRADECIMENTOS

Ao Prof. Dr. Carlos Alberto Gasparetto, pela orientação da tese e pelo apoio.

Aos meus pais, Arno e Alida, e irmãos, Rogério e Sabrina, pelo apoio, carinho e amor.

Aos meus amigos, por todo apoio e momentos de descontração e alegria.

Aos Profs. Drs. Celso Arruda, Katia Tannous e Satoshi Tobinaga, pelas correções e sugestões da tese.

À Ângela, técnica do Laboratório de Propriedades Físicas, pela colaboração e amizade.

Aos responsáveis pelo Núcleo Setorial de Informática, Arnaldo e Nivaldo, pela atenção e colaboração.

Ao Centro Pluridisciplinar de Pesquisa Químicas, Biológicas e Agrícolas, pelo uso do equipamento.

Ao Laboratório de Engenharia de Petróleo, em especial ao responsável Pompeo, pelo auxílio e uso do equipamento.

Aos colegas, professores e funcionários da Faculdade de Engenharia de Alimentos, sem os quais a realização deste trabalho não seria possível.

Ao CNPq, pelo suporte financeiro durante 24 meses.

SUMÁRIO

| | |
|--|-----|
| ÍNDICE DE FIGURAS | i |
| ÍNDICE DE TABELAS | iii |
| NOMENCLATURA | iv |
| RESUMO..... | vi |
| SUMMARY..... | vii |
| 1. INTRODUÇÃO E OBJETIVOS..... | 1 |
| 1. 1. INTRODUÇÃO | 1 |
| 1. 2. OBJETIVOS | 2 |
| 2. REVISÃO BIBLIOGRÁFICA..... | 3 |
| 2.1. LEI DA VISCOSIDADE DE NEWTON | 3 |
| 2.2. COMPORTAMENTO REOLÓGICO DOS FLUIDOS..... | 4 |
| 2.3. REOMETRIA | 11 |
| 2.4. MODELOS DE COMPORTAMENTO..... | 12 |
| 2.5. FAIXAS PRÁTICAS DE VARIÁVEIS QUE AFETAM A VISCOSIDADE ... | 15 |
| 2.5.1. Efeito da temperatura e concentração | 15 |
| 2.5.2. Efeito da taxa de deformação..... | 17 |
| 2.5.3. Efeito da pressão | 18 |
| 2.6. DESCRIÇÃO DOS REÔMETROS | 18 |
| 2.6.1. Reômetro capilar | 19 |
| 2.6.2. Reômetro rotacional de cilindro concêntrico..... | 21 |

| | |
|---|-----------|
| 2.6.3. Reômetro de cone e placa | 22 |
| 2.6.4. Reômetro de Placas Paralelas | 23 |
| 3. MATERIAIS E MÉTODOS | 24 |
| 3.1. PREPARAÇÃO DAS AMOSTRAS | 24 |
| 3.2. MEDIDAS EXPERIMENTAIS | 24 |
| 3.2.1. Reômetro de Placas Paralelas | 24 |
| 3.2.2. Reômetro de Cilindros Concêntricos | 25 |
| 3.3. PROCESSAMENTO DOS RESULTADOS | 27 |
| 3.3.1. Processamento dos resultados do Reômetro de Placas Paralelas | 28 |
| 3.3.2. Processamento dos resultados do Reômetro de Cilindros Concêntricos | 28 |
| 4. RESULTADOS E DISCUSSÃO | 30 |
| 4.1. MEDIDAS REALIZADAS NO REÔMETRO DE PLACAS PARALELAS | 30 |
| 4.2. MEDIDAS REALIZADAS NO REÔMETRO DE CILINDROS CONCÊNTRICOS | 34 |
| 4.2.1. Sistema MS-DIN 145 (tipo Searle) | 34 |
| 4.2.2. Sistema MS-DIN 1075..... | 38 |
| 4.3. COMPARAÇÃO DOS RESULTADOS USANDO-SE OS DOIS REÔMETROS | 42 |
| 5. CONCLUSÕES..... | 47 |
| 6. SUGESTÕES | 49 |
| 7. REFERÊNCIAS BIBLIOGRÁFICAS..... | 50 |
| ANEXO A | 53 |

ÍNDICE DE FIGURAS

| | |
|--|----|
| Figura 2.1.1. Escoamento de um fluido entre duas placas paralelas..... | 4 |
| Figura 2.2.1. Curvas de escoamento para vários tipos de fluidos independentes do tempo..... | 5 |
| Figura 2.2.2. Curvas de escoamento para fluidos com comportamento dependente do tempo..... | 6 |
| Figura 2.2.3. Comportamento de fluidos elásticos e inelásticos..... | 7 |
| Figura 2.2.4. Diagrama tensão em função do tempo (resposta) para um corpo de Kelvin-Voigt..... | 9 |
| Figura 2.2.5. Diagrama tensão em função do tempo (resposta) para um corpo de Maxwell..... | 9 |
| Figura 2.2.6. Diagrama tensão em função do tempo (resposta) para um corpo de Burger..... | 10 |
| Figura 2.6.1. Geometrias de reômetros..... | 18 |
| Figura 2.6.2. Arranjo experimental de um reômetro do tipo capilar..... | 20 |
| Figura 2.6.3. Gráfico para determinação do comportamento do fluido, usando-se um reômetro capilar..... | 21 |
| Figura 2.6.4. Diagrama esquemático do reômetro de cilindro concêntrico | 22 |
| Figura 2.6.5. Diagrama esquemático do reômetro de cone e placa | 22 |
| Figura 3.2.1. Reômetro Haake Rotovisco..... | 25 |
| Figura 3.2.2. (a) Sistema MS-DIN 145. (b) Sistema MS-DIN 1075..... | 26 |
| Figura 4.1.1. Suco de laranja a 35 ⁰ Brix | 30 |
| Figura 4.1.2. Suco de laranja a 45 ⁰ Brix | 30 |
| Figura 4.1.3. Suco de laranja a 55 ⁰ Brix | 31 |
| Figura 4.1.4. Suco de laranja a 64,8 ⁰ Brix | 31 |
| Figura 4.1.5. Reogramas para o suco de laranja a 64,8 ⁰ Brix e temperatura de 50 ⁰ C..... | 33 |
| Figura 4.2.1. Suco de laranja a 35 ⁰ Brix | 35 |

| | |
|---|-----------|
| Figura 4.2.2. Suco de laranja a 45⁰Brix..... | 35 |
| Figura 4.2.3. Suco de laranja a 55⁰Brix | 35 |
| Figura 4.2.4. Suco de laranja a 64.8⁰Brix | 35 |
| Figura 4.2.5. Suco de caju a 57.2⁰Brix | 36 |
| Figura 4.2.6. Suco de maracujá a 45⁰Brix..... | 36 |
| Figura 4.2.7. Suco de maracujá a 59.2⁰Brix..... | 36 |
| Figura 4.2.8. Suco de limão a 61⁰Brix..... | 36 |
| Figura 4.2.9. Suco de laranja a 35⁰Brix | 38 |
| Figura 4.2.10. Suco de laranja a 45⁰Brix | 38 |
| Figura 4.2.11. Suco de laranja a 55 Brix..... | 39 |
| Figura 4.2.12. Suco de laranja a 64.8⁰Brix | 39 |
| Figura 4.2.13. Suco de caju a 57.2⁰Brix | 39 |
| Figura 4.2.14. Suco de limão a 61⁰Brix | 39 |
| Figura 4.2.15. Suco de maracujá a 45⁰Brix..... | 40 |
| Figura 4.2.16. Suco de maracujá a 59.2⁰Brix..... | 40 |
| Figura 4.3.1. Suco de laranja a 35⁰Brix e 60⁰C..... | 43 |
| Figura 4.3.2. Suco de laranja a 45⁰Brix e 60⁰C..... | 43 |
| Figura 4.3.3. Suco de laranja a 45⁰Brix e temperatura de 80⁰C..... | 43 |
| Figura 4.3.4. Suco de laranja a 55⁰Brix e temperatura de 80⁰C..... | 43 |
| Figura 4.3.5. Suco de laranja a 64.8⁰Brix e temperatura igual a 50⁰C | 44 |
| Figura 4.3.6. Comparação dos sistemas MS-DIN 145 e 1075 | 45 |
| Figura 4.3.7. Comparação dos sistemas MS-DIN 1075 e placas paralelas..... | 45 |
| Figura 4.3.8. Comparção dos sistemas MS-DIN 145 e placas paralelas | 45 |

ÍNDICE DE TABELAS

| | |
|--|----|
| Tabela 3.1.1. Valores de concentrações de sólidos solúveis para os sucos utilizados nos experimentos..... | 24 |
| Tabela 3.2.2. Condições experimentais no sistema de cilindros concêntricos e placas paralelas..... | 27 |
| Tabela 4.1.1. Parâmetros do modelo de Ostwald para o suco de laranja..... | 31 |
| Tabela 4.1.2. Parâmetros do modelo de Herschel-Bulkley para o suco de laranja | 32 |
| Tabela 4.1.3. Parâmetros para o modelo de Casson | 32 |
| Tabela 4.2.1. Parâmetros do modelo de Ostwald. | 37 |
| Tabela 4.2.2. Parâmetros do modelo de Herschel-Bulkley. | 37 |
| Tabela 4.2.3. Parâmetros do modelo de Casson. | 37 |
| Tabela 4.2.4. Parâmetros do modelo de Ostwald | 40 |
| Tabela 4.2.4. Continuação..... | 41 |
| Tabela 4.2.5. Parâmetros do modelo de Herschel-Bulkley | 41 |
| Tabela 4.2.6. Parâmetros para o modelo de Casson - Modelo MS-DIN 1075..... | 41 |
| Tabela 4.2.6. Continuação..... | 42 |

NOMENCLATURA

A - área (m^2)

A_1 - Constante da equação 2.5.2

A_2 - Constante da equação 2.5.3

C - concentração de sólidos solúveis ($^0\text{Brix}$ ou %sólidos)

C_1 - constante da mola

C_2 - constante de amortecimento

D - diâmetro interno do tubo

E_a - Energia de ativação (Kcal.g. mol^{-1})

H - altura (m)

F - força (N)

G, G_0 , G_1 - Módulo de cisalhamento

k - módulo de rigidez

K - índice de consistência (equação 2.4.2)

K_C - constante da equação 2.4.4

K_H - índice de consistência (equação 2.4.3)

K_M - constante da equação 2.4.5

K_{OC} - constante da equação 2.4.4

K_{OM} - constante da equação 2.4.5

K_{OSW} - constante de correção para taxa de deformação

L - comprimento do tubo

n - índice de comportamento do escoamento (equação 2.4.2)

n_H - índice de comportamento do escoamento (equação 2.4.3)

Q - vazão

R - constante dos gases ($1,987 \text{ cal.g.\text{mol}^{-1}.K^{-1}}$)

R_a - raio externo do cilindro rotativo (mm)

R_b - raio interno do cilindro fixo (mm)

- S - tensor de tensões
U - velocidade (m/s)
T - temperatura absoluta (K)
 Δ - tensor simétrico da taxa de deformação
 Δp - queda de pressão ao longo de L
 $\dot{\gamma}$ - taxa de deformação (s^{-1})
 λ - tempo de relaxamento
 μ - viscosidade (Pa.s)
 η - viscosidade aparente (Pa.s)
 η_0 - Constante da equação 2.5.1
 η_1 - Constante da equação 2.5.2
 η_2 - Constante da equação 2.5.3
 τ - Tensão de cisalhamento
 τ_0 - Tensão de cisalhamento inicial

Tese de Mestrado: "REOMETRIA DE SUCO CONCENTRADO DE FRUTAS"

Autora: Tatiana Gehrke

Orientador: Prof. Dr. Carlos Alberto Gasparetto

Departamento de Engenharia de Alimentos - FEA - UNICAMP - Março/96.

RESUMO

Foi desenvolvido um trabalho experimental de reometria de sucos concentrados comerciais de caju, laranja, limão e maracujá, com o objetivo de comparar os resultados obtidos em três sistemas de medida: placas paralelas, cilindros concêntricos tipo Searle e anular fixo com copo invertido ("double gap"). As faixas de medida foram: concentração de 35 a 65 °Brix e temperatura de +50 a +80 °C. Os resultados obtidos mostram que o reômetro tipo Searle tem faixa de operação confiável muito reduzida devido ao aparecimento de instabilidades que comprometem o escoamento viscométrico. Nos experimentos a 70 e 80 °C houve perdas de água por evaporação que chegaram a ocasionar variações de até 7% na concentração medida em °Brix. Este efeito pode induzir a uma falsa tixotropia e necessita monitoramento apurado, sendo mais difícil de medir e controlar no sistema de placas paralelas. Todas as amostras apresentaram comportamento pseudoplástico e foram descritas por ajuste dos modelos de Ostwald de Waele, Casson e Herschel-Bulkley. Os três sistemas de medida não produziram os mesmos parâmetros de ajuste aos modelos reológicos. O sistema Searle apresenta grandes desvios que são típicos da presença de instabilidades, portanto este não é um sistema adequado para caracterizar reologicamente sucos concentrados a temperaturas acima de 50 °C. O sistema de placas paralelas indicou viscosidade aparente maior para todas as condições de medida.

Palavras-chave: Reometria, suco concentrado, viscosidade aparente, pseudoplástico, instabilidades.

M. Sc. Thesis: "RHEOMETRY OF CONCENTRATED FRUIT JUICE"

Author: Tatiana Gehrke

Supervisor: Carlos Alberto Gasparetto

Department of Food Engineering - FEA - UNICAMP - March/96.

SUMMARY

This is an experimental investigation on rheometry of marketed concentrated fruit juice of cashew, orange, lime and passion fruit. The purpose was the comparison of results obtained from three measuring systems: parallel plates, Searle concentric cylinders and double gap. Concentration ranged within 35 to 65 °Brix and temperature within 50 to 80 °C. The Searle system exhibited a narrow range of reliable operation, as demonstrated by experimental data showing instabilities which disturbed the viscometric flow. Evaporation occurred at 70 to 80 °C causing differences up to 7% in the concentration measured as °Brix. This effect produces an apparent thixotropy which has to be accurately monitored but it is difficult to measure and to control with the parallel plate system. All samples exhibited pseudoplastic behaviour which was described using the models by Ostwald de Waele, Casson and Herschel Bulkley. The three measuring systems did not lead to the same value for the parameters of rheological models. The Searle system produced data points with large deviations, typically indicating the presence of instabilities, therefore this is not a suitable system for the rheological characterization of concentrated juices at temperatures above 50 °C. The parallel plate system showed higher apparent viscosity for all conditions of experiments.

Key words: Rheometry, concentrated juice, apparent viscosity, pseudoplastic, instabilities.

1. INTRODUÇÃO E OBJETIVOS

1. 1. INTRODUÇÃO

As propriedades reológicas de sucos e polpas de frutas são muito importantes, já que influem no desenvolvimento do processo de elaboração e aceitação do produto pelo consumidor. Além disso também são empregadas como medida de controle de qualidade e no projeto de equipamentos e processos.

Nas medidas das propriedades reológicas a temperaturas acima da ambiente, observa-se o fenômeno da evaporação da água, o que ocasiona uma mudança na concentração do material que está sendo analisado. Nos estudos do efeito da temperatura e concentração, encontram-se faixas mais críticas onde uma pequena variação da temperatura ou concentração ocasiona uma grande mudança no valor dessas propriedades.

Para a obtenção de propriedades reológicas são usados os instrumentos de medida conhecidos como reômetros. Os tipos mais utilizados são os tubos capilares, os cilindros concêntricos, placas paralelas e os do tipo cone e prato. Se o reômetro tem geometria que apresenta uma grande superfície livre do fluido, o efeito da evaporação da água pode ser bastante pronunciado, principalmente a altas temperaturas. Portanto, o estudo do efeito da evaporação em diferentes reômetros, é de grande interesse prático, pois os dados de viscosidade usados nos projetos de equipamentos devem ser determinados com a máxima precisão possível, evitando um sub ou superdimensionamento desses equipamentos. Sabe-se também que muitos dados experimentais da literatura são difíceis de reproduzir e esse efeito de evaporação pode ser uma das razões. Outra razão importante que impede a reprodução de dados é a

diferença entre sistemas de medida e os desvios que ocorrem nos valores medidos com cada um desses sistemas em particular.

1. 2. OBJETIVOS

O objetivo deste trabalho foi estudar o comportamento reológico de sucos de frutas a temperaturas acima da ambiente. Este estudo se concentrou em faixas de temperatura (50 a 80 °C) e concentração (35 a 65 °Brix) onde ocorrem variações bruscas de propriedades reológicas e que são de grande interesse prático principalmente nos processos de concentração por evaporação da água. O comportamento reológico será analisado em termos dos seguintes modelos: lei da potência, Herschel-Bulkley e Casson. Os parâmetros que descrevem o comportamento reológico são fundamentais na definição dos adimensionais de Reynolds e Prandtl, nas correções das propriedades na temperatura de parede e na temperatura média de mistura. Portanto é de grande interesse verificar se as medidas são dependentes do tipo de reômetro e do efeito da temperatura e consequentemente da evaporação. Foi feita uma comparação dos resultados experimentais obtidos em três reômetros: placas paralelas, cilindros concêntricos (tipo Searle) e de copo invertido (“double gap”).

2. REVISÃO BIBLIOGRÁFICA

2.1. LEI DA VISCOSIDADE DE NEWTON

Isaac Newton introduziu o conceito de viscosidade em 1687, dando atenção para líquidos (água e óleos) e apresentou hipóteses associadas com o escoamento simples de fluidos entre duas placas paralelas, como mostrado na Figura 2.1.1. A viscosidade é o sinônimo de atrito interno e é a medida da resistência ao escoamento (BARNES *et alii*, 1989.). A força por unidade de área, necessária para produzir o movimento é F/A e é denominada por τ (tensão de cisalhamento), a qual é proporcional ao gradiente de velocidade ou taxa de deformação U/H. A constante de proporcionalidade μ é chamada de coeficiente de viscosidade (BIRD *et alii*, 1960)

$$\tau = \mu \frac{U}{H} \quad (2.1.1)$$

sendo que $\frac{U}{H}$ é usualmente escrito como $\dot{\gamma}$.

$$\tau = \text{tensão de cisalhamento} = \frac{\text{força}}{\text{área}} = \frac{N}{m^2} = Pa$$

$$\dot{\gamma} = \text{taxa de deformação} = \frac{m/s}{m} = s^{-1}$$

Portanto:

$$\mu = \frac{\tau}{U/H} = \frac{N/m^2}{s^{-1}} = Pa.s$$

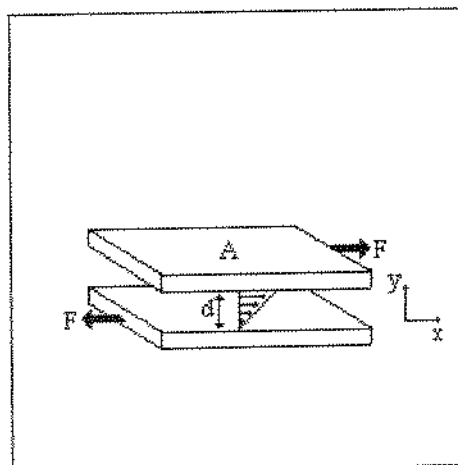


Figura 2.1.1. Escoamento de um fluido entre duas placas paralelas.

A unidade no SI (Sistema Internacional) é o Pascal, segundo, abreviada como Pa.s. Outra unidade bastante usada é o Poise (P) do sistema cgs. Como exemplo a viscosidade da água a 20,20 °C é 1 mPa.s ou 1cP. Portanto 1 cP=1x10⁻³ Pa.s. (BARNES *et alii*, 1989).

Os fluidos que obedecem o postulado de Newton são chamados de fluidos newtonianos (BIRD *et alii*, 1960). Para estes fluidos, o escoamento acontece logo que a tensão é aplicada, e μ é independente da taxa de deformação e da tensão de cisalhamento.

2.2. COMPORTAMENTO REOLÓGICO DOS FLUIDOS

Fluidos que não seguem comportamento newtoniano são chamados de não-newtonianos. Para caracterizar fluidos não newtonianos pode ser usada a viscosidade aparente η a uma taxa de deformação específica

$$\eta = \frac{\tau}{\gamma} \quad (2.2.1)$$

onde τ é a tensão de cisalhamento e $\dot{\gamma}$ é a taxa de deformação (BARNES *et alii*, 1989).

Numa temperatura constante a viscosidade aparente para fluidos independentes do tempo depende somente da taxa de deformação. Para os fluidos dependentes do tempo a viscosidade aparente depende também da duração do cisalhamento. Comportamento de escoamento independente do tempo pode ser dividido nas categorias: pseudoplásticos e dilatantes, dependendo se a viscosidade aparente decresce ou aumenta, respectivamente, com a taxa de deformação. Fluidos dilatantes são raramente encontrados. A Figura 2.2.1, apresenta as curvas de comportamento para fluidos com escoamento independente do tempo (RAO & RIZVI, 1986).

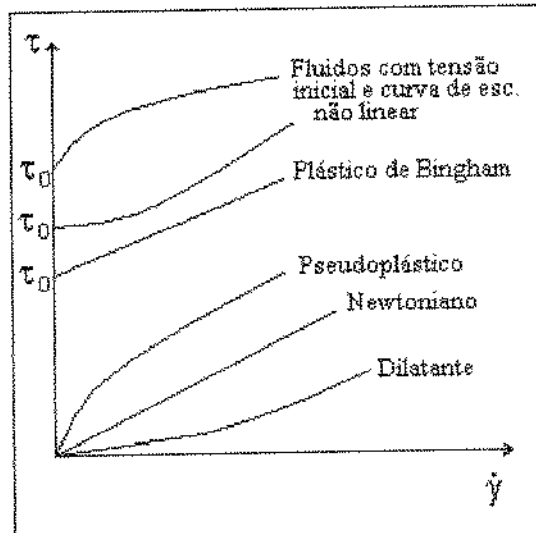


Figura 2.2.1. Curvas de escoamento para vários tipos de fluidos independentes do tempo.

Os materiais podem apresentar ou não uma tensão inicial a ser vencida antes deles escoarem como fluidos. O comportamento físico de fluidos com tensão inicial é usualmente explicado em termos da sua estrutura interna, a qual é capaz de impedir o movimento para valores de tensão de cisalhamento menores do que um valor

limite τ_0 . Para τ maior do que τ_0 a estrutura interna colapsa, permitindo que ocorra escoamento. A estrutura interna pode recuperar-se quando τ passa a ser menor do que τ_0 (SKELLAND, 1967).

Fluidos não newtonianos com propriedades reológicas dependentes do tempo são subdivididos em fluidos tixotrópicos e reopéticos. No caso do primeiro, a uma taxa de deformação fixa, a viscosidade decresce com o tempo e para o último, a viscosidade aumenta com o tempo (SKELLAND, 1967).

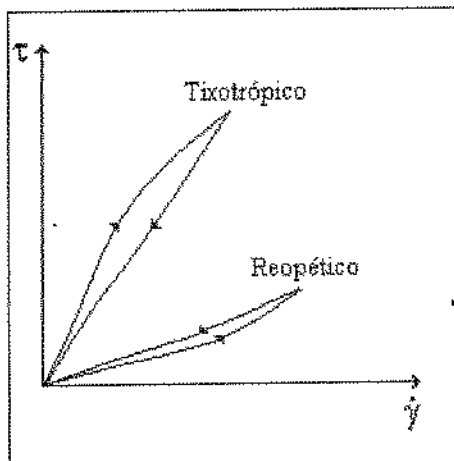


Figura 2.2.2. Curvas de escoamento para fluidos com comportamento dependente do tempo.

A deformação de um corpo pode ser dividida em dois tipos gerais: (1) deformação espontaneamente reversível, caracterizando a elasticidade e (2) deformação irreversível caracterizando o escoamento. O trabalho usado na deformação de um corpo perfeitamente elástico é recuperado quando o corpo retorna para a sua forma original (VAN WAZER *et alii*, 1963).

Na Figura 2.2.3, é apresentado o comportamento de fluidos elásticos e inelásticos quando estes são submetidos a escoamento em um tubo e quando agitados. Alguns exemplos de fluidos elásticos são clara de ovo e massa de bolo.

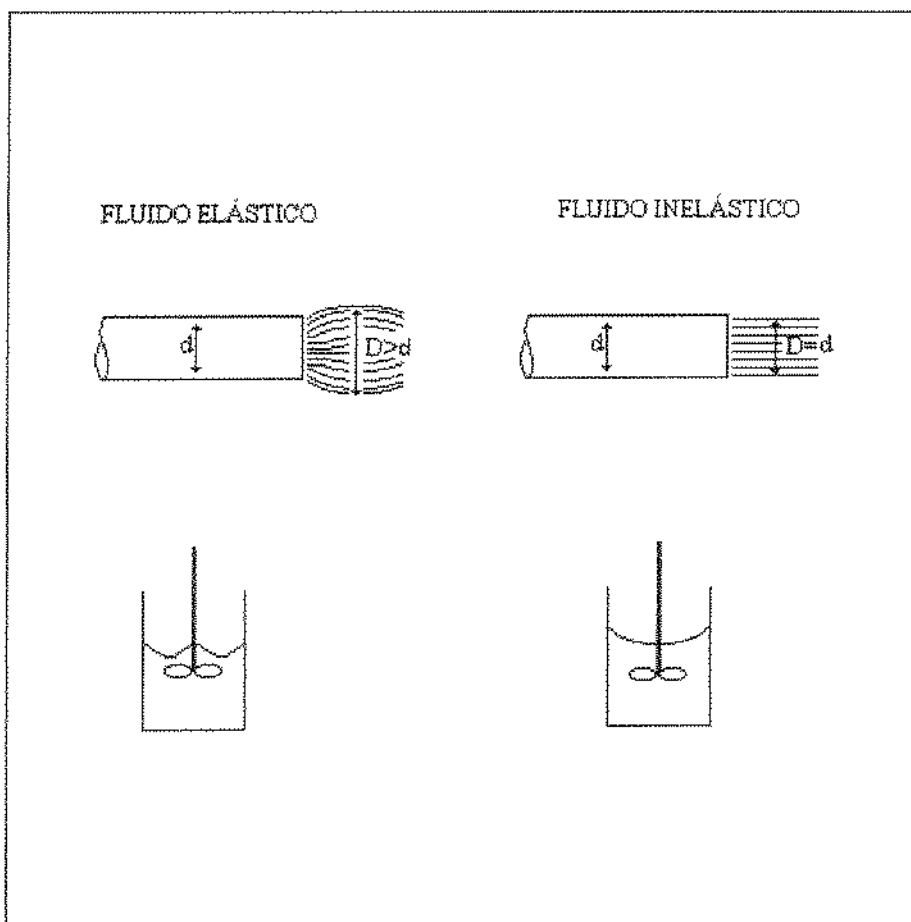


Figura 2.2.3. Comportamento de fluidos elásticos e inelásticos.

Os fluidos viscoelásticos, apresentam ambas as propriedades, viscosidade e elasticidade. O corpo elástico de Hook, dado como o modelo de um sólido ideal, pode ser representado por uma mola, desde que a força da mola seja proporcional à deformação, então:

$$F = C_1 x \quad (2.2.2)$$

onde C_1 é a constante da mola (PRENTICE, 1986). Um líquido puramente viscoso pode ser representado por um amortecedor, desde que a força no amortecedor seja proporcional à taxa de deformação, ou

$$F = C_2 \frac{dx}{dt} \quad (2.2.3)$$

onde C_2 é a constante de amortecimento (SKELLAND, 1967).

Usando-se combinações de modelos de molas e amortecedores, em série ou em paralelo, pode-se demonstrar propriedades típicas de fluidos viscoelásticos, e apresentar equações para suas respostas força/deformação.

O tipo de ligação entre os modelos mecânicos definem um sólido viscoelástico (Kelvin-Voigt) ou um líquido viscoelástico (Maxwell). Estes modelos são relativamente simples, visto que possuem ligações de somente uma mola e um amortecedor simples.

O sólido de Kelvin-Voigt combina mola e amortecedor em paralelo. A deformação total é igual a deformação no amortecedor e igual a deformação na mola. A tensão aplicada é igual a soma das tensões na mola e no amortecedor. Substituindo as equações de estado (2.2.4 e 2.2.5) para a resposta elástica da mola e a resposta viscosa de líquidos newtonianos, obtém-se a equação 2.2.6 como solução.

$$\tau = G \cdot \gamma \quad (2.2.4)$$

onde G é o módulo de cisalhamento.

$$\tau = \eta \cdot \dot{\gamma} \quad (2.2.5)$$

$$\gamma(t) = \tau_0 / G \left[1 - e^{(-t/\lambda)} \right] \quad (2.2.6)$$

onde $\lambda = \eta/G$ é o tempo de relaxamento.

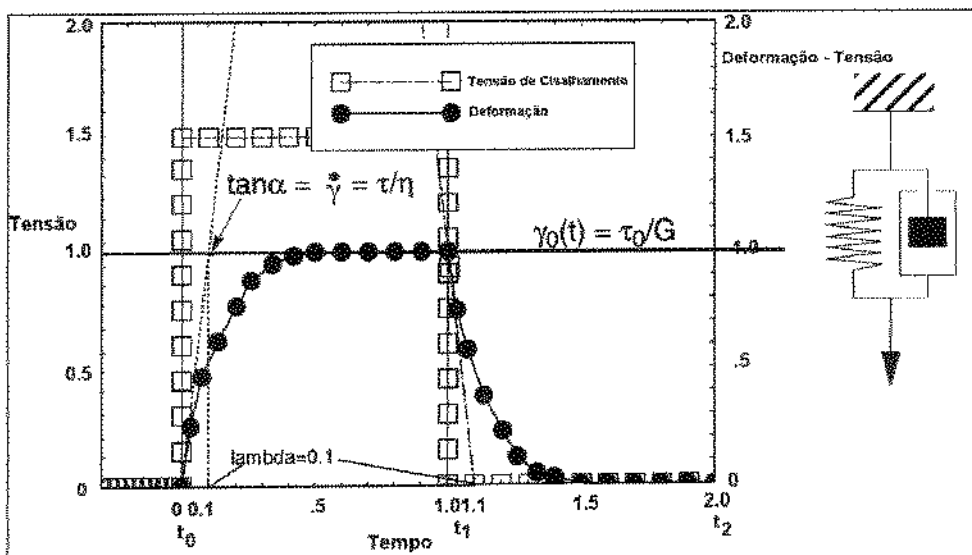


Figura 2.2.4. Diagrama tensão em função do tempo (resposta) para um corpo de Kelvin-Voigt

O corpo de Maxwell é formado por uma combinação em série de uma mola e um amortecedor, como mostrado na Figura 2.2.5. Neste caso, a tensão em ambos os elementos é a mesma, e a deformação total é a soma das deformações na mola e no amortecedor. A solução da equação para este modelo é:

$$\gamma(t) = (\tau_0 / \eta) \cdot t + \tau_0 / G \quad (2.2.7)$$

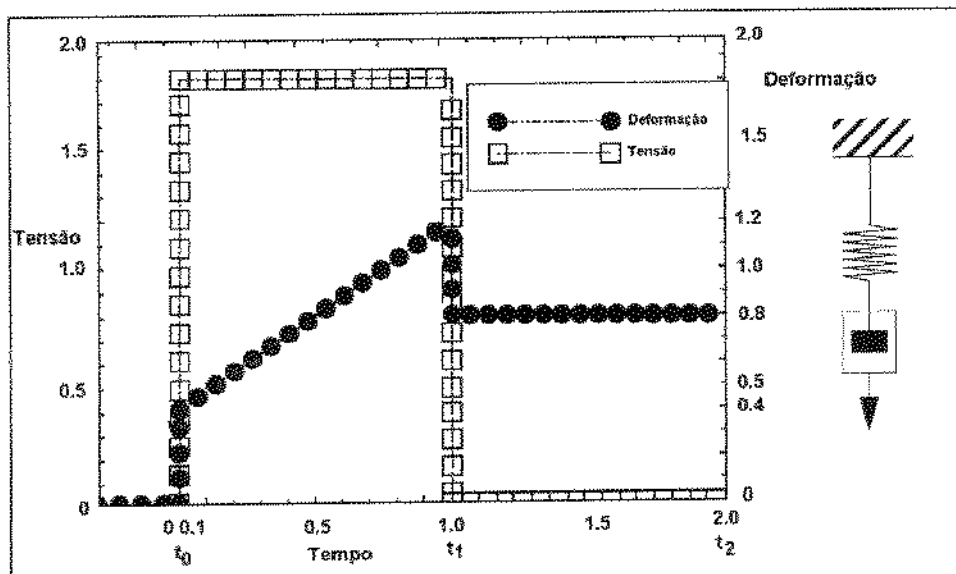


Figura 2.2.5. Diagrama tensão em função do tempo (resposta) para um corpo de Maxwell

O modelo de Burger, com um sólido de Kelvin-Voigt e um líquido de Maxwell ligados em série representa muito melhor os materiais reais, sendo, atualmente, o mais popular.

Este modelo é construído com duas molas com os módulos G_0 e G_1 e dois amortecedores com viscosidades η_0 e η_1 . Como os componentes estão em série, as tensões para cada um são iguais, e a deformação total é a soma das deformações pra ambos os componentes. A solução da equação fica (SCHRAMM, 1994):

$$\gamma(t) = \tau_0 \cdot t / \eta_0 + \tau_0 / G_0 + \tau_0 / G_1 [1 - e^{-t/\lambda_1}] \quad (2.2.8)$$

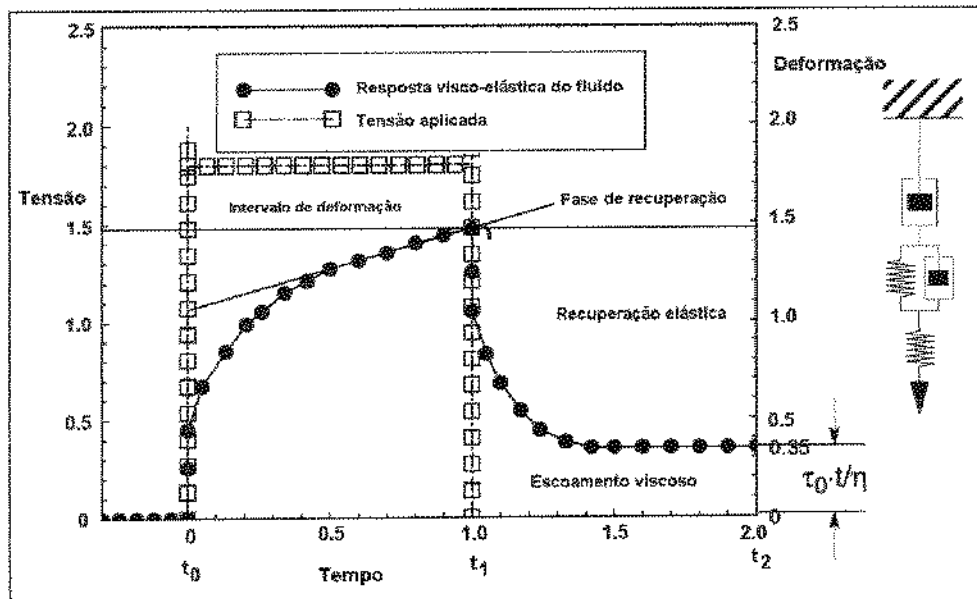


Figura 2.2.6. Diagrama tensão em função do tempo (resposta) para um corpo de Burger.

Um corpo generalizado de Voigt consiste de um número de unidades similares de Voigt conectadas em série; enquanto que, um corpo generalizado de Maxwell é formado por um número de corpos de Maxwell similares, conectadas em paralelo (SKELLAND, 1967), porém estes modelos não são muito utilizados na prática.

2.3. REOMETRIA

A viscosidade é uma importante propriedade física relacionada com a qualidade de produtos alimentícios fluidos. Dados reológicos são também essenciais para o projeto e avaliação dos equipamentos da indústria de processamento de alimentos, como bombas, trocadores de calor, evaporadores, esterilizadores, filtros e misturadores (SARAVACOS, 1970). É importante ressaltar que os materiais reologicamente complexos eram difíceis de serem caracterizados (SHET, 1976).

Um coeficiente de viscosidade constante é suficiente para determinar o comportamento de fluidos newtonianos incompressíveis sobre qualquer condições de movimento e tensão. A medida do coeficiente de viscosidade envolve o uso de um viscosímetro, definido simplesmente como um instrumento de medida de viscosidade. A viscosidade de fluidos não newtonianos pode ser dependente da taxa de deformação. O viscosímetro é, todavia, inadequado para caracterizar o comportamento destes materiais e deve ser substituído pelo reômetro, definido como um instrumento de medida de propriedades reológicas (WALTERS, 1975). Ou seja, instrumentos que medem propriedades visco-elásticas de sólidos, semi-sólidos e fluidos são chamados de reômetros. Instrumentos que têm seu uso limitado para medida de escoamento com comportamento viscoso de fluidos são descritos como viscosímetros. (SCHRAMM, 1994).

A reologia de qualquer sistema é avaliada tipicamente pela medida e análise das curvas de comportamento obtidas usando um reômetro adequado. Quando se estuda o comportamento reológico dos produtos tenta-se sempre representá-los pelos modelos mais convenientes e preferencialmente aqueles já em uso, dessa maneira é possível comparar resultados obtidos por diferentes pesquisadores.

2.4. MODELOS DE COMPORTAMENTO

Soluções gerais para as equações do movimento de fluidos reais são extremamente complexas e devem considerar o escoamento em todas as direções.

Supondo estado estacionário, fluido incompressível, e fluido não-Newtoniano, expressões convenientes para o tensor de tensões têm sido obtidas para três tipos de fluidos: corpo de Bingham; modelo de Ostwald-de Waele ou modelo da lei da potência; e modelo de Reiner-Philippoff.

As expressões para estes três modelos são empíricas e são usadas somente porque têm sido encontradas para aproximar o comportamento real de alguns poucos materiais. Mais adiante, assume-se que a tensão de cisalhamento e a viscosidade são relacionadas pela equação:

$$S = -\eta \Delta \quad (2.4.1)$$

onde S é o tensor de tensões constituído de 9 componentes e Δ é o tensor simétrico da taxa de deformação e η é a função viscosidade.

Esta abordagem exata, só resulta em algo prático no caso newtoniano. Nos demais, torna-se um complexo matemático sem utilidade prática, pois não é possível imaginar experimentos para determinar as propriedades que não se anulam.

Dai, surgem modelos empíricos, os quais têm sido propostos para relacionar diretamente as grandezas escalares da tensão de cisalhamento com taxa de deformação.

Muitos modelos reológicos têm sido empregados para os dados das curvas de produtos de frutas. O modelo da lei da potência com ou sem o termo de tensão inicial (equações 2.4.2 e 2.4.3) têm sido extensamente empregado para descrever o comportamento do escoamento viscoso de alimentos sobre uma grande faixa de taxas de deformação. Ele é um dos modelos mais simples e fácil de ser entendido (CRANDALL *et alii*, 1982).

$$\tau = K \left(\dot{\gamma} \right)^n \quad (2.4.2)$$

$$\tau - \tau_0 = K_H \dot{\gamma}^{n_H} \quad (2.4.3)$$

onde τ_0 é a tensão inicial, K e K_H são o índice de consistência, n e n_H são o índice de comportamento do escoamento. A equação 2.4.3. também é conhecida como modelo de Herschel-Bulkley, e é bastante usada para suco de laranja concentrado (RAO *et alii*, 1984). Estes modelos também foram usados por SÁENZ & COSTELL (1986), no estudo do comportamento reológico de produtos de limão.

O modelo de Casson (equação 2.4.4) tem sido usado para alimentos, particularmente para estimar a tensão inicial (VITALI & RAO (b), 1984) A grandeza de K_{OC}^2 tem sido usada como tensão inicial por um número de pesquisadores.

$$\tau^{0.5} = K_{OC} + K_C \dot{\gamma}^{0.5} \quad (2.4.4)$$

onde K_C e K_{OC} são constantes do modelo.

O modelo de Casson tem sido adotado como método oficial para a interpretação dos dados de escoamento de chocolate pelo International Office of Cocoa and Chocolate (RAO & RIZVI, 1986).

MIZRAHI & BERK (1972) deduziram uma equação modificada de Casson e empregaram para descrever os dados de tensão de cisalhamento - taxa de deformação do suco de laranja concentrado. O desenvolvimento foi baseado no modelo de uma suspensão de partículas interagindo em um solvente pseudoplástico. A equação desenvolvida foi (MIZRAHI & FIRSTENBERG (1975)):

$$\tau^{0.5} - K_{OM} = K_M \gamma^{n_H} \quad (2.4.5)$$

Foi encontrado que K_{OM} era afetado pela concentração de partículas suspensas e pela concentração de pectina solúvel e K_M e n_H foram determinados principalmente pelas propriedades do solvente.

A relação de Bingham (equação 2.4.6) tem sido empregada para descrever o comportamento do escoamento de purês de damasco (RAO & RIZVI, 1986).

$$\tau - \tau_0 = \eta(\gamma) \quad (2.4.6)$$

Existem ainda muitas outras relações empíricas para relacionar tensão de cisalhamento com taxa de deformação.

2.5. FAIXAS PRÁTICAS DE VARIÁVEIS QUE AFETAM A VISCOSIDADE

A viscosidade de materiais reais pode ser significantemente afetada por variáveis como taxa de deformação, temperatura, concentração, pressão e tempo de cisalhamento, e é claramente importante destacar a via de dependência da viscosidade com suas variáveis (BARNES *et alii*, 1989).

2.5.1. Efeito da temperatura e concentração

Todos os fluidos estão sujeitos a diferentes temperaturas durante o processamento, estocagem, transporte, mercadologia e consumo (RAO & RIZVI, 1986). Em aplicações industriais envolvendo sistemas aquosos, o interesse está restrito a 0 a 100 °C. Óleos lubrificantes e graxas são usados ao redor de -50 a 300 °C. Polímeros fundidos são usualmente manuseados na faixa de 150 a 300 °C, e vidro fundido é processado acima de 500 °C (BARNES *et alii*, 1989). Por esta razão, as propriedades reológicas são estudadas como uma função da temperatura (RAO & RIZVI, 1986).

Os reômetros disponíveis no laboratório têm facilidades para serem testados na faixa de -50 a 150 °C usando um controlador externo de temperatura com um fluido térmico em circulação ou um banho de imersão. A altas temperaturas são usados banhos de ar. Em geral, o efeito da temperatura na viscosidade (μ) ou na viscosidade aparente (η) determinado a uma taxa de deformação específica, pode ser expresso pela relação de Arrhenius (VITALI & RAO, (a) 1984)

$$\eta = \eta_0 \exp(E_a/RT) \quad (2.5.1)$$

onde η é o coeficiente de viscosidade dinâmica (Pa.s), η_0 é uma constante (Pa.s), E_a é a energia de ativação por escoamento ($\text{Kcal g}\cdot\text{mol}^{-1}$), R é a constante dos gases ($1,987 \text{ cal g}\cdot\text{mol}^{-1} \text{ K}^{-1}$) e T é a temperatura absoluta (K) (BARNES *et alii*, 1989).

Para fluidos não-newtonianos, em adição à viscosidade aparente a uma taxa de deformação específica, o índice de consistência do modelo da lei da potência pode ser empregado para determinar o efeito da temperatura (RAO & RIZVI, 1986).

SARAVACOS, 1970, fez medidas em sucos e purês de frutas, na faixa de temperatura de $20\text{-}70^{\circ}\text{C}$. O suco de maçã despectinizado e o suco de uva da variedade “Concord”, mostraram comportamento newtoniano a todas as concentrações e suas viscosidades decrescem consideravelmente a altas temperaturas. Ainda segundo o autor, passaram de newtoniano para pseudoplástico sucos de maçã não clarificados acima de 50°Brix e suco de laranja acima de 20°Brix . A temperatura tem um menor efeito na viscosidade de sucos não clarificados do que em sucos clarificados. A viscosidade aparente de purês de frutas (fluidos pseudoplásticos) decresceu ligeiramente a altas temperaturas.

A viscosidade de alimentos fluidos aumenta com a concentração. Dois tipos de relações têm sido usadas para descrever o efeito da concentração na viscosidade de produtos líquidos de frutas: a lei da potência (equação 2.5.2) e uma relação exponencial (equação 2.5.3).

$$\eta = \eta_1 (C)^{A_1} \quad (2.5.2)$$

$$\eta = \eta_2 \exp(A_2 C) \quad (2.5.3)$$

onde C é a concentração de sólidos solúveis (⁰Brix ou % sólidos), e η_1 , η_2 , A₁ e A₂ são constantes características determinadas experimentalmente.

É de grande utilidade combinar-se o efeito da concentração e temperatura na viscosidade de alimentos líquidos, em uma única equação. KHALIL *et alii*, 1989, deduziram uma equação para descrever o efeito combinado da temperatura e concentração na viscosidade do suco de banana concentrado e despectinizado.

$$\eta = 2,85 \times 10^{-11} C^{2.5} \exp(3016 / T) \quad (2.5.4)$$

Esta equação é aplicável somente para concentrações na faixa de 20-57 ⁰Brix e temperaturas entre 30 e 70 ⁰C. Equações deste tipo, somente são possíveis para faixas estreitas de temperatura e concentração. É quase impossível obter uma equação para amplas faixas devido às diferentes interações que ocorrem entre os componentes dos materiais complexos.

2.5.2. Efeito da taxa de deformação

A taxa de deformação aproximada envolvida em qualquer operação de processamento pode ser estimada dividindo-se uma velocidade característica pela dimensão característica da geometria na qual está ocorrendo o processo (escoamento em tubos, agitação e mistura, etc). Existe uma grande faixa de ocorrência de taxas de deformação que vão de 10⁻⁶ a 10⁷ s⁻¹ e a dependência da viscosidade com a taxa de deformação é uma consideração importante para fluidos não-newtonianos (BARNES *et alii*, 1989).

2.5.3. Efeito da pressão

A viscosidade de líquidos aumenta exponencialmente com a pressão isotrópica. Água abaixo de 30 °C é uma exceção, neste caso é encontrado que a viscosidade primeiro decresce antes de aumentar exponencialmente. As mudanças de viscosidade em líquidos são muito pequenas para pressões próximas da atmosférica e portanto, esse efeito é desprezado nos reômetros que operam a pressão atmosférica. Na indústria de óleos, por exemplo, requer-se medidas de viscosidade a pressões muito diferentes da atmosférica e nesses casos é necessário considerar o efeito da pressão.

2.6. DESCRIÇÃO DOS REÔMETROS

Na Figura 2.6.1. são mostradas as geometrias usadas em reômetros. Comercialmente têm-se disponíveis diversos modelos para uma mesma geometria.

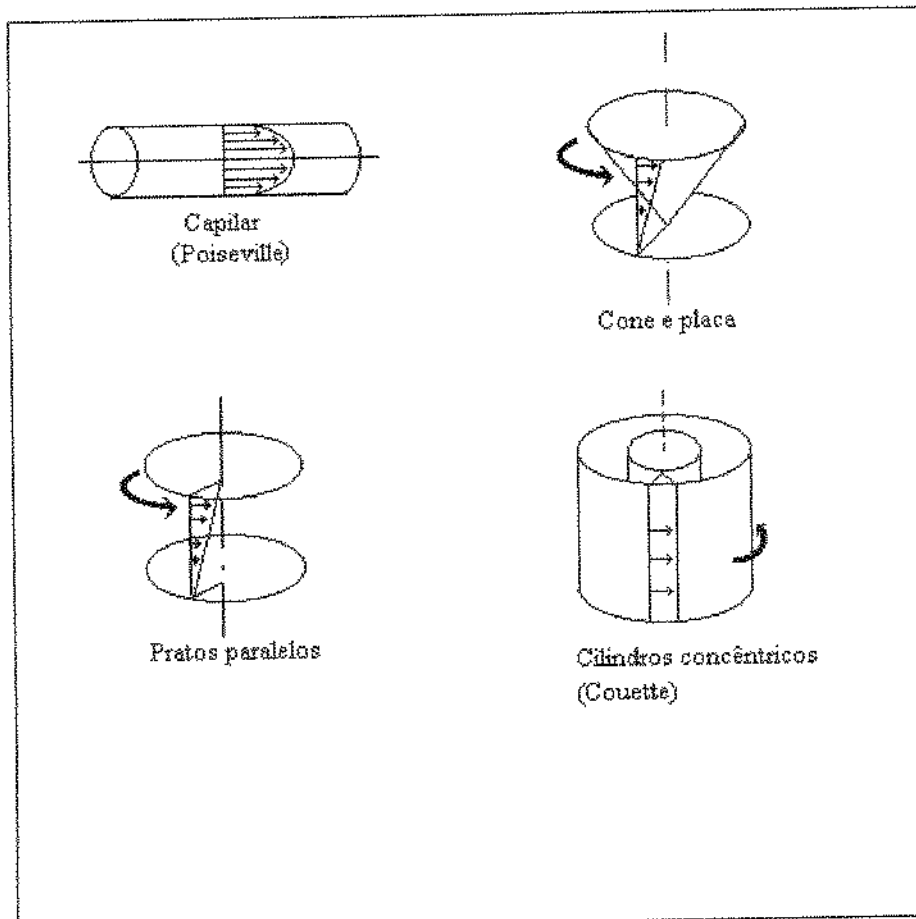


Figura 2.6.1. Geometrias de reômetros.

2.6.1. Reômetro capilar

A situação mais simples é aquela do escoamento no interior de um tubo de seção circular. Tal arranjo é conhecido como viscosímetro capilar. Para fluidos newtonianos a viscosidade é dada pela expressão de Hagen-Poiseuille

$$\mu = \left(\frac{D \Delta p}{4L} \right) / \left(\frac{32Q}{\pi D^3} \right) = \frac{\tau}{\dot{\gamma}} \quad (2.6.1)$$

onde:

D - diâmetro interno do tubo

L - comprimento do tubo

Q - vazão

Δp - queda de pressão ao longo de L

$\dot{\gamma}$ - taxa de deformação

μ - viscosidade

enquanto que para fluidos independentes do tempo, a equação pode ser modificada para produzir:

$$\tau = \frac{D \Delta p}{4L} \quad (2.6.2)$$

$$y = \frac{32Q}{\pi D^3} \quad (2.6.3)$$

$$\dot{\gamma} = \frac{3}{4} y + \frac{1}{4} \frac{d(\ln y)}{d(\ln \tau)} \quad (2.6.4)$$

Um arranjo experimental do tipo capilar que é simples, de fácil operação e de custo bastante reduzido, é mostrado na Figura 2.6.2. Neste tipo de reômetro, é muito importante certificar-se de que a relação L/D seja tal que os efeitos indesejáveis, principalmente de entrada e de saída, sejam desprezíveis. Na prática esse valor deve ser maior do que 20.

A viscosidade aparente é definida pela relação $\eta = \tau / \gamma$, para um determinado par (τ, γ) do reograma. Para os fluidos newtonianos

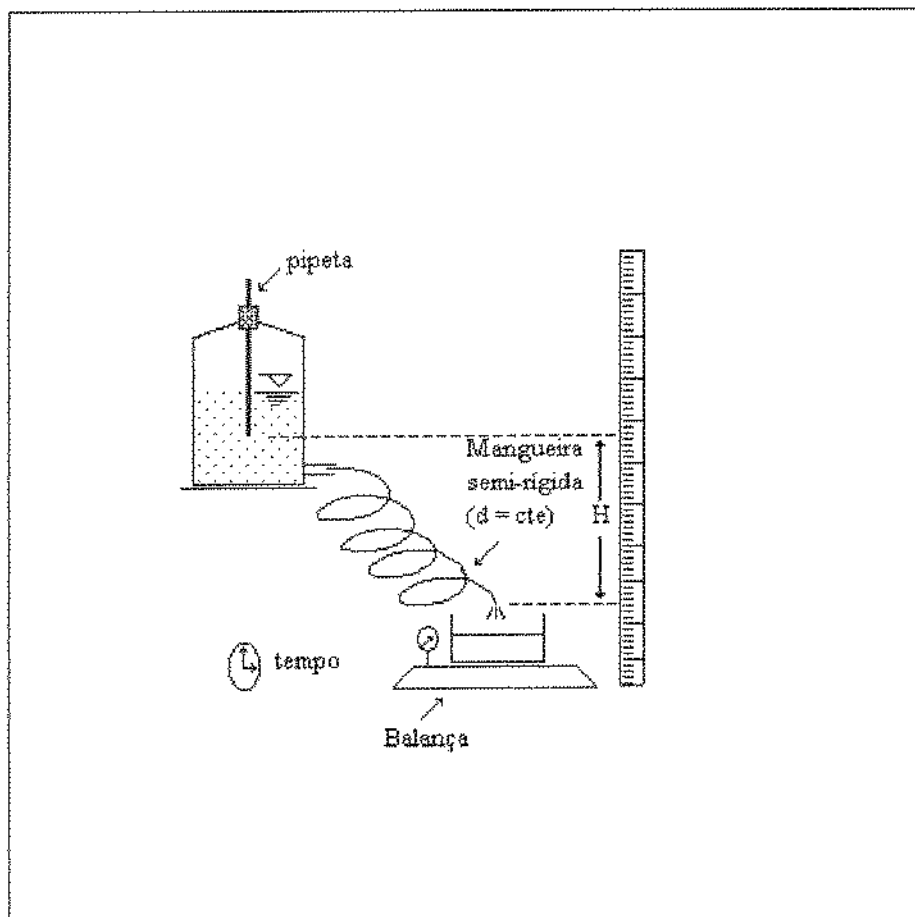


Figura 2.6.2. Arranjo experimental de um reômetro do tipo capilar.

Utilizando-se o reômetro descrito acima, pode-se determinar o comportamento que apresenta o fluido plotando-se vazão em função da altura. A Figura 2.6.3 apresenta alguns exemplos (GASPARETTO, 1983).

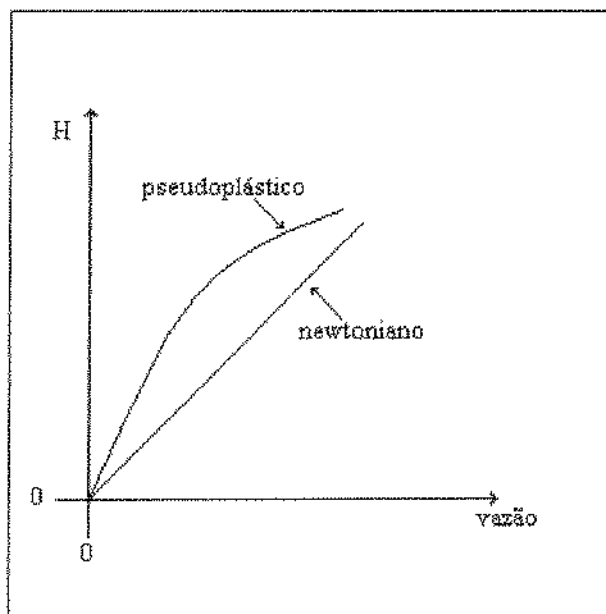


Figura 2.6.3. Gráfico para determinação do comportamento do fluido, usando-se um reômetro capilar.

Um corpo rotacional imerso em um líquido sofre uma força retardatória ou viscosa. A viscosidade aparente é uma função da rotação do corpo. No uso de equações de viscosidade não há diferença se o corpo ou o cilindro rodam, a relação entre tensão de cisalhamento e taxa de deformação é a mesma. A principal vantagem de um viscosímetro rotacional é que uma dada taxa de deformação ou tensão de cisalhamento, as medidas contínuas podem ser feitas por extensos períodos de tempo. A dependência com o tempo também pode ser determinada.

2.6.2. Reômetro rotacional de cilindro concêntrico

Neste instrumento, um fluido localizado na parte anular entre dois cilindros concêntricos sofre cisalhamento quando um cilindro roda e o outro mantém-se estacionário. São feitas medidas da velocidade angular do cilindro rotacional e do torque correspondente no cilindro estacionário ou no próprio cilindro rotativo. Estas medidas são utilizadas para fornecer a curva de comportamento para o material sob cisalhamento. Os princípios básicos deste reômetro são mostrados na Figura 2.6.4.

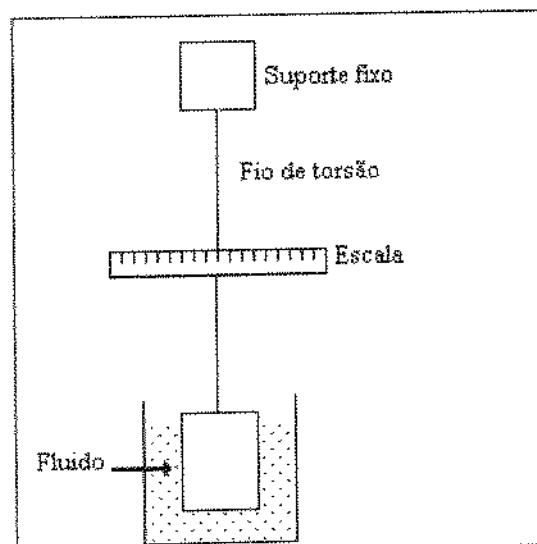


Figura 2.6.4. Diagrama esquemático do reômetro de cilindro concêntrico

2.6.4. Reômetro de cone e placa

Este instrumento consiste essencialmente de uma placa horizontal e um cone invertido, cujo vértice encontra-se muito próximo do prato. O ângulo entre o prato e a superfície do cone é muito pequeno (da ordem de 2° para que seja possível supor $\tan\alpha = \alpha$) e a amostra do fluido está localizada no pequeno espaço o prato e o cone. Uma representação esquemática deste tipo de reômetro é apresentada na Figura 2.6.5.

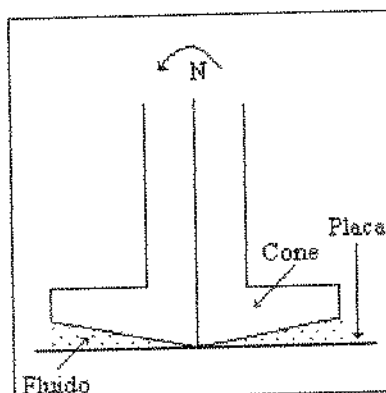


Figura 2.6.5. Diagrama esquemático do reômetro de cone e placa.

As faixas de taxas de deformação que podem ser exploradas com o reômetro de cone e prato, extendem-se até valores razoavelmente altos quando comparados àqueles atingidos com um aparelho de cilindros concêntricos, mas abaixo daqueles alcançadas com um viscosímetro de tubo capilar.

Como no caso de cilindros concêntricos, também neste tipo de aparelho pode girar tanto cone como o prato e ser medido o torque tanto na peça rotativa quanto naquela estacionária.

2.6.4. Reômetro de Placas Paralelas

Este tipo de reômetro é constituído de duas placas paralelas em forma de disco, distantes h uma da outra. A distância entre as placas pode ser variada, obtendo-se diferentes faixas de taxa de deformação. Da mesma maneira que o de cone e placa, qualquer uma das duas partes pode girar, para medir o torque necessário.

3. MATERIAIS E MÉTODOS

3.1. PREPARAÇÃO DAS AMOSTRAS

Os sucos concentrados de caju, laranja, limão e maracujá, adquiridos comercialmente, foram diluídos com água destilada até as concentrações de sólidos solúveis (⁰Brix) desejadas, conforme é apresentado na Tabela 3.1.1. As medidas destas concentrações foram feitas em refratômetro.

Tabela 3.1.1. Valores de concentrações de sólidos solúveis para os sucos utilizados nos experimentos.

| SUCO | ⁰ Brix | ⁰ Brix | ⁰ Brix | ⁰ Brix |
|----------|-------------------|-------------------|-------------------|-------------------|
| Caju | 57,2 | - | - | - |
| Laranja | 64,8 | 55,0 | 45,0 | 35,0 |
| Limão | 61,0 | - | - | - |
| Maracujá | 59,2 | 45,0 | - | - |

3.2. MEDIDAS EXPERIMENTAIS

As medidas experimentais foram feitas em dois reômetros: um da marca Haake Rotovisco, utilizando-se o sistema de medida de placas paralelas, e outro da marca Contraves, utilizando-se dois sistemas de medidas de cilindros.

3.2.1. Reômetro de Placas Paralelas

O reômetro de placas paralelas usado para as medidas experimentais foi da marca Haake Rotovisco. Utilizou-se o sistema de placas paralelas PQ 45 com 45 mm de diâmetro e separadas por uma distância de 0,5 mm e 1,0 mm atingindo-se assim valores de taxa de deformação máximos aproximados de 900 s^{-1} e 500 s^{-1} , respectivamente. A Figura 3.2.1 apresenta um esquema deste sistema de medida de

placas paralelas. Este instrumento está acoplado a um computador para a aquisição e processamento dos resultados, e o controle da temperatura é feito por um banho termostatizado que circula sob a placa inferior, a qual também sofre rotação durante a corrida experimental.

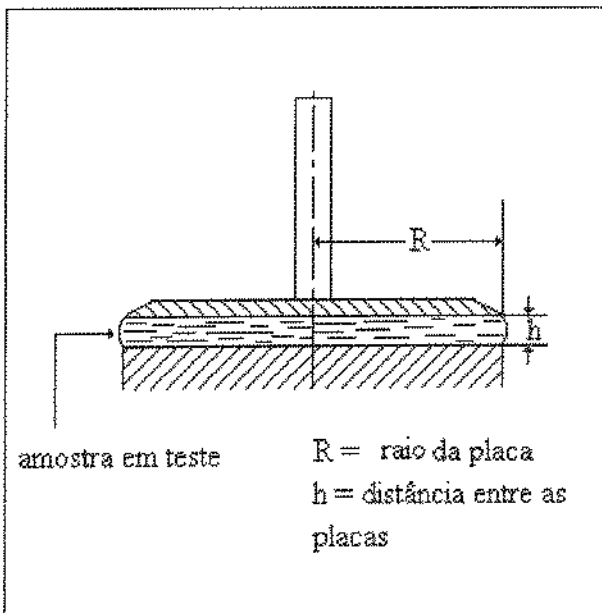


Figura 3.2.1. Reômetro Haake Rotovisco.

As medidas realizadas foram com suco de laranja nas concentrações 35, 45, 55 e 64,8 °Brix e temperaturas de 50, 60 e 80 °C. Os experimentos foram feitos em triplicata utilizando para cada repetição uma nova amostra. O tempo de cada corrida foi de 4 minutos, sendo 2 minutos para velocidade de rotação crescente e 2 minutos para a decrescente. Antes de iniciar-se a corrida, a amostra era deixada em repouso por aproximadamente 20 segundos para a garantia de temperatura uniforme na amostra entre as placas.

3.2.2. Reômetro de Cilindros Concêntricos

Utilizou-se o reômetro Contraves Rheomat 115 de cilindros concêntricos com dois sistemas de medida: o MS-DIN 145 e o MS-DIN 1075. O primeiro de copo

fixo e cilindro interno rotativo, do tipo Searle, com faixa de taxa de deformação de 6 a 1000 s^{-1} e o segundo de anular fixo e casca cilíndrica rotativa (“double gap”) com faixa de taxa de deformação de 25 a 3600 s^{-1} . Na Figura 3.2.2 são apresentados estes dois sistemas de medida.

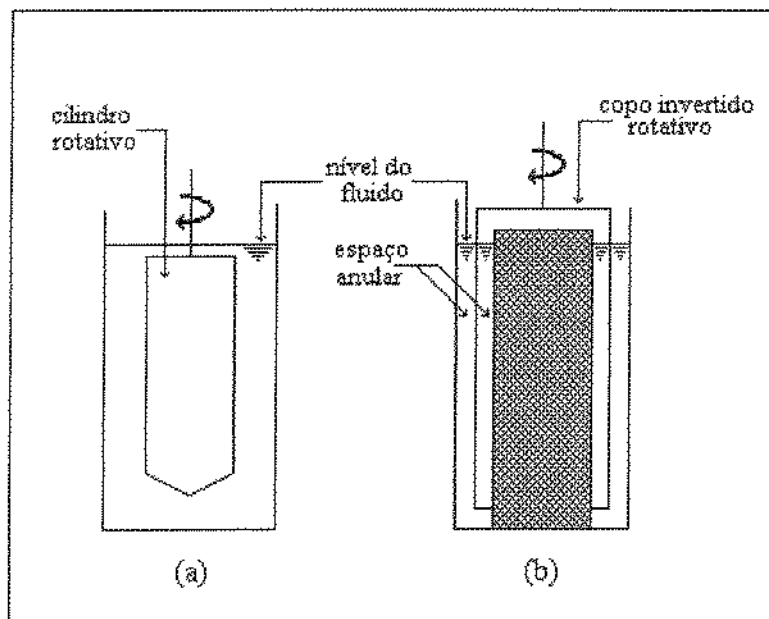


Figura 3.2.2. (a) Sistema MS-DIN 145. (b) Sistema MS-DIN 1075.

Nas medidas experimentais, primeiramente foi colocada aproximadamente 50 % da amostra no copo, a seguir inserido, lentamente, o cilindro ou casca rotativos, e completado o volume necessário para a medida. Foi deixado em repouso por aproximadamente 20 minutos no caso do sistema MS-DIN 145 e 10 minutos para o sistema MS-DIN 1075, tempo necessário para que a temperatura desejada fosse atingida. O reômetro é dotado por uma camisa termostatizada ao redor do cilindro externo cujo interior circula água com temperatura controlada por um banho termostático. As medidas foram feitas variando-se a velocidade de rotação de forma crescente e decrescente. Os experimentos foram feitos em triplicata, e para cada repetição foi usada uma nova amostra. Ao final de cada experimento, uma pequena quantidade da amostra era recolhida para a medida de concentração de sólidos solúveis ($^{\circ}\text{Brix}$), para comparação com o valor inicial.

Foram feitas as medidas com sucos de caju, laranja, limão e maracujá, nas temperaturas de 50, 60, 70 e 80 °C, com os dois sistemas de medidas, conforme é apresentado na Tabela 3.2.2. Essa tabela também apresenta as condições experimentais para o sistema de placas paralelas do reômetro da marca Haake Rotovisco.

Tabela 3.2.2. Condições experimentais no sistema de cilindros concêntricos e placas paralelas.

| SUCO | °BRIX | TEMPERATURA (°C) | | | | MODELO DO SISTEMA | | |
|----------|-------|------------------|----|----|----|-------------------|------|----|
| | | 50 | 60 | 70 | 80 | 145 | 1075 | PP |
| CAJU | 57,2 | S | - | S | - | S | - | - |
| CAJU | 57,2 | - | - | S | - | - | S | - |
| LARANJA | 35,0 | S | S | S | S | S | S | - |
| LARANJA | 35,0 | - | S | - | S | - | - | S |
| LARANJA | 45,0 | S | S | S | S | S | S | - |
| LARANJA | 45,0 | - | S | - | S | - | - | S |
| LARANJA | 55,0 | S | S | S | S | S | S | - |
| LARANJA | 55,0 | S | S | - | S | - | - | S |
| LARANJA | 64,8 | S | S | S | - | S | - | - |
| LARANJA | 64,8 | S | S | - | - | - | S | - |
| LARANJA | 64,8 | S | S | - | S | - | - | S |
| LIMÃO | 61,0 | S | - | S | - | S | S | - |
| MARACUJÁ | 45,0 | S | - | S | - | S | S | - |
| MARACUJÁ | 59,2 | S | - | S | - | S | S | - |

S - experimentos realizados

PP - Reômetro de placas paralelas

3.3. PROCESSAMENTO DOS RESULTADOS

Para efeito de comparação, todos os resultados foram processados utilizando-se um mesmo software, o ORIGIN versão 3.5.

3.3.1. Processamento dos resultados do Reômetro de Placas Paralelas

Os dados obtidos experimentalmente foram importados para o software. Foi determinado o valor médio para cada experimento e construídos os reogramas. Às curvas obtidas, ajustaram-se os modelos de lei da potência (de Ostwald de Waele), de Casson e Herschel-Bulkley e calculou-se os parâmetros para cada modelo.

3.3.2. Processamento dos resultados do Reômetro de Cilindros Concêntricos.

Nestes experimentos, os valores de leitura obtidos foram multiplicados por um fator de transferência característico do aparelho e do sistema de copos empregado, que são 195,5 para o sistema MS-DIN 145 e 65,64 para o sistema MS-DIN 1075, obtendo-se assim os valores de tensão de cisalhamento.

Os valores de taxa de deformação são fornecidos pelo fabricante em função da escala de velocidade para fluidos de comportamento newtoniano. Portanto, para fluidos não-newtonianos estes valores devem ser corrigidos em função do fluido não newtoniano em estudo, com base na seguinte equação:

$$\gamma_{corrigido} = K_{OSW} \cdot \gamma \quad (3.2.1)$$

A constante de correção (K_{osw}) calculada pela fórmula:

$$K_{osw} = \frac{1 - \left(\frac{R_a}{R_b}\right)^{2n}}{n \left[1 - \left(\frac{R_a}{R_b}\right)^2 \right]} \quad (3.2.2)$$

O valor de n foi calculado aplicando-se o modelo da lei da potência, e os valores dos raios medidos com paquímetro, sendo R_a o raio externo do cilindro rotativo e R_b o raio interno do cilindro fixo.

Após corrigidos os valores de taxa de deformação, foram construídos novos reogramas. A estes foram aplicados então os modelos de Casson e Herschel-Bulkley, e determinados os parâmetros para cada modelo.

Esta correção foi aplicada apenas para os resultados obtidos utilizando-se o sistema MS-DIN 145, pois quando são medidos fluidos não newtonianos em reômetros de cilindros concêntricos existe o erro relacionado com a distância entre os cilindros (SMITH, 1984). Para o sistema MS-DIN 1075, devido à distância entre os cilindros ser muito pequena, este erro pode ser considerado desprezível.

4. RESULTADOS E DISCUSSÃO

4.1. MEDIDAS REALIZADAS NO REÔMETRO DE PLACAS PARALELAS

Os valores médios, desvios padrões e erros padrões das tensões de cisalhamento e taxas de deformação para cada experimento foram calculados. Estes resultados são apresentados nas Tabelas A.1 a A.11, em anexo.

Com estes valores, foram construídos os reogramas que são apresentados nas Figuras 4.1.1, 4.1.2, 4.1.3 e 4.1.4 para o suco de laranja nas concentrações 35, 45, 55, e 64,8 °Brix e diferentes temperaturas.

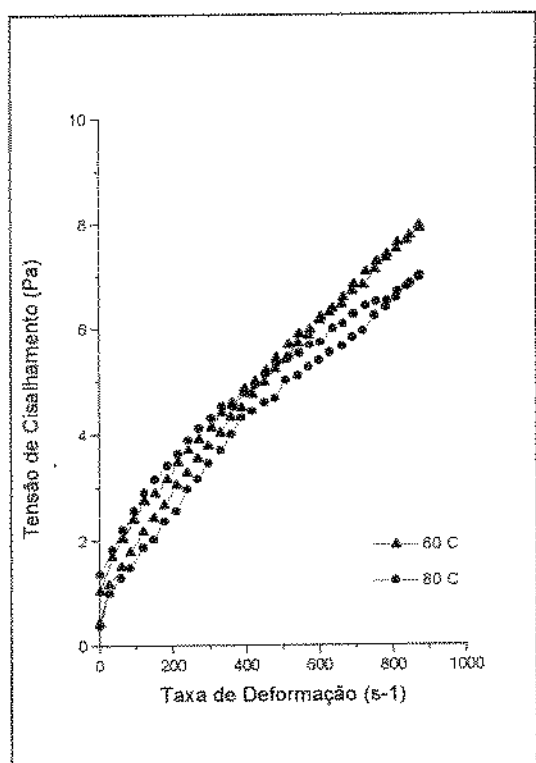


Figura 4.1.1. Suco de laranja a 35°Brix

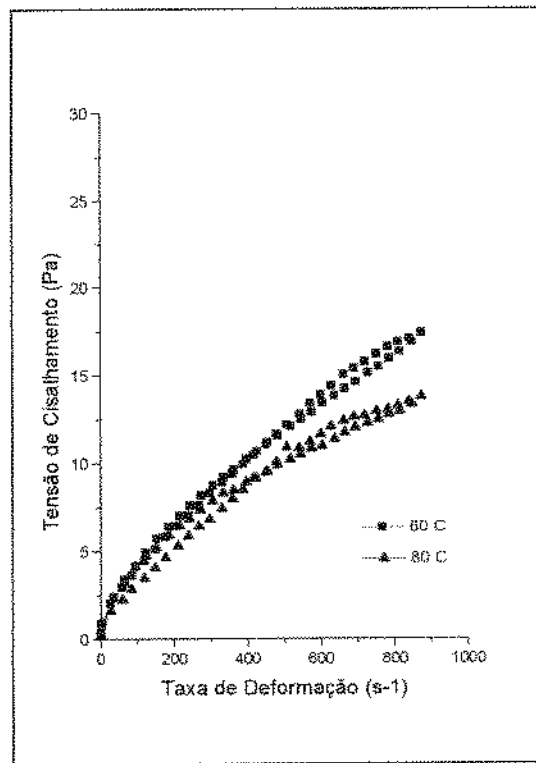


Figura 4.1.2. Suco de laranja a 45°Brix

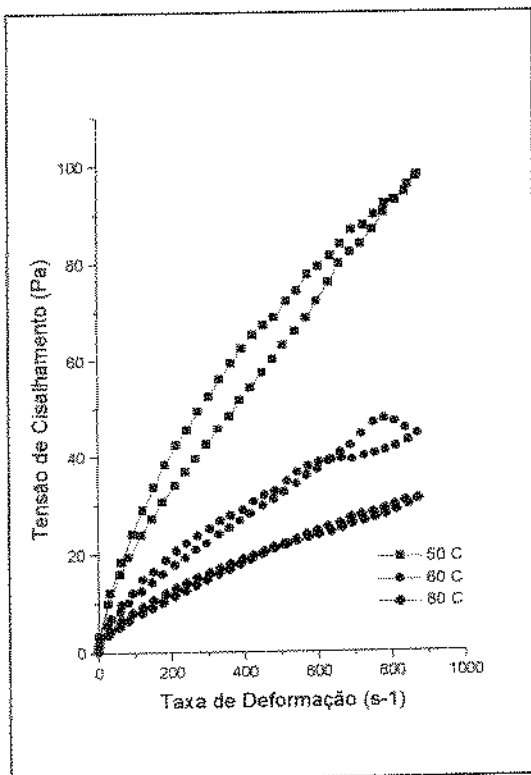


Figura 4.1.3. Suco de laranja a 55 °Brix

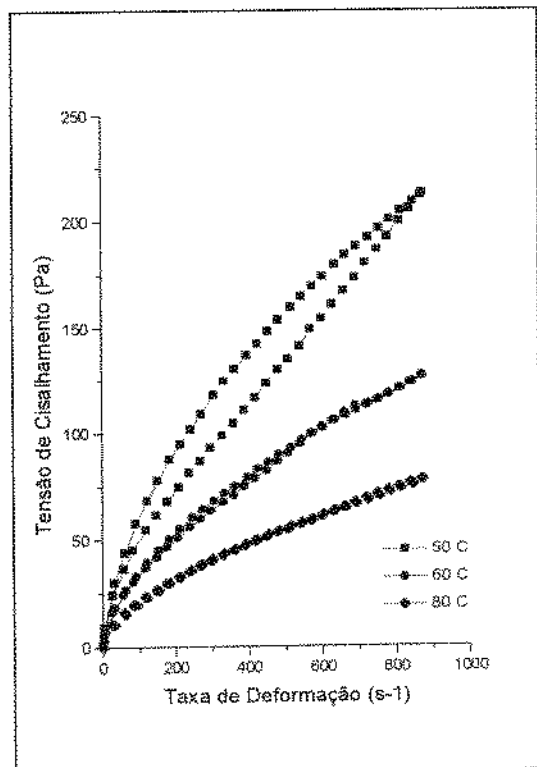


Figura 4.1.4. Suco de laranja a 64,8 °Brix

A estes reogramas foram ajustados os modelos de Ostwald de Waele (lei da potência), Herschel-Bulkley e Casson e calculados os parâmetros para cada um deles. As Tabelas 4.1.1, 4.1.2, e 4.1.3 apresentam estes resultados para os modelos aplicados.

Tabela 4.1.1. Parâmetros do modelo de Ostwald para o suco de laranja.

| Concentração (^°Brix) | Temperatura (^°C) | K | n | R ² | χ^2 |
|--------------------------|----------------------|-------|-------|----------------|----------|
| 35,0 | 60 | 0,125 | 0,609 | 0,9876 | 0,052 |
| 35,0 | 80 | 0,189 | 0,530 | 0,9577 | 0,133 |
| 45,0 | 60 | 0,192 | 0,665 | 0,9957 | 0,079 |
| 45,0 | 80 | 0,245 | 0,597 | 0,9887 | 0,161 |
| 55,0 | 50 | 1,063 | 0,667 | 0,9844 | 11,587 |
| 55,0 | 60 | 0,686 | 0,623 | 0,9848 | 2,529 |
| 55,0 | 80 | 0,404 | 0,641 | 0,9961 | 0,284 |
| 64,8 | 50 | 2,719 | 0,642 | 0,9766 | 79,402 |
| 64,8 | 60 | 2,043 | 0,610 | 0,9984 | 1,932 |
| 64,8 | 80 | 1,261 | 0,608 | 0,9993 | 0,291 |

O suco de laranja apresentou em todas as concentrações e temperaturas medidas o comportamento de fluido pseudoplástico, isto pode ser visualizado nos reogramas apresentados, e também observado pelo valor do parâmetro n do modelo de Ostwald de Waele.

Tabela 4.1.2. Parâmetros do modelo de Herschel-Bulkley para o suco de laranja

| Concentração (° Brix) | Temperatura (°C) | τ_0 | K_H | n_H | R^2 | χ^2 |
|--------------------------|---------------------|----------|-------|-------|--------|----------|
| 35,0 | 60 | 0,744 | 0,444 | 0,749 | 0,9942 | 0,025 |
| 35,0 | 80 | 0,672 | 0,081 | 0,643 | 0,9633 | 0,117 |
| 45,0 | 60 | 0,625 | 0,133 | 0,714 | 0,9974 | 0,061 |
| 45,0 | 80 | 0,153 | 0,223 | 0,609 | 0,9888 | 0,163 |
| 55,0 | 50 | 1,315 | 0,930 | 0,685 | 0,9845 | 11,711 |
| 55,0 | 60 | 0,187 | 0,663 | 0,628 | 0,9848 | 2,573 |
| 55,0 | 80 | 0,803 | 0,316 | 0,674 | 0,9965 | 0,259 |
| 64,8 | 50 | 5,619 | 2,153 | 0,673 | 0,9769 | 79,725 |
| 64,8 | 60 | 1,129 | 1,889 | 0,620 | 0,9984 | 1,915 |
| 64,8 | 80 | 1,013 | 1,123 | 0,623 | 0,9994 | 0,254 |

Tabela 4.1.3. Parâmetros para o modelo de Casson

| Concentração (° Brix) | Temperatura (°C) | K_{0C} | K_C | R^2 | χ^2 |
|--------------------------|---------------------|----------|-------|-------|----------|
| 35,0 | 60 | 0,801 | 0,068 | 0,989 | 0,0027 |
| 35,0 | 70 | 2,658 | 0,073 | 0,986 | 0,0044 |
| 35,0 | 80 | 0,868 | 0,061 | 0,947 | 0,0121 |
| 45,0 | 60 | 0,906 | 0,113 | 0,995 | 0,0041 |
| 45,0 | 70 | 3,034 | 0,127 | 0,968 | 0,0301 |
| 45,0 | 80 | 0,915 | 0,099 | 0,975 | 0,0143 |
| 55,0 | 50 | 1,899 | 0,278 | 0,976 | 0,1069 |
| 55,0 | 60 | 1,492 | 0,188 | 0,975 | 0,0518 |
| 55,0 | 70 | 3,363 | 0,171 | 0,981 | 0,0318 |
| 55,0 | 80 | 1,235 | 0,151 | 0,988 | 0,0164 |
| 64,8 | 50 | 3,098 | 1,398 | 0,968 | 0,2999 |
| 64,8 | 60 | 2,546 | 0,307 | 0,976 | 0,1333 |
| 64,8 | 70 | 4,034 | 0,259 | 0,980 | 0,0778 |
| 64,8 | 80 | 2,017 | 0,238 | 0,978 | 0,0747 |

Nos reogramas apresentados, foi observado em quase todos, que as curvas de descida apresentaram valores de tensão de cisalhamento maiores. Esta histerese foi mais evidenciada em sucos mais concentrados e em temperaturas mais baixas. Entretanto, como esta mesma amostra medida em outros dois sistemas de medida e neste mesmo sistema com a distância entre placas igual a 1,0 mm, não apresentou o mesmo comportamento, não pode ser afirmado que este comportamento seja de um fluido reopético.

Na Figura 4.1.5 são apresentados os reogramas construídos para uma mesma amostra, variando-se a distância entre as placas. Foi observado que com o aumento do “gap”(distância entre as placas) a curva apresentou tendência para menores valores de viscosidade. Na medida de um fluido newtoniano padrão com viscosidade baixa, observou-se que o valor verdadeiro da viscosidade foi melhor determinado com o uso de menores distâncias entre as placas.

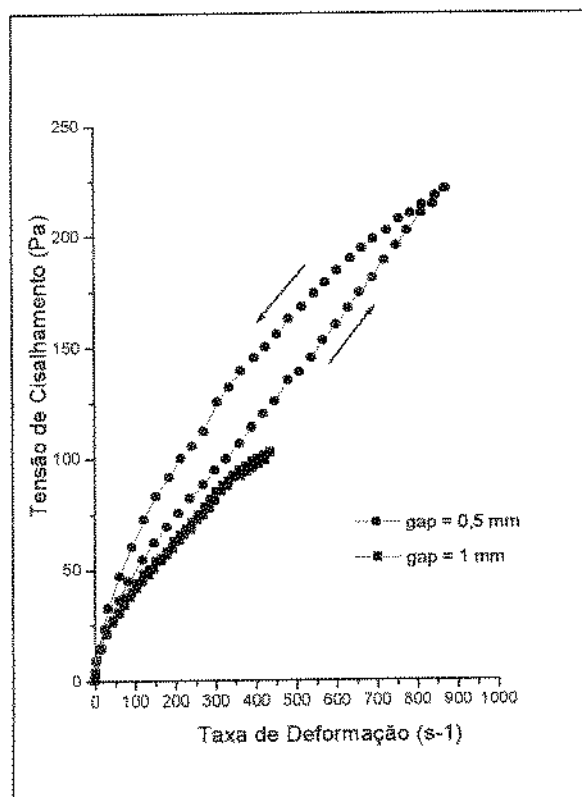


Figura 4.1.5. Reogramas para o suco de laranja a 64.8 °Brix e temperatura de 50 °C

O melhor modelo ajustado é aquele que apresentar um menor valor de qui-quadrado, pois é o que menos se afasta dos pontos experimentais. Foram usados apenas três modelos de comportamento reológico, sendo estes os mais usados para sucos, conforme se constata pela bibliografia referida neste trabalho.

4.2. MEDIDAS REALIZADAS NO REÔMETRO DE CILINDROS CONCÊNTRICOS

4.2.1. Sistema MS-DIN 145 (tipo Searle)

Os resultados experimentais para os sucos laranja a 55 e 64,8 °Brix, nas diferentes temperaturas, encontram-se nas Tabelas A.12 a A18, em anexo. Os reogramas construídos a partir destes resultados são apresentados nas Figuras 4.2.1 a 4.2.8.

Pode-se observar que para os sucos de caju, maracujá e limão em todas as concentrações e temperaturas utilizadas e para o suco de laranja nas concentrações 35 e 45 °Brix e em todas as temperaturas utilizadas, apresentaram o fenômeno da instabilidade. Este fenômeno é causado pela ação de instabilidades no escoamento laminar e que aparecem com o aumento da velocidade de rotação. Estes desvios podem causar erros de 20 a 30% ou ainda superiores. Portanto, neste tipo de reômetro apenas baixas taxas de deformação produzem resultados confiáveis para fluidos com baixa viscosidade. Medindo-se a viscosidade de dois fluidos newtonianos utilizados como referência (fluido 1 com 9 mPa.s e fluido 2 com 314 mPa.s), o fenômeno aconteceu para o fluido de menor viscosidade (fluido 1) a partir de um valor de taxa de deformação de 300 s^{-1} , conforme pode ser observado na Figura 4.3.6. É muito importante o conhecimento deste efeito de instabilidade para evitar interpretações errôneas, quando não se conhece o comportamento do fluido.

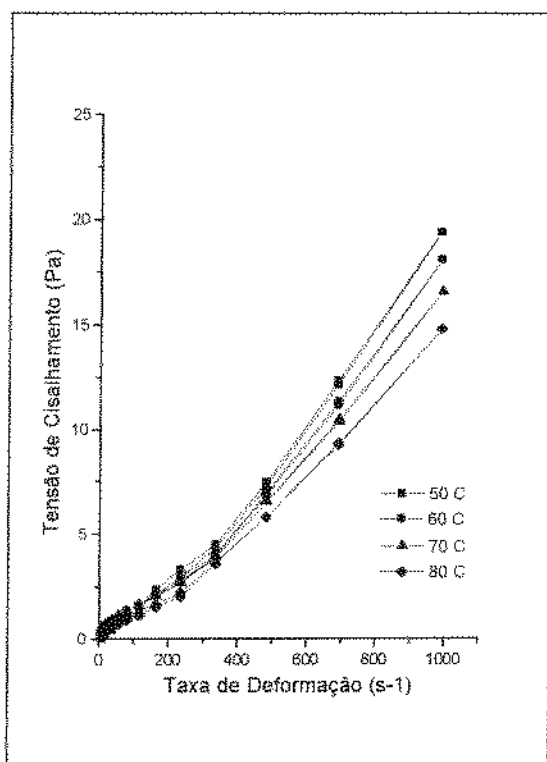


Figura 4.2.1. Suco de laranja a 35°Brix .

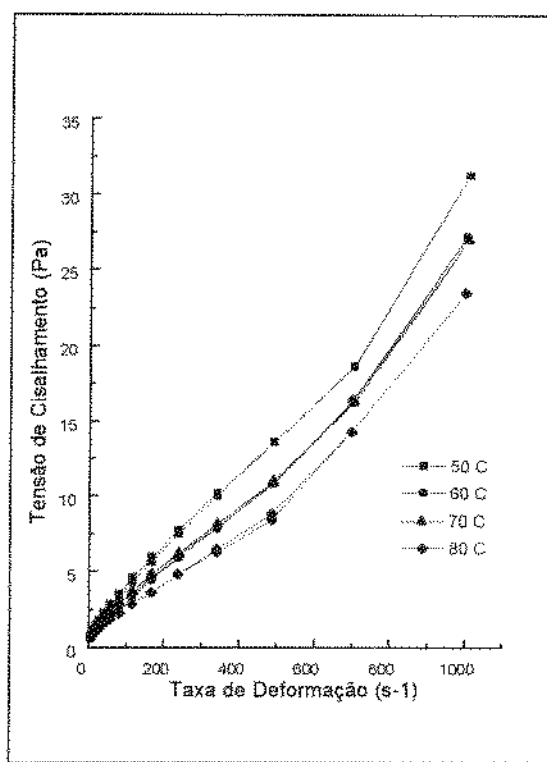


Figura 4.2.2. Suco de laranja a 45°Brix .

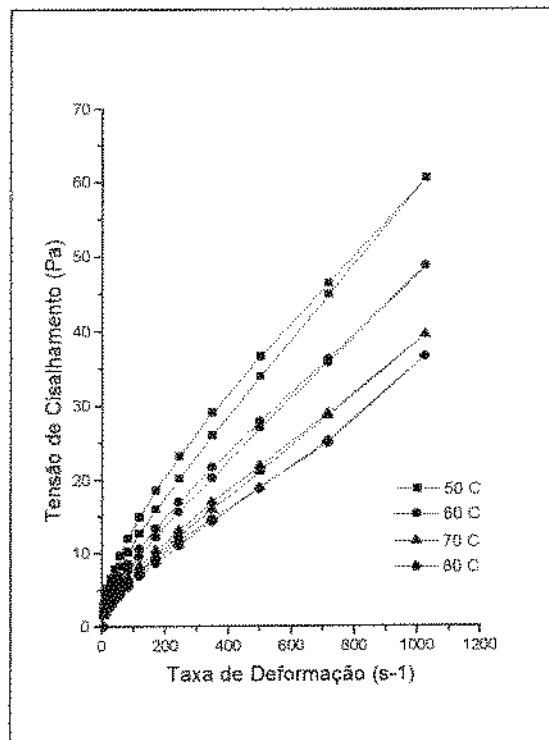


Figura 4.2.3. Suco de laranja a 55°Brix

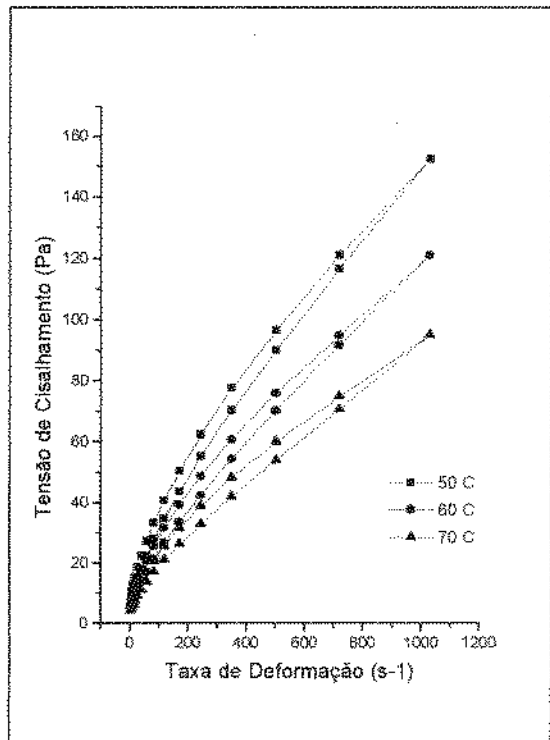


Figura 4.2.4. Suco de laranja a 64.8°Brix

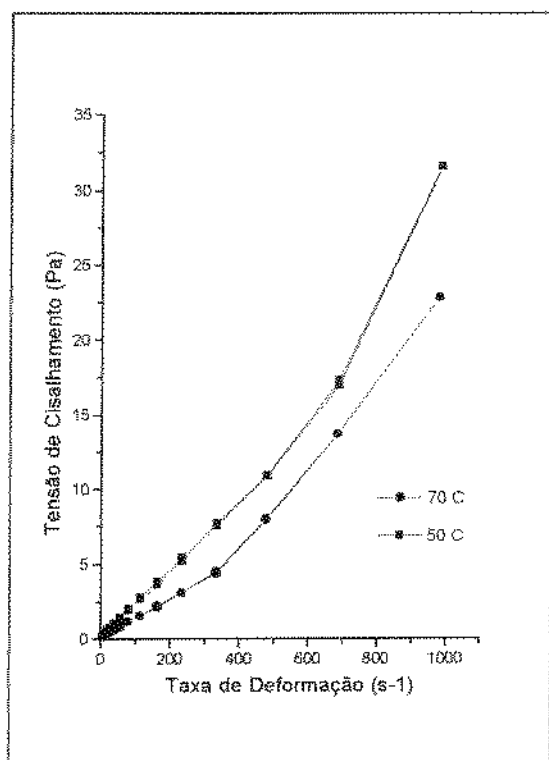


Figura 4.2.5. Suco de caju a 57.2 °Brix.

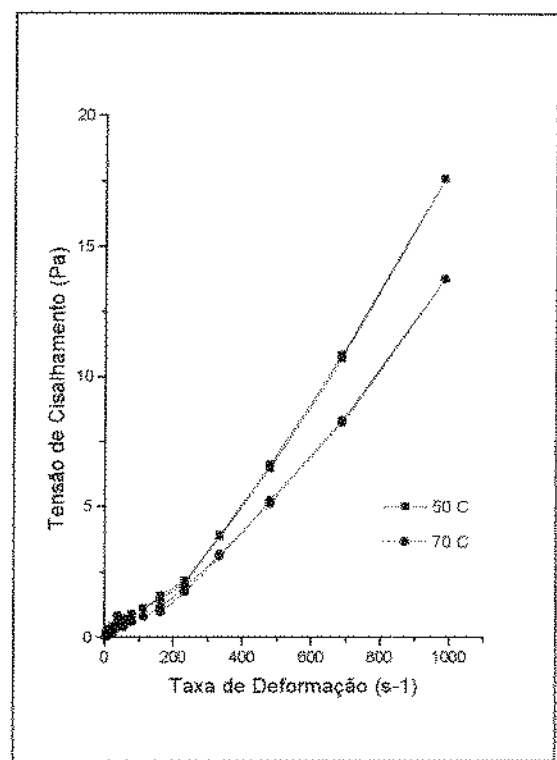


Figura 4.2.6. Suco de maracujá a 45 °Brix.

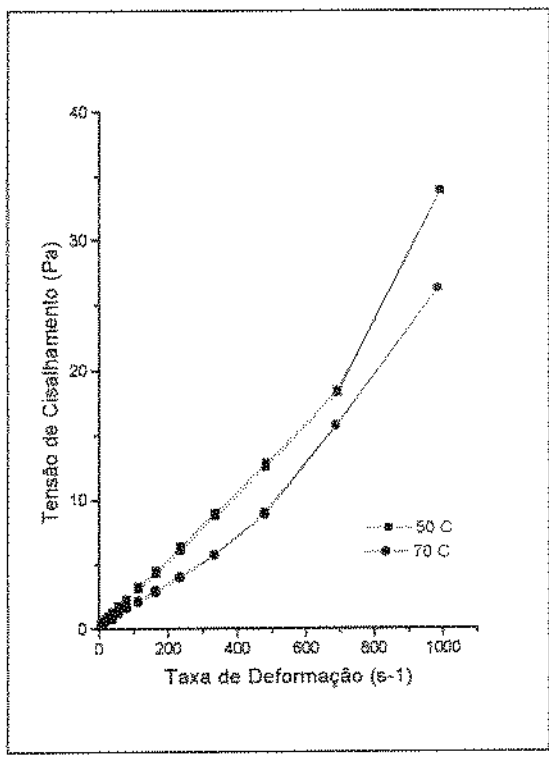


Figura 4.2.7. Suco de maracujá a 59.2 °Brix.

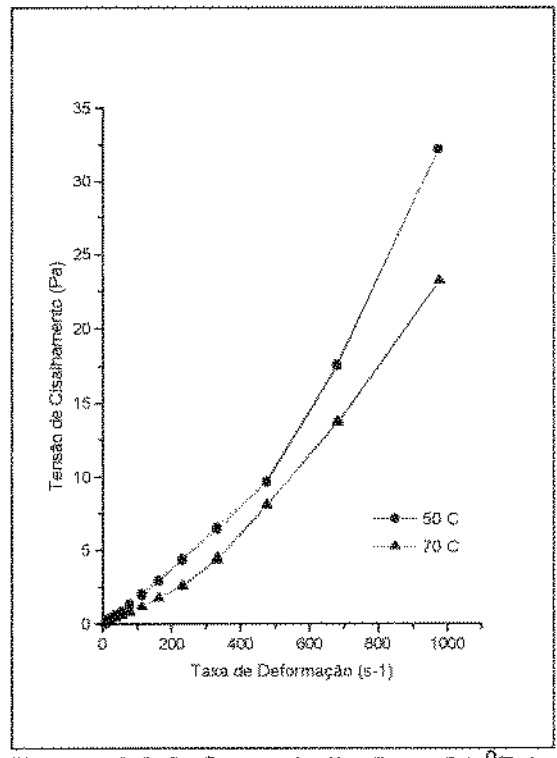


Figura 4.2.8. Suco de limão a 61 °Brix.

Os parâmetros dos modelos reológicos utilizados nos ajustes são apresentados nas Tabelas 4.2.1, 4.2.2 e 4.2.3.

Os modelos foram aplicados apenas aos reogramas que não apresentaram o efeito de instabilidade. Nestes experimentos, verificou-se que a concentração máxima do suco foi de 4% a 80 °C.

Tabela 4.2.1. Parâmetros do modelo de Ostwald.

| Suco | Concentração (°Brix) | Temperatura (°C) | K | n | R ² | χ ² |
|---------|-------------------------|---------------------|-------|-------|----------------|----------------|
| LARANJA | 55,0 | 50 | 0,531 | 0,681 | 0,9952 | 1,4506 |
| LARANJA | 55,0 | 60 | 0,310 | 0,728 | 0,9967 | 0,6474 |
| LARANJA | 55,0 | 70 | 0,215 | 0,749 | 0,9958 | 0,5241 |
| LARANJA | 55,0 | 80 | 0,180 | 0,761 | 0,9899 | 1,0394 |
| LARANJA | 64,8 | 50 | 1,803 | 0,639 | 0,9957 | 8,3182 |
| LARANJA | 64,8 | 60 | 1,283 | 0,655 | 0,9955 | 5,5224 |
| LARANJA | 64,8 | 70 | 1,066 | 0,646 | 0,9929 | 5,2853 |

Tabela 4.2.2. Parâmetros do modelo de Herschel-Bulkley.

| Suco | Concentração (° Brix) | Temperatura (°C) | τ ₀ | K _H | n _H | R ² | χ ² |
|---------|--------------------------|---------------------|----------------|----------------|----------------|----------------|----------------|
| LARANJA | 55,0 | 50 | 1,754 | 0,325 | 0,748 | 0,9967 | 1,0361 |
| LARANJA | 55,0 | 60 | 1,458 | 0,178 | 0,803 | 0,9968 | 0,2801 |
| LARANJA | 55,0 | 70 | 1,390 | 0,107 | 0,845 | 0,9988 | 0,1612 |
| LARANJA | 55,0 | 80 | 1,691 | 0,066 | 0,900 | 0,9955 | 0,4807 |
| LARANJA | 64,8 | 50 | 3,579 | 1,262 | 0,686 | 0,9965 | 7,0088 |
| LARANJA | 64,8 | 60 | 2,664 | 0,908 | 0,701 | 0,9962 | 4,7774 |
| LARANJA | 64,8 | 70 | 2,784 | 0,672 | 0,708 | 0,9942 | 4,4571 |

Tabela 4.2.3. Parâmetros do modelo de Casson.

| Suco | Concentração (° Brix) | Temperatura (°C) | K _{0C} | K _C | R ² | χ ² |
|---------|--------------------------|---------------------|-----------------|----------------|----------------|----------------|
| LARANJA | 55,0 | 50 | 1,307 | 0,206 | 0,9925 | 0,0273 |
| LARANJA | 55,0 | 60 | 1,028 | 0,188 | 0,9967 | 0,01 |
| LARANJA | 55,0 | 70 | 0,900 | 0,168 | 0,9983 | 0,0040 |
| LARANJA | 55,0 | 80 | 0,833 | 0,161 | 0,9713 | 0,0644 |
| LARANJA | 64,8 | 50 | 2,313 | 0,325 | 0,9881 | 0,1080 |
| LARANJA | 64,8 | 60 | 1,949 | 0,292 | 0,9885 | 0,0841 |
| LARANJA | 64,8 | 70 | 1,819 | 0,254 | 0,9874 | 0,0699 |

4.2.2. Sistema MS-DIN 1075

Os reogramas são apresentados nas Figuras 4.2.9 a 4.2.16. As Tabelas 4.2.4 a 4.2.6 apresentam os parâmetros dos modelos aplicados a estes reogramas. Em anexo, nas Tabelas A19 a A.39, são apresentados os resultados obtidos experimentalmente.

Neste sistema de medida, os sucos nas concentrações e temperaturas estudadas apresentaram comportamento pseudoplástico. O suco concentrou em até 7 % nas temperaturas de 70 e 80 °C. Não se verificou o fenômeno de instabilidade, como havia acontecido no sistema do tipo Searle, pois este efeito é aumentado com a distância entre os cilindros. Pode-se dizer que este sistema é bem adequado para as medidas de sucos de frutas a temperaturas superiores a 50 °C. Um estudo em outras faixas de temperatura seria interessante para verificar o desempenho deste sistema.

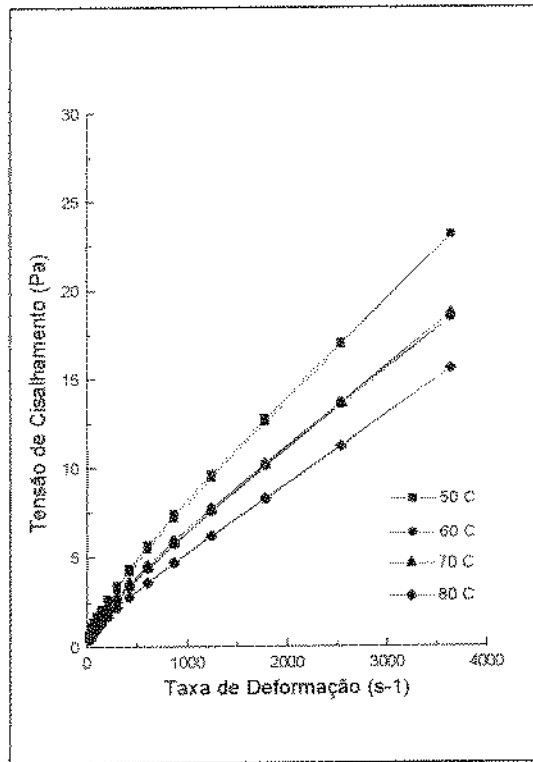


Figura 4.2.9. Suco de laranja a 35 °Brix

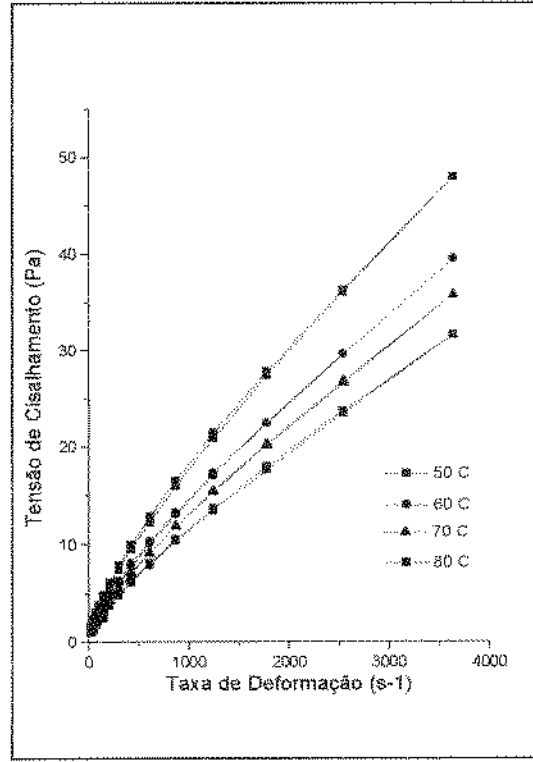


Figura 4.2.10. Suco de laranja a 45 °Brix

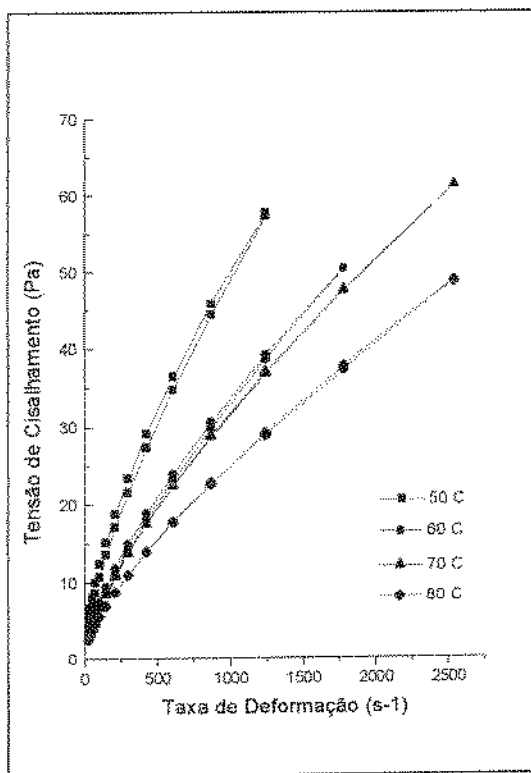


Figura 4.2.11. Suco de laranja a 55 °Brix

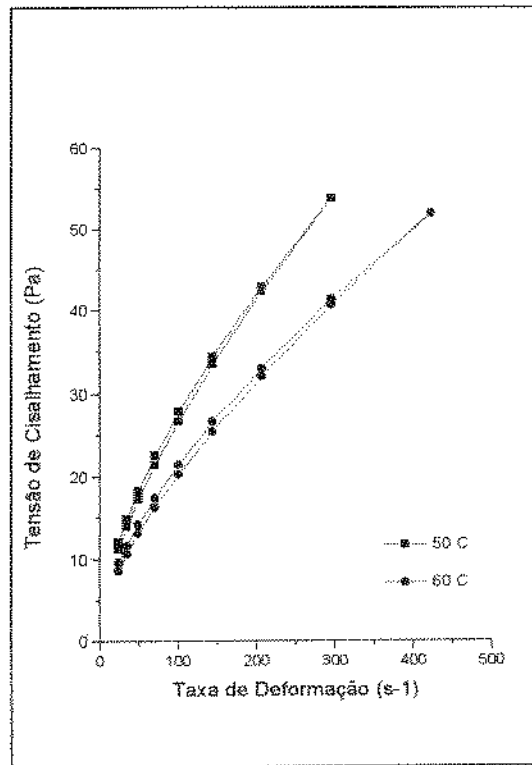


Figura 4.2.12. Suco de laranja a 64.8 °Brix

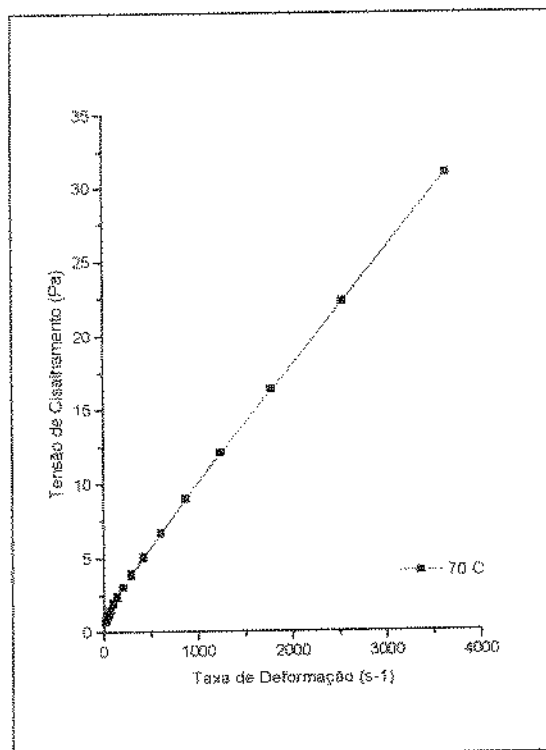


Figura 4.2.13. Suco de caju a 57.2 °Brix

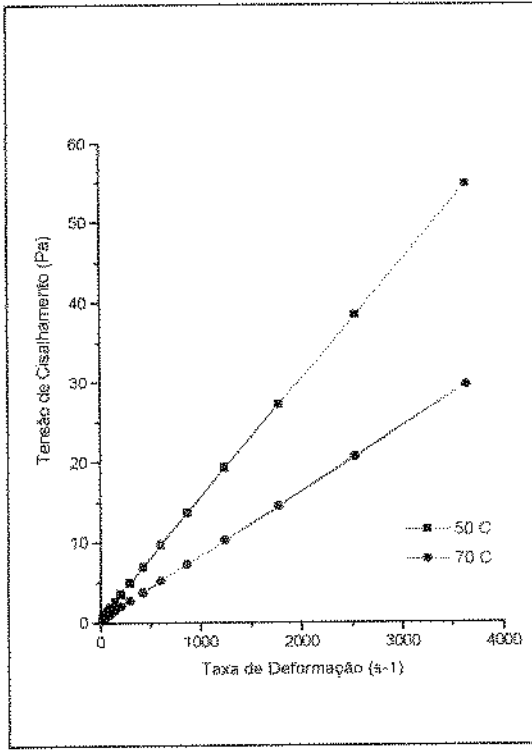


Figura 4.2.14. Suco de limão a 61 °Brix

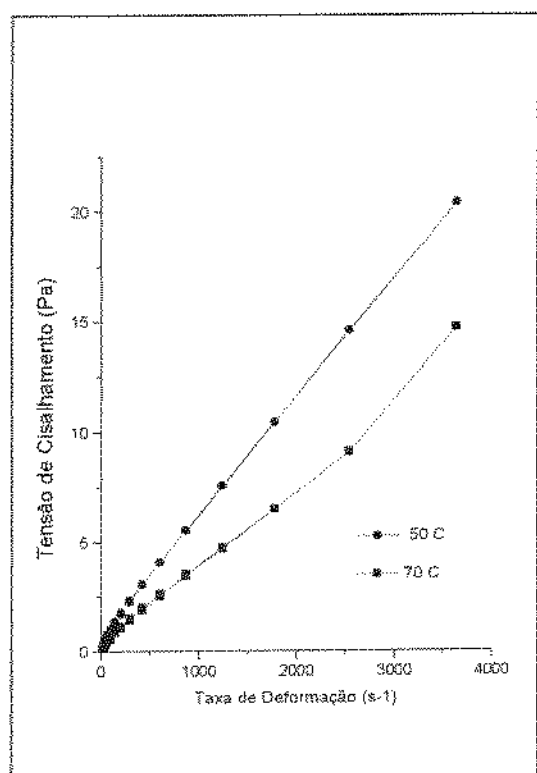


Figura 4.2.15. Suco de maracujá a 45 °Brix.

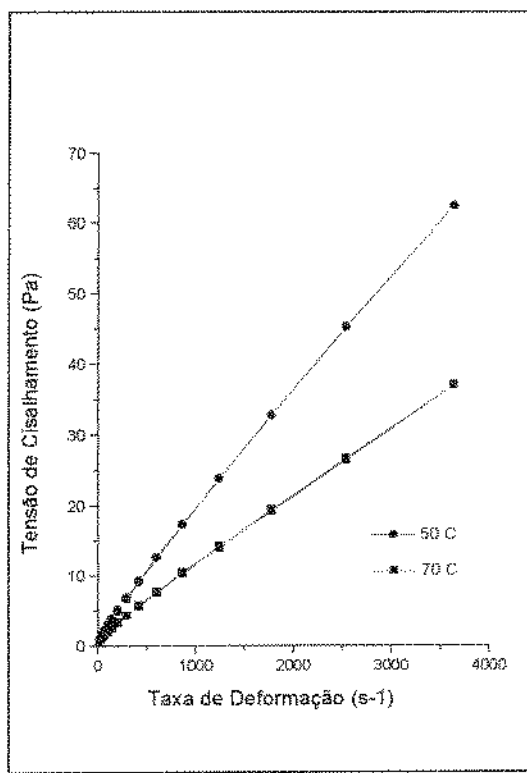


Figura 4.2.16. Suco de maracujá a 59.2 °Brix.

Tabela 4.2.4. Parâmetros do modelo de Ostwald

| Suco | Concentração (° Brix) | Temperatura (°C) | K | n | R ² | χ^2 |
|---------|-----------------------|------------------|-------|-------|----------------|----------|
| LARANJA | 35,0 | 50 | 0,038 | 0,780 | 0,9984 | 0,0709 |
| LARANJA | 35,0 | 60 | 0,030 | 0,781 | 0,9987 | 0,0382 |
| LARANJA | 35,0 | 70 | 0,031 | 0,777 | 0,9974 | 0,0738 |
| LARANJA | 35,0 | 80 | 0,022 | 0,799 | 0,9975 | 0,0498 |
| LARANJA | 45,0 | 50 | 0,112 | 0,737 | 0,9993 | 0,1431 |
| LARANJA | 45,0 | 60 | 0,089 | 0,742 | 0,9990 | 0,1367 |
| LARANJA | 45,0 | 70 | 0,075 | 0,751 | 0,9992 | 0,0883 |
| LARANJA | 45,0 | 80 | 0,063 | 0,756 | 0,9990 | 0,0875 |
| LARANJA | 55,0 | 50 | 0,599 | 0,639 | 0,9976 | 0,6650 |
| LARANJA | 55,0 | 60 | 0,306 | 0,680 | 0,9989 | 0,2369 |
| LARANJA | 55,0 | 70 | 0,271 | 0,691 | 0,9998 | 0,0679 |
| LARANJA | 55,0 | 80 | 0,226 | 0,684 | 0,9992 | 0,1626 |
| LARANJA | 64,8 | 50 | 1,599 | 0,617 | 0,9986 | 0,3082 |
| LARANJA | 64,8 | 60 | 1,189 | 0,623 | 0,9981 | 0,4024 |
| CAJU | 57,2 | 70 | 0,031 | 0,842 | 0,9987 | 0,1027 |
| LIMÃO | 61,0 | 50 | 0,020 | 0,965 | 0,9999 | 0,0213 |
| LIMÃO | 61,0 | 70 | 0,010 | 0,968 | 0,9997 | 0,0249 |

Tabela 4.2.4. Continuação.

| Suco | Concentração (° Brix) | Temperatura (°C) | K | n | R ² | χ^2 |
|----------|--------------------------|---------------------|-------|-------|----------------|----------|
| MARACUJÁ | 45,0 | 50 | 0,013 | 0,892 | 0,9994 | 0,2237 |
| MARACUJÁ | 45,0 | 70 | 0,004 | 0,996 | 0,9928 | 0,1214 |
| MARACUJÁ | 59,2 | 50 | 0,043 | 0,887 | 0,9999 | 0,0470 |
| MARACUJÁ | 59,2 | 70 | 0,029 | 0,869 | 0,9992 | 0,0953 |

Tabela 4.2.5. Parâmetros do modelo de Herschel-Bulkley

| Suco | Concentração (° Brix) | Temperatura (°C) | τ_0 | K _H | n _H | R ² | χ^2 |
|----------|--------------------------|---------------------|----------|----------------|----------------|----------------|----------|
| LARANJA | 35,0 | 50 | 0,516 | 0,023 | 0,840 | 0,9996 | 0,0182 |
| LARANJA | 35,0 | 60 | 0,372 | 0,019 | 0,835 | 0,9996 | 0,0109 |
| LARANJA | 35,0 | 70 | 0,539 | 0,016 | 0,856 | 0,9995 | 0,0153 |
| LARANJA | 35,0 | 80 | 0,399 | 0,012 | 0,872 | 0,9992 | 0,0167 |
| LARANJA | 45,0 | 50 | 0,752 | 0,082 | 0,775 | 0,99957 | 0,0479 |
| LARANJA | 45,0 | 60 | 0,796 | 0,058 | 0,792 | 0,9998 | 0,0254 |
| LARANJA | 45,0 | 70 | 0,629 | 0,052 | 0,794 | 0,9998 | 0,0175 |
| LARANJA | 45,0 | 80 | 0,583 | 0,043 | 0,802 | 0,9997 | 0,0257 |
| LARANJA | 55,0 | 50 | 1,369 | 0,439 | 0,680 | 0,9981 | 0,5738 |
| LARANJA | 55,0 | 60 | 1,189 | 0,211 | 0,728 | 0,9995 | 0,1034 |
| LARANJA | 55,0 | 70 | 0,715 | 0,222 | 0,715 | 0,9999 | 0,0071 |
| LARANJA | 55,0 | 80 | 1,091 | 0,154 | 0,731 | 0,9999 | 0,0194 |
| LARANJA | 64,8 | 50 | 2,275 | 1,127 | 0,671 | 0,9989 | 0,2525 |
| LARANJA | 64,8 | 60 | 2,354 | 0,772 | 0,688 | 0,9987 | 0,2919 |
| CAJU | 57,2 | 70 | 0,604 | 0,019 | 0,899 | 0,9998 | 0,0174 |
| LIMÃO | 61,0 | 50 | 0,227 | 0,018 | 0,978 | 0,9999 | 0,0063 |
| LIMÃO | 61,0 | 70 | 0,245 | 0,008 | 0,996 | 0,9999 | 0,0071 |
| MARACUJÁ | 45,0 | 50 | 0,247 | 0,010 | 0,929 | 0,9998 | 0,0069 |
| MARACUJÁ | 45,0 | 70 | 0,381 | 0,002 | 1,098 | 0,9955 | 0,0783 |
| MARACUJÁ | 59,2 | 50 | 0,405 | 0,037 | 0,906 | 0,9999 | 0,0056 |
| MARACUJÁ | 59,2 | 70 | 0,573 | 0,020 | 0,915 | 0,9999 | 0,0140 |

Tabela 4.2.6. Parâmetros para o modelo de Casson - Modelo MS-DIN 1075.

| Suco | Concentração (° Brix) | Temperatura (°C) | K _C | K _c | R ² | χ^2 |
|---------|--------------------------|---------------------|----------------|----------------|----------------|----------|
| LARANJA | 35,0 | 50 | 0,565 | 0,071 | 0,9985 | 0,0022 |
| LARANJA | 35,0 | 60 | 0,492 | 0,064 | 0,9983 | 0,0020 |
| LARANJA | 35,0 | 70 | 0,546 | 0,063 | 0,9991 | 0,0010 |
| LARANJA | 35,0 | 80 | 0,442 | 0,058 | 0,9986 | 0,0015 |
| LARANJA | 45,0 | 50 | 0,903 | 0,102 | 0,9967 | 0,0104 |
| LARANJA | 45,0 | 60 | 0,833 | 0,092 | 0,9977 | 0,0059 |
| LARANJA | 45,0 | 70 | 0,752 | 0,088 | 0,9976 | 0,0057 |

Tabela 4.2.6. Continuação.

| Suco | Concentração (° Brix) | Temperatura (°C) | K _{0C} | K _C | R ² | χ^2 |
|----------|--------------------------|---------------------|-----------------|----------------|----------------|----------|
| LARANJA | 45,0 | 80 | 0,701 | 0,083 | 0,9977 | 0,0048 |
| LARANJA | 55,0 | 50 | 1,582 | 0,175 | 0,9924 | 0,0229 |
| LARANJA | 55,0 | 60 | 1,250 | 0,143 | 0,9960 | 0,0115 |
| LARANJA | 55,0 | 70 | 1,228 | 0,136 | 0,9946 | 0,0207 |
| LARANJA | 55,0 | 80 | 1,173 | 0,119 | 0,9963 | 0,0109 |
| LARANJA | 64,8 | 50 | 1,969 | 0,317 | 0,9961 | 0,0072 |
| LARANJA | 64,8 | 60 | 1,823 | 0,266 | 0,9958 | 0,0086 |
| CAJU | 57,2 | 70 | 0,503 | 0,084 | 0,9996 | 0,0009 |
| LIMÃO | 61,0 | 50 | 0,162 | 0,119 | 0,9999 | 0,0002 |
| LIMÃO | 61,0 | 70 | 0,156 | 0,086 | 0,9999 | 0,0003 |
| MARACUJÁ | 45,0 | 50 | 0,272 | 0,070 | 0,9993 | 0,0010 |
| MARACUJÁ | 45,0 | 70 | 0,184 | 0,058 | 0,9962 | 0,0038 |
| MARACUJÁ | 59,2 | 50 | 0,436 | 0,125 | 0,9997 | 0,0016 |
| MARACUJÁ | 59,2 | 70 | 0,462 | 0,093 | 0,9998 | 0,0004 |

4.3. COMPARAÇÃO DOS RESULTADOS USANDO-SE OS DOIS REÔMETROS

Os reogramas obtidos experimentalmente com o uso dos reômetros de placas paralelas e cilindros concêntricos foram graficados para comparação. As Figuras 4.3.1 a 4.3.5 apresentam estes resultados para o suco de laranja. Em todos os casos comparados para os sucos nas concentrações e temperaturas de medida, nenhuma das curvas coincidiu.

Os resultados obtidos no reômetro de placas paralelas da marca Haake Rotovisco apresentaram em todos os casos um reograma com curva acima da obtida no sistemas de “double gap” do reômetro Contraves, ocasionando um valor de viscosidade aparente superior. O sistema do tipo Searle (MS-DIN 145) sofreu desvios para a maioria dos casos, ele não apresentou comportamento pseudoplástico, diferindo dos outros dois sistemas.

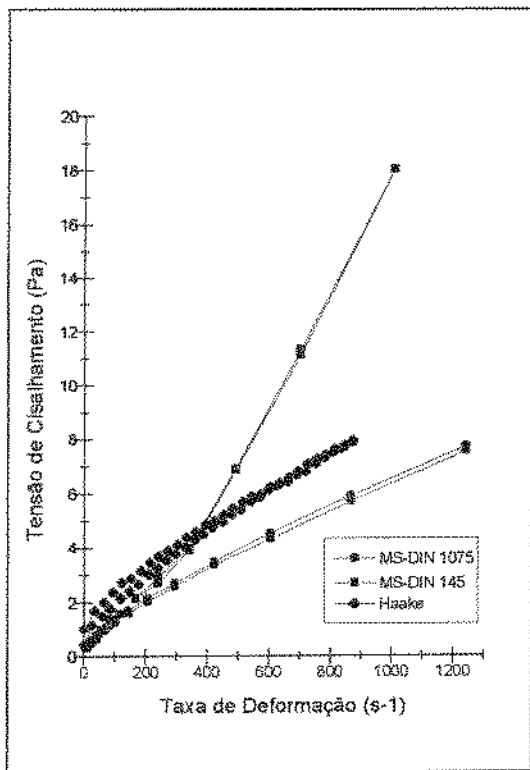


Figura 4.3.1. Suco de laranja a 35 °Brix e 60 °C.

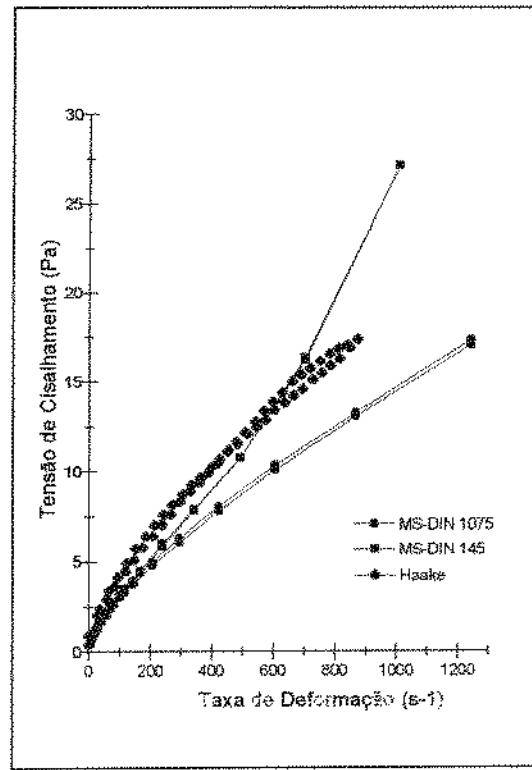


Figura 4.3.2. Suco de laranja a 45 °Brix e 60 °C.

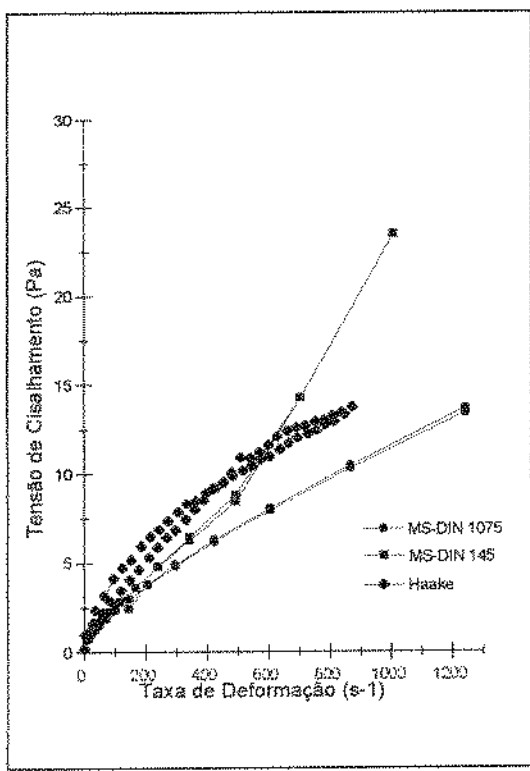


Figura 4.3.3. Suco de laranja a 45 °Brix e temperatura de 80 °C.

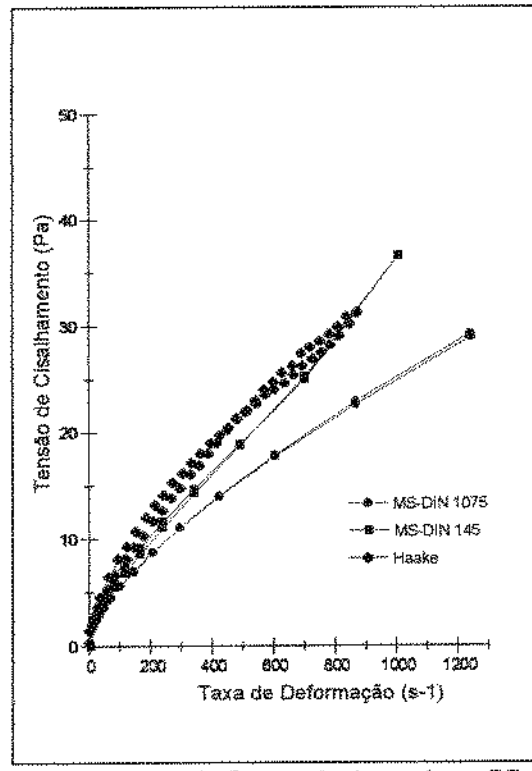


Figura 4.3.4. Suco de laranja a 55 °Brix e temperatura de 80 °C.

Os fluidos newtonianos padrões (fluidos 1 e 2) medidos nos dois reômetros a mesma temperatura, apresentaram o mesmo valor de viscosidade, confirmando-se assim a calibração dos equipamentos e portanto a validade dos resultados. Observou-se a grande dificuldade em medir baixas viscosidades do reômetro de placas paralelas, o melhor é diminuir ao máximo as distâncias entre as placas. Baseado nisso, é que foram feitas as medidas do suco de laranja a uma distância de 0,5 mm ao invés de 1,0 mm, mas devido às diferenças encontradas nos experimentos, acredita-se que deva ser feito um melhor estudo da distância entre placas para fluidos não newtonianos.

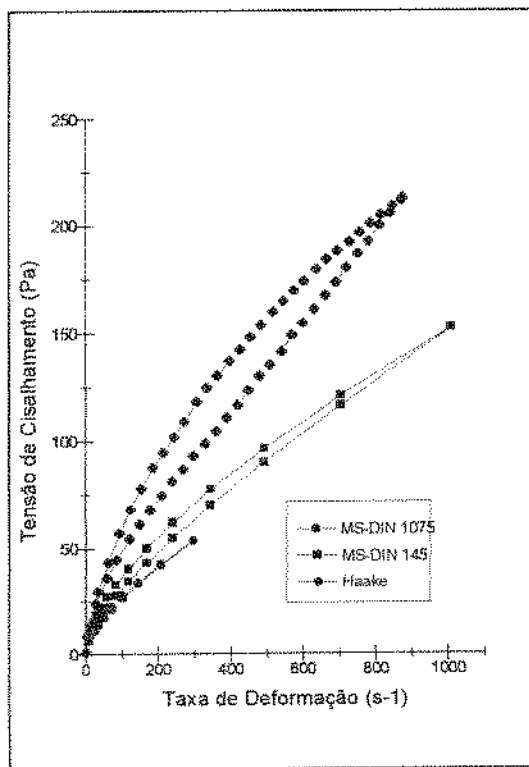


Figura 4.3.5. Suco de laranja a 64.8 °Brix e temperatura igual a 50 °C

A Figura 4.3.6 apresenta os reogramas do fluido 1 no reômetro Contraves medido para os dois sistemas. O que se observa é o desvio da linearidade ocorrido para o sistema MS-DIN 145, mostrando claramente o fenômeno de instabilidade ocorrido devido à mudança de regime laminar para turbulento. Nas Figuras 4.3.7 e 4.3.8 são apresentados os reogramas para os mesmos fluidos em comparação com o sistema de placas paralelas.

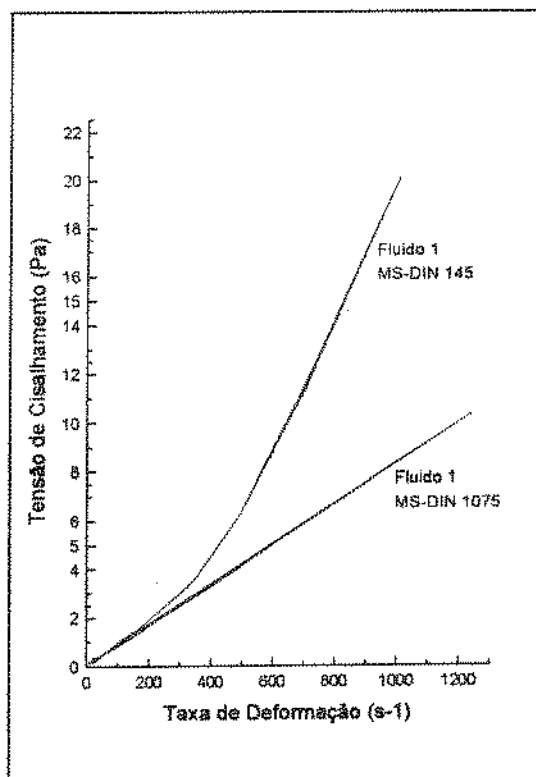


Figura 4.3.6. Comparação dos sistemas MS-DIN 145 e 1075

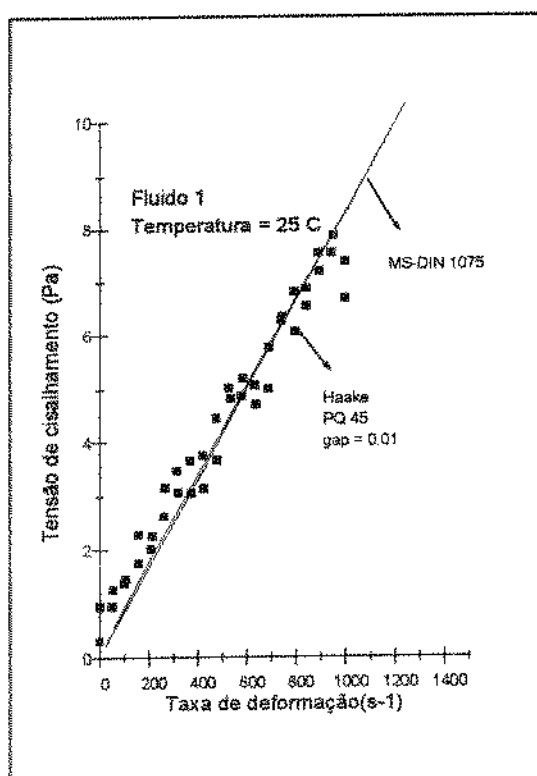


Figura 4.3.7. Comparação dos sistemas MS-DIN 1075 e placas paralelas

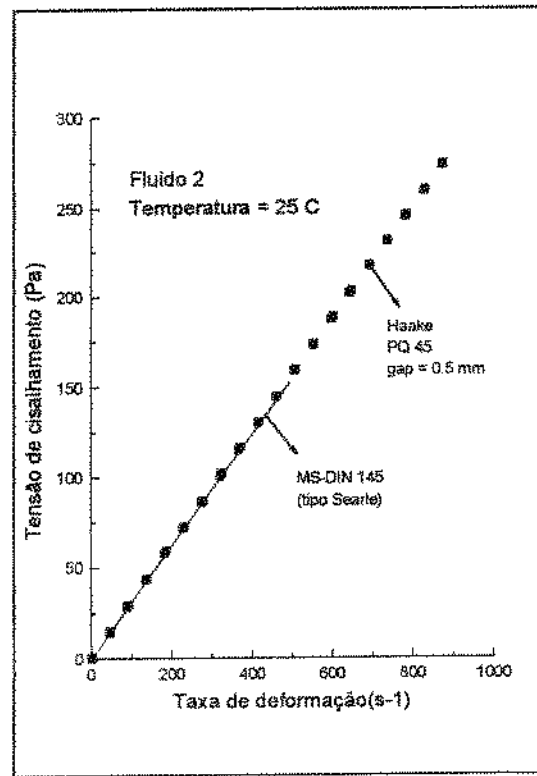


Figura 4.3.8. Comparação dos sistemas MS-DIN 145 e placas paralelas

O único trabalho em que é feita uma tentativa para uma descrição geral da reologia de suco concentrado de laranja é devido a Crandall et alii 1982, porém sua faixa experimental ficou entre -10 °C e +25 °C, sendo que o principal interesse era quanto ao bombeamento do concentrado nessa faixa de temperaturas.

Como o suco concentrado não é uma substância pura a expectativa para o comportamento reológico é que seja dependente de muitas variáveis, o que torna possível apenas a comparação para faixas de valores, como pode-se observar na literatura. A falta de medidas reportadas na literatura para as faixas de temperatura estudadas neste trabalho impede uma comparação direta.

Este trabalho procurou explorar uma faixa de temperaturas bastante interessante sob o ponto de vista do processamento, porém não reportada na literatura.

Como objetivo imediato, pode-se pensar pensar nas aplicações ao cálculo de trocadores de calor, evaporadores, colunas de separação e sistemas de ultrafiltração. Porém, o que de mais importante resulta é a comparação entre os resultados obtidos em diferentes sistemas de medida. Dos resultados aqui reportados fica um alerta quanto a livre interpretação dada aos resultados em geral e talvez muitos deles reportados na literatura.

5. CONCLUSÕES

O sistema MS-DIN 145 (tipo Searle) do reômetro marca Contraves apresentou efeito de instabilidade, ocasionando desvios no real comportamento dos fluidos. Isto foi evidenciado nos resultados obtidos experimentalmente para os sucos a temperaturas acima de 50 °C e para um fluido padrão newtoniano a 25 °C. Portanto, não é aconselhável o uso deste sistema para a medida de propriedades reológicas de sucos de frutas a temperaturas iguais ou superiores a 50 °C, pois as faixas de taxas de deformação confiáveis são muito pequenas. A faixa confiável se reduz à medida que diminui a viscosidade.

Os resultados dos experimentos realizados no sistema MS-DIN 1075 (“double gap”) do reômetro Contraves foram satisfatórios para ambos os fluidos newtonianos padrões (fluidos 1 e 2) que apresentaram comportamento linear e valor real da viscosidade e os sucos de frutas usados apresentaram comportamento pseudoplástico para todas as concentrações e temperatura usadas. Portanto este é um sistema de medida mais confiável para maiores faixas da taxa de deformação.

Comparando-se a evaporação causada durante as medidas experimentais nos sistemas MS-DIN 145 e sistema MS-DIN 1075, determinou-se que no último, este efeito é mais pronunciado e tanto maior quanto maiores as temperaturas. A diferença de concentração devido à evaporação chegou a 7%, por isso deve-se ter muito cuidado quando houver necessidade de repetição do experimento com a mesma amostra.

No reômetro de placas paralelas de marca Haake Rotovisco foram realizados experimentos para os sucos de laranja, a diferentes temperaturas e concentrações, com o sistema PQ 45 e as placas separadas por uma distância de 0,5mm e 1 mm, atingindo-se valores de taxas de deformação de 874 e 500 s⁻¹,

respectivamente. Os resultados apresentaram comportamento pseudoplástico para todos os experimentos. Não foi possível determinar se houve ou não evaporação durante a corrida, devido à pequena quantidade de amostra utilizada em cada experimento o que impossibilita a determinação de concentração de sólidos solúveis com refratômetro. Quando comparados os reogramas para as duas distâncias entre as placas, observou-se que a viscosidade aparente menor é para as corridas com separação maior entre placas. Este efeito é oposto àquele observado com o fluido padrão newtoniano. Devido ao resultado de calibração com o fluido newtoniano adotou-se o espaçamento menor para análise dos sucos, porém este é um tema aberto e que merece estudos específicos.

Na comparação entre os dois tipos de sistemas: cilindros concêntricos e placas paralelas, observou-se em todos os reogramas para uma mesma temperatura e concentração, uma diferença no valor de viscosidade aparente. Não se pode, entretanto, afirmar qual resultado é o correto. Com isso pode-se dizer que quando forem comparados resultados para materiais não newtonianos deve-se ter o cuidado de indicar o sistema de medida usado. Mesmo para taxas de deformação iguais, o ideal é a comparação de resultados medidos em um mesmo sistema. Para aplicações em projetos os dados reológicos deveriam ser medidos na mesma geometria em que vão ser aplicados. Como exemplo disto, é comum o conflito entre fabricante e cliente quando o parâmetro de qualidade é “viscosidade” de materiais não newtonianos.

6. SUGESTÕES

Seria muito interessante desenvolver um estudo do efeito da evaporação das placas de acordo com o tipo de fluido a ser caracterizado reologicamente. Há indicações que os efeitos são diferentes para fluidos homogêneos e não homogêneos (e.g. com partículas em suspensão estável).

A literatura relata comportamento reológico de frutas apenas com relação ao teor de sólidos expressos em °Brix, teor de polpa e temperatura. Apenas recentemente começaram surgir idéias de referir-se também ao teor de pectina. No entanto, talvez seja importante ir além desses parâmetros e devem ser desenvolvidas investigações nessa direção.

7. REFERÊNCIAS BIBLIOGRÁFICAS

- BARNES, H. A.; HUTTON, J. F. & WALTERS, K. **An Introduction to Rheology.** New York, Elsevier Science Publishers, 1989.
- BIRD, R. B. ; STEWART, W. E. & LIGHTFOOT, E. N. **Transport Phenomena.** EUA, John Wiley & Sons, 1960.
- CRANDALL, P. G.; CHEN, C. S.; & CARTER, R. D. Models for Predicting Viscosity of Orange Juice Concentrate. **Food Technology**, v. 36, n. 5, 1982.
- GASPARETTO, C. A. **Comportamento Reológico dos Fluidos Reais.** São Carlos, SP. 1983.
- KHALIL, K. E.; RAMAKRISHNA, P.; NANJUNDASWAMY, A. M. & PATWARDHAN, M. V. Rheological Behaviour of Clarified Banana Juice: Effect of Temperature and Concentration. **Journal of Food Engineering**, v. 10, n. 3, 1989.
- MIZRAHI, S. & BERK, Z. Flow Behaviour of Concentrated Orange Juice: Mathematical Treatament. **Journal of Food Textures Studies**, v. 3, 69-79, 1972.
- MIZRAHI, S. & FIRSTENBERG, R. Effect of Orange Juice Composition on Flow Behaviour of six-fold Concentrate. **Journal of Texture Studies**, v. 6. 1975.
- PRENTICE, J. H. **Measurements in the Rheology of Foodstuffs.** London and New York Elsevier Applied Science Publishers, 1984.

RAO, M. A.; COOLEY, H. J. & VITALI, A. A. Flow Properties of Concentrated Juices at Low Temperatures. **Food Technology**, v. 38, n. 3, 1984.

RAO, M. A. & RIZVI, S. S. **Engineering Properties of Foods**, New York, Marcel Dekker, 1986.

SÁENZ, C. & COSTELL, E. Comportamiento reológico de productos de limón. Influencia de la temperatura y de la concentración. **Revista Agroquímica y Tecnológica de Alimentos**, v. 26, n. 4, 1986

SARAVACOS, G.D. Effect of Temperature on Viscosity of Fruit Juices and Purees. **Journal of Food Science**, v. 35, n. 2, 1970.

SCHRAMM, G. **A Practical Approach to Rheology and Reometry**, Germany, Gebrueder HAAKE, 1994.

SHET, B. B. Viscosity measurements and Interpretation of Viscosity Data. **Journal of Texture Studies**, v. 7, 1976.

SKELLAND, A. H. P. **Non Newtonian Flow and Heat Transfer**. John Wiley & Sons, EUA, 1967.

SMITH, R. E. Effect of Gap Errors in Rotational Concentric Cylinder Viscometers. **Journal of Rheology**, v. 28, n. 2, 155-160, 1984.

VAN WAZER, J. R.; LYONS, J. W.; KIM, K. Y. & COLWELL, R. E. **Viscosity and Flow Measurements**. Interscience Publishers, John Wiley & Sons, EUA, 1963.

VITALI, A. A. and RAO, M. A.(a) Flow Properties of Low-Pulp Concentrated Orange Juice: Serum Viscosity and Effect of Pulp Content. **Journal of Food Science**, v.49, p.876-881, 1984.

VITALI, A. A. and RAO, M. A.(b) Flow Properties of Low-Pulp Concentrated Orange Juice: Effect of Temperature and Concentration. **Journal of Food Science**, v.49, p.882-888, 1984.

WALTERS, K. **Rheometry**. Chapman and Hall, GB, 1975

ANEXO A

Tabelas de Resultados Experimentais

Compreendendo de A.1 a A.39

Tabela A.1. Suco de laranja a 35 °Brix e temperatura de 60 °C, no redutor de placas paralelas.

| τ_1 (Pa) | τ_2 (Pa) | τ_3 (Pa) | VM (Pa) | Desvio padrão | Ero padrão | γ_1 (s ⁻¹) | γ_2 (s ⁻¹) | VM (s ⁻¹) | Desvio padrão | Ero padrão |
|------------------|------------------|------------------|------------|------------------|---------------|----------------------------------|----------------------------------|--------------------------|------------------|---------------|
| 0,402 | 0,514 | 0,402 | 0,439 | 0,065 | 0,037 | 0 | 0 | 0,03 | 0,060 | 0,03 |
| 1,196 | 1,207 | 1,084 | 1,162 | 0,068 | 0,039 | 26,27 | 26,23 | 26,17 | 26,22 | 0,05 |
| 1,464 | 1,621 | 1,408 | 1,498 | 0,110 | 0,064 | 59,96 | 59,88 | 59,94 | 0,05 | 0,03 |
| 1,766 | 1,811 | 1,755 | 1,777 | 0,029 | 0,0171 | 84,44 | 83,73 | 84,15 | 0,36 | 0,21 |
| 2,135 | 2,235 | 2,123 | 2,164 | 0,061 | 0,035 | 119 | 119,2 | 119 | 119,07 | 0,11 |
| 2,325 | 2,526 | 2,425 | 2,425 | 0,101 | 0,058 | 147,5 | 147,8 | 147,5 | 147,6 | 0,17 |
| 2,626 | 2,783 | 2,604 | 2,671 | 0,098 | 0,056 | 176,6 | 176,7 | 176,7 | 176,67 | 0,06 |
| 2,973 | 3,096 | 3,163 | 3,047 | 0,101 | 0,059 | 210,6 | 210,3 | 210,3 | 210,4 | 0,17 |
| 3,152 | 3,409 | 3,275 | 3,278 | 0,128 | 0,074 | 239,1 | 238,9 | 238,9 | 238,97 | 0,11 |
| 3,498 | 3,565 | 3,588 | 3,550 | 0,047 | 0,027 | 267,8 | 268 | 267,7 | 267,83 | 0,15 |
| 3,778 | 3,901 | 3,666 | 3,782 | 0,117 | 0,068 | 296,5 | 296,6 | 297 | 296,7 | 0,26 |
| 4,046 | 4,124 | 3,934 | 4,035 | 0,095 | 0,055 | 330,1 | 330,1 | 330,1 | 330,1 | 0 |
| 4,247 | 4,426 | 4,281 | 4,318 | 0,095 | 0,055 | 359,1 | 359,1 | 359,1 | 359,17 | 0,11 |
| 4,482 | 4,593 | 4,448 | 4,508 | 0,076 | 0,044 | 388 | 387,4 | 387,4 | 387,6 | 0,35 |
| 4,728 | 4,884 | 4,661 | 4,758 | 0,114 | 0,066 | 416,9 | 416,9 | 416,9 | 416,87 | 0,06 |
| 4,929 | 5,197 | 4,795 | 4,974 | 0,205 | 0,118 | 450,1 | 450 | 449,5 | 449,87 | 0,32 |
| 5,163 | 5,432 | 5,096 | 5,230 | 0,179 | 0,103 | 479,1 | 479,1 | 479,1 | 479,07 | 0,06 |
| 5,376 | 5,566 | 5,275 | 5,406 | 0,148 | 0,085 | 507,8 | 507,3 | 507,5 | 507,53 | 0,25 |
| 5,689 | 5,834 | 5,599 | 5,707 | 0,119 | 0,068 | 541,4 | 541,4 | 541,2 | 541,33 | 0,11 |
| 5,756 | 6,102 | 5,7 | 5,853 | 0,218 | 0,126 | 570,1 | 570,3 | 570,6 | 570,33 | 0,25 |
| 6,113 | 6,214 | 6,125 | 6,151 | 0,055 | 0,032 | 599,2 | 599,2 | 599,2 | 599,2 | 0 |
| 6,281 | 6,393 | 6,203 | 6,292 | 0,095 | 0,055 | 627,7 | 627,8 | 627,8 | 627,77 | 0,06 |
| 6,382 | 6,605 | 6,326 | 6,438 | 0,148 | 0,085 | 661,6 | 661,6 | 661,1 | 661,27 | 0,29 |
| 6,672 | 6,885 | 6,505 | 6,687 | 0,190 | 0,110 | 690 | 690 | 690 | 690 | 0 |
| 6,695 | 6,996 | 6,75 | 6,814 | 0,160 | 0,092 | 719,2 | 718,9 | 719,1 | 719,07 | 0,15 |
| 7,019 | 7,231 | 7,063 | 7,104 | 0,112 | 0,065 | 752,8 | 752,1 | 752,7 | 752,53 | 0,38 |
| 7,276 | 7,376 | 7,32 | 7,324 | 0,050 | 0,029 | 781,4 | 781,6 | 781,3 | 781,43 | 0,15 |
| 7,533 | 7,645 | 7,354 | 7,511 | 0,147 | 0,085 | 810,1 | 810,1 | 810,1 | 810,8 | 0,17 |
| 7,611 | 7,756 | 7,622 | 7,663 | 0,081 | 0,046 | 838,5 | 838,8 | 839,3 | 838,87 | 0,40 |

Tabela A.1. Continuação

| τ_1 (Pa) | τ_2 (Pa) | τ_3 (Pa) | VM (Pa) | Desvio padrão | Erro padrão | γ_1 (s ⁻¹) | γ_2 (s ⁻¹) | γ_3 (s ⁻¹) | VM (s ⁻¹) | Desvio padrão | Erro padrão |
|------------------|------------------|------------------|------------|------------------|----------------|----------------------------------|----------------------------------|----------------------------------|--------------------------|------------------|----------------|
| 8,013 | 8,036 | 7,846 | 7,965 | 0,104 | 0,059 | 872,1 | 872,6 | 872,4 | 872,37 | 0,25 | 0,14 |
| 7,768 | 8,002 | 7,946 | 7,905 | 0,122 | 0,070 | 873,7 | 873,4 | 873,7 | 873,6 | 0,17 | 0,1 |
| 7,812 | 7,846 | 7,622 | 7,76 | 0,121 | 0,070 | 847,5 | 847,1 | 847,5 | 847,37 | 0,23 | 0,13 |
| 7,678 | 7,7 | 7,499 | 7,626 | 0,110 | 0,063 | 813,5 | 813,9 | 813,6 | 813,67 | 0,21 | 0,12 |
| 7,477 | 7,455 | 7,287 | 7,406 | 0,104 | 0,06 | 785 | 785,1 | 785,1 | 785,07 | 0,06 | 0,03 |
| 7,253 | 7,332 | 7,22 | 7,268 | 0,057 | 0,033 | 756,8 | 756,1 | 757 | 756,63 | 0,47 | 0,27 |
| 7,209 | 7,153 | 6,873 | 7,078 | 0,180 | 0,104 | 727,3 | 727,5 | 727,5 | 727,43 | 0,11 | 0,07 |
| 6,918 | 6,862 | 6,717 | 6,832 | 0,104 | 0,059 | 694,3 | 694,4 | 694 | 694,23 | 0,22 | 0,12 |
| 6,549 | 6,628 | 6,549 | 6,575 | 0,045 | 0,026 | 665 | 665 | 665 | 665,1 | 0,17 | 0,1 |
| 6,37 | 6,505 | 6,214 | 6,363 | 0,146 | 0,084 | 636,8 | 636,3 | 636,5 | 636,53 | 0,25 | 0,14 |
| 6,192 | 6,359 | 6,091 | 6,214 | 0,135 | 0,078 | 607,3 | 602,6 | 602,6 | 604,17 | 2,71 | 1,57 |
| 5,968 | 5,935 | 6,013 | 5,972 | 0,039 | 0,023 | 574,3 | 574,3 | 574,1 | 574,23 | 0,11 | 0,07 |
| 6,08 | 5,89 | 5,7 | 5,89 | 0,19 | 0,109 | 545,2 | 544,9 | 545,1 | 545,07 | 0,15 | 0,09 |
| 5,678 | 5,845 | 5,521 | 5,681 | 0,162 | 0,093 | 516,5 | 516,5 | 516,5 | 516,5 | 0 | 0 |
| 5,476 | 5,51 | 5,353 | 5,446 | 0,083 | 0,048 | 482,9 | 482,7 | 482,6 | 482,73 | 0,15 | 0,09 |
| 5,163 | 5,298 | 5,152 | 5,204 | 0,081 | 0,047 | 453,9 | 453,9 | 453,8 | 453,87 | 0,06 | 0,03 |
| 4,951 | 5,085 | 4,973 | 5,003 | 0,072 | 0,042 | 424,9 | 425,3 | 425,2 | 425,13 | 0,21 | 0,12 |
| 4,839 | 5,018 | 4,739 | 4,865 | 0,141 | 0,082 | 396,4 | 396,8 | 396,3 | 396,5 | 0,26 | 0,15 |
| 4,627 | 4,649 | 4,538 | 4,605 | 0,059 | 0,034 | 362,8 | 363,1 | 362,8 | 362,9 | 0,17 | 0,1 |
| 4,482 | 4,403 | 4,348 | 4,411 | 0,067 | 0,039 | 334,3 | 334,1 | 334,1 | 334,17 | 0,11 | 0,07 |
| 4,091 | 4,225 | 4,079 | 4,132 | 0,081 | 0,047 | 305 | 305,3 | 305 | 305,1 | 0,17 | 0,1 |
| 3,923 | 3,934 | 3,867 | 3,908 | 0,035 | 0,021 | 272 | 271,7 | 271,8 | 271,83 | 0,15 | 0,09 |
| 3,711 | 3,733 | 3,655 | 3,699 | 0,040 | 0,023 | 242,9 | 242,4 | 242,6 | 242,63 | 0,25 | 0,14 |
| 3,632 | 3,453 | 3,331 | 3,472 | 0,151 | 0,087 | 214,4 | 214,4 | 214,3 | 214,23 | 0,21 | 0,12 |
| 3,129 | 3,263 | 3,096 | 3,163 | 0,088 | 0,051 | 185,1 | 185,1 | 185,3 | 185,17 | 0,11 | 0,07 |
| 2,895 | 2,895 | 2,895 | 2,895 | 0 | 0 | 151,9 | 151,9 | 151,5 | 151,77 | 0,23 | 0,13 |
| 2,783 | 2,738 | 2,705 | 2,742 | 0,039 | 0,022 | 122,6 | 122,6 | 122,7 | 122,63 | 0,06 | 0,03 |
| 2,392 | 2,459 | 2,325 | 2,392 | 0,067 | 0,039 | 94,26 | 94,12 | 93,98 | 94,12 | 0,14 | 0,08 |
| 2,09 | 2,079 | 1,9 | 2,023 | 0,107 | 0,062 | 63,75 | 64,06 | 64,08 | 63,96 | 0,18 | 0,11 |
| 1,755 | 1,755 | 1,598 | 1,703 | 0,091 | 0,052 | 34,64 | 34,57 | 34,8 | 34,67 | 0,12 | 0,07 |
| 1,106 | 1,039 | 0,995 | 1,047 | 0,056 | 0,032 | 0,99 | 1,07 | 1,09 | 1,05 | 0,05 | 0,03 |

Tabela A.2. Suco de laranja a 35 °Brix e temperatura de 80 °C, no reômetro de placas paralelas.

| τ_1 (Pa) | τ_2 (Pa) | τ_1 (Pa) | VM (Pa) | VM (Pa) | Desvio padrão | Erro padrão | VM (s ⁻¹) | VM (s ⁻¹) | Desvio padrão | Erro padrão |
|------------------|------------------|------------------|------------|------------|------------------|----------------|--------------------------|--------------------------|------------------|----------------|
| | | | | | | | | | | |
| 0,57 | 0,056 | 0,537 | 0,388 | 0,166 | 0,157 | 0,014 | 0,199 | 0,112 | 0,09 | 0,06 |
| 1,319 | 0,637 | 1,039 | 0,998 | 0,343 | 0,198 | 26,24 | 26,23 | 26,27 | 0,02 | 0,01 |
| 1,542 | 0,872 | 1,486 | 1,300 | 0,372 | 0,215 | 59,72 | 59,63 | 59,67 | 0,05 | 0,03 |
| 1,643 | 1,241 | 1,587 | 1,490 | 0,218 | 0,126 | 84,01 | 84,15 | 84,10 | 0,08 | 0,05 |
| 2,001 | 1,554 | 2,056 | 1,870 | 0,275 | 0,159 | 118,9 | 119,3 | 119,6 | 0,35 | 0,20 |
| 2,202 | 1,732 | 2,146 | 2,027 | 0,257 | 0,148 | 147,4 | 147,5 | 147,9 | 0,26 | 0,15 |
| 2,503 | 2,123 | 2,459 | 2,362 | 0,208 | 0,120 | 176,6 | 176,7 | 177,3 | 0,38 | 0,22 |
| 2,671 | 2,414 | 2,593 | 2,559 | 0,132 | 0,076 | 210,6 | 210,5 | 205,8 | 2,74 | 1,58 |
| 3,152 | 2,649 | 3,107 | 2,969 | 0,278 | 0,161 | 239,1 | 239,4 | 239,8 | 0,35 | 0,20 |
| 3,342 | 2,917 | 3,241 | 3,167 | 0,222 | 0,128 | 268,8 | 267,8 | 268,1 | 0,15 | 0,09 |
| 3,733 | 3,263 | 3,386 | 3,461 | 0,244 | 0,141 | 296,9 | 297,2 | 297,0 | 0,17 | 0,10 |
| 3,811 | 3,42 | 3,889 | 3,707 | 0,251 | 0,145 | 330,2 | 330,2 | 330,6 | 0,23 | 0,13 |
| 4,079 | 3,766 | 4,191 | 4,012 | 0,220 | 0,127 | 359,1 | 359,7 | 359,27 | 0,38 | 0,22 |
| 4,459 | 4,079 | 4,415 | 4,318 | 0,208 | 0,120 | 387,6 | 387,7 | 388,6 | 0,55 | 0,32 |
| 4,75 | 4,191 | 4,392 | 4,444 | 0,283 | 0,163 | 416,6 | 416,8 | 416,73 | 0,11 | 0,07 |
| 4,806 | 4,348 | 4,661 | 4,605 | 0,234 | 0,135 | 450,4 | 450,4 | 450,40 | 0,40 | 0,23 |
| 4,839 | 4,459 | 4,761 | 4,686 | 0,201 | 0,116 | 479,3 | 479,1 | 479,4 | 0,15 | 0,09 |
| 5,253 | 4,649 | 5,152 | 5,018 | 0,324 | 0,187 | 507,6 | 507,6 | 507,70 | 0,17 | 0,10 |
| 5,432 | 4,739 | 5,152 | 5,108 | 0,349 | 0,201 | 541,7 | 541,5 | 541,70 | 0,20 | 0,11 |
| 5,644 | 4,973 | 5,208 | 5,275 | 0,340 | 0,197 | 570,1 | 570 | 570,17 | 0,21 | 0,12 |
| 5,532 | 5,141 | 5,51 | 5,394 | 0,220 | 0,127 | 599,2 | 598,8 | 599,17 | 0,35 | 0,20 |
| 5,812 | 5,32 | 5,499 | 5,544 | 0,249 | 0,144 | 627,7 | 627,5 | 628,1 | 0,31 | 0,18 |
| 5,733 | 5,51 | 5,733 | 5,659 | 0,129 | 0,074 | 661,4 | 661,7 | 661,50 | 0,17 | 0,10 |
| 6,069 | 5,521 | 5,89 | 5,827 | 0,279 | 0,161 | 689,7 | 689,9 | 690,3 | 0,31 | 0,18 |
| 6,147 | 5,745 | 5,957 | 5,950 | 0,201 | 0,116 | 718,9 | 718,9 | 719,6 | 0,40 | 0,23 |
| 6,438 | 6,035 | 6,225 | 6,233 | 0,202 | 0,116 | 752,1 | 752,1 | 750,70 | 2,34 | 1,35 |
| 6,661 | 6,136 | 6,37 | 6,389 | 0,263 | 0,152 | 781,4 | 781,4 | 782 | 0,35 | 0,20 |
| 6,885 | 6,337 | 6,505 | 6,576 | 0,281 | 0,162 | 810,1 | 809,8 | 810,23 | 0,51 | 0,29 |
| 7,019 | 6,505 | 6,851 | 6,792 | 0,262 | 0,151 | 839 | 838,8 | 839,4 | 0,31 | 0,18 |
| 7,242 | 6,639 | 7,008 | 6,963 | 0,304 | 0,176 | 872,9 | 872,4 | 872,6 | 0,25 | 0,14 |

Tabela A.2. Continuação.

| τ_1 (Pa) | τ_2 (Pa) | VM (Pa) | VM (Pa) | Desvio padrão | Desvio padrão | VM (s^{-1}) | VM (s^{-1}) | Desvio padrão | Erro padrão |
|------------------|------------------|------------|------------|------------------|------------------|--------------------|--------------------|------------------|----------------|
| 7,388 | 6,762 | 6,862 | 7,004 | 0,336 | 0,194 | 873,7 | 873,7 | 0,17 | 0,10 |
| 7,119 | 6,628 | 6,818 | 6,855 | 0,248 | 0,143 | 847,2 | 847,5 | 0,30 | 0,17 |
| 7,03 | 6,393 | 6,683 | 6,702 | 0,319 | 0,184 | 814,1 | 813,9 | 0,15 | 0,09 |
| 6,784 | 6,281 | 6,493 | 6,519 | 0,253 | 0,146 | 785 | 785 | 0 | 0 |
| 6,784 | 6,203 | 6,516 | 6,501 | 0,291 | 0,168 | 756,5 | 756,4 | 0,26 | 0,15 |
| 6,784 | 6,125 | 6,337 | 6,415 | 0,336 | 0,194 | 727,5 | 727,6 | 0,06 | 0,03 |
| 6,594 | 5,834 | 6,348 | 6,259 | 0,388 | 0,224 | 694,2 | 694,3 | 0,15 | 0,09 |
| 6,348 | 5,879 | 6,024 | 6,084 | 0,240 | 0,139 | 665,1 | 665,1 | 0,06 | 0,03 |
| 6,37 | 5,532 | 6,069 | 5,990 | 0,425 | 0,245 | 636,6 | 636,5 | 0,06 | 0,03 |
| 6,058 | 5,488 | 5,644 | 5,730 | 0,295 | 0,170 | 602,3 | 602,6 | 0,21 | 0,12 |
| 5,957 | 5,376 | 5,722 | 5,685 | 0,292 | 0,169 | 574,1 | 574,1 | 0,06 | 0,03 |
| 6,069 | 5,219 | 5,309 | 5,532 | 0,467 | 0,270 | 544,8 | 545,2 | 0,21 | 0,12 |
| 5,834 | 5,197 | 5,365 | 5,465 | 0,330 | 0,191 | 516,5 | 516,7 | 0,25 | 0,14 |
| 5,879 | 4,895 | 5,264 | 5,346 | 0,497 | 0,287 | 482,7 | 482,6 | 0,06 | 0,03 |
| 5,577 | 4,75 | 5,085 | 5,137 | 0,416 | 0,240 | 453,9 | 454,2 | 0,30 | 0,17 |
| 5,197 | 4,661 | 4,929 | 4,929 | 0,268 | 0,155 | 425,3 | 425,2 | 0,15 | 0,09 |
| 5,242 | 4,482 | 4,661 | 4,795 | 0,397 | 0,229 | 396,7 | 396,4 | 0,21 | 0,12 |
| 4,906 | 4,281 | 4,426 | 4,538 | 0,327 | 0,189 | 362,7 | 362,7 | 0,06 | 0,03 |
| 4,772 | 4,269 | 4,549 | 4,530 | 0,252 | 0,146 | 334,3 | 334,2 | 0,100 | 0,058 |
| 4,739 | 3,99 | 4,202 | 4,310 | 0,386 | 0,223 | 305,4 | 305,3 | 0,208 | 0,120 |
| 4,526 | 3,755 | 4,079 | 4,120 | 0,387 | 0,224 | 271,8 | 271,8 | 2,42E-6 | 1,39E-6 |
| 4,281 | 3,588 | 3,811 | 3,893 | 0,354 | 0,204 | 242,5 | 242,8 | 0,17 | 0,10 |
| 4,113 | 3,219 | 3,565 | 3,632 | 0,451 | 0,260 | 214,2 | 214,2 | 0,06 | 0,03 |
| 3,744 | 3,174 | 3,319 | 3,412 | 0,296 | 0,171 | 185,3 | 185,3 | 0,11 | 0,07 |
| 3,565 | 2,772 | 3,129 | 3,155 | 0,397 | 0,229 | 151,6 | 151,5 | 0,06 | 0,03 |
| 3,163 | 2,682 | 2,861 | 2,902 | 0,243 | 0,140 | 122,6 | 122,9 | 0,17 | 0,10 |
| 2,738 | 2,325 | 2,626 | 2,563 | 0,214 | 0,123 | 94,12 | 94,12 | 8,46E-7 | 4,88E-7 |
| 2,403 | 1,866 | 2,336 | 2,202 | 0,293 | 0,169 | 64,02 | 63,85 | 0,16 | 0,09 |
| 2,056 | 1,576 | 1,855 | 1,829 | 0,241 | 0,139 | 34,87 | 34,84 | 0,01 | 0,01 |
| 1,587 | 0,984 | 1,531 | 1,367 | 0,333 | 0,192 | 1,111 | 1,096 | 1,025 | 0,03 |

Tabela A.3. Suco de laranja a 45 °Brix e temperatura de 60 °C, no redômetro de placas paralelas.

| τ_1 (Pa) | τ_2 (Pa) | τ_3 (Pa) | VM (Pa) | VM (Pa) | Desvio padrão | Erro padrão | γ_1 (s ⁻¹) | γ_2 (s ⁻¹) | γ_3 (s ⁻¹) | VM (s ⁻¹) | Desvio padrão | Ero padrão |
|------------------|------------------|------------------|------------|------------|------------------|----------------|----------------------------------|----------------------------------|----------------------------------|--------------------------|------------------|---------------|
| 0,257 | 0,469 | 0,559 | 0,428 | 0,155 | 0,089 | 0,199 | 0,1 | 0,057 | 0,119 | 0,07 | 0,04 | 0,04 |
| 1,978 | 2,101 | 2,123 | 2,067 | 0,078 | 0,045 | 26,73 | 26,16 | 26,2 | 26,36 | 0,32 | 0,18 | 0,18 |
| 2,839 | 3,051 | 3,006 | 2,965 | 0,112 | 0,064 | 55,4 | 59,69 | 58,26 | 2,48 | 1,43 | 0,13 | 0,13 |
| 3,487 | 3,789 | 3,733 | 3,669 | 0,160 | 0,093 | 84,3 | 84,01 | 83,87 | 84,06 | 0,22 | 0,17 | 0,17 |
| 4,336 | 4,605 | 4,515 | 4,485 | 0,137 | 0,079 | 119,3 | 119 | 119 | 119,1 | 0,17 | 0,1 | 0,1 |
| 4,951 | 5,208 | 5,163 | 5,107 | 0,137 | 0,079 | 148,4 | 147,8 | 147,4 | 147,87 | 0,50 | 0,29 | 0,29 |
| 5,543 | 5,946 | 5,923 | 5,804 | 0,226 | 0,133 | 177,1 | 176,7 | 176,7 | 176,83 | 0,23 | 0,13 | 0,13 |
| 6,248 | 6,493 | 6,572 | 6,438 | 0,169 | 0,097 | 205,9 | 210,5 | 210,5 | 208,97 | 2,66 | 1,53 | 1,53 |
| 6,996 | 6,974 | 7,231 | 7,067 | 0,142 | 0,082 | 239,5 | 239,1 | 239,1 | 239,23 | 0,23 | 0,13 | 0,13 |
| 7,376 | 7,645 | 7,79 | 7,604 | 0,210 | 0,121 | 268,1 | 267,6 | 267,6 | 267,77 | 0,29 | 0,17 | 0,17 |
| 8,181 | 8,338 | 8,427 | 8,315 | 0,124 | 0,072 | 297,2 | 297,2 | 296,7 | 297,03 | 0,29 | 0,17 | 0,17 |
| 8,65 | 9,053 | 9,019 | 8,907 | 0,223 | 0,129 | 330,5 | 330,1 | 330,1 | 330,23 | 0,23 | 0,13 | 0,13 |
| 9,075 | 9,5 | 9,578 | 9,384 | 0,271 | 0,156 | 359,5 | 359 | 359 | 359,2 | 0,26 | 0,15 | 0,15 |
| 9,589 | 9,947 | 10,22 | 9,9197 | 0,316 | 0,183 | 388,4 | 387,9 | 387,4 | 387,9 | 0,5 | 0,29 | 0,29 |
| 10,14 | 10,39 | 10,8 | 10,443 | 0,333 | 0,192 | 417,5 | 416,8 | 416,5 | 416,93 | 0,51 | 0,29 | 0,29 |
| 10,67 | 11,17 | 11,41 | 11,083 | 0,377 | 0,218 | 450,7 | 450,5 | 450,5 | 450,4 | 0,30 | 0,22 | 0,22 |
| 11,28 | 11,6 | 12,05 | 11,643 | 0,387 | 0,223 | 479,4 | 479 | 479 | 479,13 | 0,23 | 0,13 | 0,13 |
| 11,7 | 12,23 | 12,61 | 12,18 | 0,457 | 0,264 | 508,1 | 507,8 | 507,8 | 507,9 | 0,17 | 0,1 | 0,1 |
| 12,18 | 12,85 | 13,33 | 12,787 | 0,578 | 0,333 | 542,1 | 541,2 | 541,2 | 541,5 | 0,52 | 0,3 | 0,3 |
| 12,89 | 13,4 | 13,88 | 13,39 | 0,495 | 0,286 | 570,4 | 570 | 570 | 570,17 | 0,21 | 0,12 | 0,12 |
| 13,3 | 13,94 | 14,42 | 13,887 | 0,562 | 0,324 | 599,2 | 599 | 599 | 599,07 | 0,11 | 0,07 | 0,07 |
| 13,89 | 14,29 | 14,98 | 14,387 | 0,551 | 0,318 | 628,2 | 627,8 | 627,8 | 627,97 | 0,21 | 0,12 | 0,12 |
| 14,47 | 15,04 | 15,55 | 15,02 | 0,540 | 0,312 | 661,7 | 661,3 | 661,4 | 661,47 | 0,21 | 0,12 | 0,12 |
| 14,74 | 15,41 | 15,98 | 15,377 | 0,622 | 0,358 | 690 | 690 | 689,9 | 689,97 | 0,06 | 0,03 | 0,03 |
| 15,2 | 15,81 | 16,21 | 15,74 | 0,509 | 0,294 | 719,5 | 719,2 | 719,2 | 719,3 | 0,17 | 0,1 | 0,1 |
| 15,56 | 16,33 | 16,6 | 16,163 | 0,539 | 0,312 | 748,4 | 752,4 | 752,4 | 751,27 | 2,50 | 1,44 | 1,44 |
| 16,08 | 16,64 | 17 | 16,573 | 0,464 | 0,268 | 782,3 | 781,3 | 781,3 | 781,63 | 0,58 | 0,33 | 0,33 |
| 16,44 | 17,04 | 17,1 | 16,86 | 0,365 | 0,211 | 810,4 | 810,2 | 809,9 | 810,17 | 0,25 | 0,14 | 0,14 |
| 16,59 | 17,33 | 17,27 | 17,063 | 0,411 | 0,237 | 839,7 | 839,1 | 839,3 | 839,37 | 0,30 | 0,18 | 0,18 |
| 16,97 | 17,61 | 17,56 | 17,398 | 0,356 | 0,205 | 872,6 | 872,4 | 872,4 | 872,47 | 0,11 | 0,07 | 0,07 |
| 16,94 | 17,65 | 17,54 | 17,377 | 0,382 | 0,221 | 873,6 | 873,9 | 873,9 | 873,7 | 0,17 | 0,1 | 0,1 |

Tabela A.3. Continuação.

| τ_1 (Pa) | τ_2 (Pa) | τ_3 (Pa) | VM (Pa) | VM (Pa) | γ_1 (s ⁻¹) | γ_2 (s ⁻¹) | γ_3 (s ⁻¹) | VM (s ⁻¹) | Desvio padrão | Erro padrão |
|------------------|------------------|------------------|------------|------------|----------------------------------|----------------------------------|----------------------------------|--------------------------|------------------|----------------|
| 16,47 | 17,09 | 17,98 | 16,88 | 0,355 | 0,205 | 847,5 | 847,4 | 847,47 | 0,07 | 0,03 |
| 15,84 | 16,47 | 16,6 | 16,303 | 0,406 | 0,235 | 814,2 | 814,2 | 813,5 | 0,40 | 0,23 |
| 15,47 | 15,87 | 16,43 | 15,923 | 0,4822 | 0,278 | 785 | 785,3 | 784,9 | 0,21 | 0,12 |
| 15 | 15,49 | 15,97 | 15,487 | 0,485 | 0,280 | 757 | 756,7 | 756,8 | 0,17 | 0,1 |
| 14,74 | 15,07 | 15,52 | 15,11 | 0,391 | 0,226 | 727,2 | 727,6 | 727,37 | 0,21 | 0,12 |
| 14,28 | 14,62 | 14,86 | 14,587 | 0,291 | 0,168 | 694,2 | 694,6 | 693,7 | 0,451 | 0,26 |
| 13,85 | 14,25 | 14,6 | 14,233 | 0,375 | 0,217 | 665,1 | 665,1 | 665,17 | 0,11 | 0,07 |
| 13,55 | 13,88 | 14,07 | 13,833 | 0,263 | 0,152 | 636,3 | 636,3 | 636,27 | 0,06 | 0,03 |
| 13,07 | 13,66 | 13,56 | 13,43 | 0,316 | 0,182 | 603,2 | 602,7 | 602,93 | 0,25 | 0,14 |
| 12,53 | 12,92 | 13,18 | 12,877 | 0,327 | 0,189 | 574,1 | 574,3 | 574,13 | 0,15 | 0,09 |
| 12,33 | 12,65 | 12,5 | 12,493 | 0,160 | 0,092 | 545,4 | 544,8 | 545,1 | 0,3 | 0,17 |
| 11,8 | 12,28 | 12,17 | 12,083 | 0,251 | 0,145 | 516,3 | 516,3 | 516,27 | 0,06 | 0,03 |
| 11,29 | 11,7 | 11,65 | 11,547 | 0,224 | 0,129 | 482,9 | 482,6 | 482,7 | 0,15 | 0,09 |
| 10,96 | 11,31 | 11,31 | 11,193 | 0,202 | 0,117 | 454,7 | 453,9 | 453,9 | 0,46 | 0,27 |
| 10,42 | 10,79 | 10,8 | 10,67 | 0,216 | 0,125 | 425,3 | 425,3 | 425,2 | 0,17 | 0,1 |
| 9,88 | 10,42 | 10,36 | 10,22 | 0,296 | 0,171 | 396,4 | 396,4 | 396,5 | 0,17 | 0,1 |
| 9,489 | 9,846 | 9,6 | 9,645 | 0,183 | 0,105 | 362,8 | 362,8 | 362,87 | 0,11 | 0,07 |
| 9,03 | 9,332 | 9,287 | 9,216 | 0,163 | 0,094 | 334,2 | 334,2 | 334,2 | 1,8E-6 | 1,0E-6 |
| 8,427 | 8,829 | 8,941 | 8,732 | 0,270 | 0,156 | 305,4 | 305,1 | 305,37 | 0,25 | 0,14 |
| 7,812 | 8,393 | 8,226 | 8,144 | 0,299 | 0,173 | 271,7 | 271,8 | 271,83 | 0,15 | 0,09 |
| 7,298 | 7,801 | 7,678 | 7,592 | 0,262 | 0,151 | 242,6 | 242,9 | 242,6 | 0,17 | 0,1 |
| 6,773 | 7,198 | 7,075 | 7,015 | 0,219 | 0,126 | 214,3 | 214 | 214,23 | 0,21 | 0,12 |
| 6,125 | 6,482 | 6,605 | 6,404 | 0,249 | 0,144 | 185,1 | 185 | 185,03 | 0,06 | 0,03 |
| 5,51 | 5,845 | 5,856 | 5,737 | 0,196 | 0,113 | 151,9 | 151,9 | 151,9 | 0 | 0 |
| 4,683 | 5,074 | 5,04 | 4,932 | 0,216 | 0,125 | 122,9 | 122,7 | 122,77 | 0,11 | 0,07 |
| 3,956 | 4,325 | 4,247 | 4,176 | 0,194 | 0,112 | 93,84 | 93,98 | 93,98 | 0,14 | 0,08 |
| 3,219 | 3,498 | 3,498 | 3,405 | 0,161 | 0,093 | 64,13 | 64,19 | 64,16 | 0,03 | 0,02 |
| 2,291 | 2,548 | 2,481 | 2,44 | 0,133 | 0,077 | 34,86 | 34,73 | 34,76 | 0,08 | 0,05 |
| 0,794 | 0,961 | 1,028 | 0,928 | 0,120 | 0,069 | 1,011 | 1,025 | 1,068 | 1,03 | 0,02 |

Tabela A.4 Suco de laranja a 45 °Brix e temperatura de 80 °C, no reómetro de placas paralelas.

| τ_1 (Pa) | τ_2 (Pa) | τ_3 (Pa) | VM (Pa) | Desvio padrão | Erro padrão | $\dot{\gamma}_1$ (s ⁻¹) | $\dot{\gamma}_2$ (s ⁻¹) | VM (s ⁻¹) | Desvio padrão | Erro padrão |
|------------------|------------------|------------------|------------|------------------|----------------|--|--|--------------------------|------------------|----------------|
| 0,447 | 0,179 | 0,045 | 0,224 | 0,204 | 0,118 | 0,085 | 0,157 | 0 | 0,08 | 0,04 |
| 1,609 | 1,878 | 1,375 | 1,621 | 0,252 | 0,145 | 26,23 | 26,23 | 26,24 | 0,02 | 0,01 |
| 2,403 | 2,325 | 2,001 | 2,243 | 0,213 | 0,123 | 59,92 | 59,7 | 59,78 | 0,12 | 0,07 |
| 2,984 | 2,973 | 2,649 | 2,869 | 0,190 | 0,109 | 83,73 | 84,15 | 83,87 | 0,24 | 0,14 |
| 3,476 | 3,576 | 3,364 | 3,472 | 0,106 | 0,061 | 118,9 | 119,2 | 119 | 0,17 | 0,1 |
| 4,169 | 4,18 | 3,867 | 4,072 | 0,178 | 0,102 | 147,7 | 147,5 | 147,57 | 0,11 | 0,07 |
| 4,75 | 4,795 | 4,381 | 4,642 | 0,227 | 0,131 | 176,7 | 176,7 | 176,67 | 0,06 | 0,03 |
| 5,309 | 5,499 | 5,119 | 5,309 | 0,19 | 0,109 | 210,3 | 210,5 | 210,6 | 0,15 | 0,09 |
| 5,789 | 6,225 | 5,588 | 5,867 | 0,326 | 0,188 | 239,2 | 239,1 | 239,4 | 0,15 | 0,09 |
| 6,192 | 6,762 | 6,281 | 6,412 | 0,307 | 0,177 | 267,8 | 267,7 | 267,83 | 0,15 | 0,09 |
| 6,818 | 6,985 | 6,628 | 6,810 | 0,179 | 0,103 | 297,2 | 296,6 | 296,8 | 0,35 | 0,2 |
| 7,287 | 7,846 | 7,164 | 7,432 | 0,363 | 0,209 | 330,1 | 330,2 | 329,9 | 0,15 | 0,09 |
| 7,913 | 8,248 | 7,823 | 7,995 | 0,224 | 0,129 | 359,1 | 359 | 359,13 | 0,15 | 0,09 |
| 8,326 | 8,885 | 8,248 | 8,486 | 0,347 | 0,201 | 387,6 | 387,7 | 387,63 | 0,06 | 0,03 |
| 9,053 | 9,142 | 9,232 | 9,142 | 0,089 | 0,052 | 416,6 | 416,6 | 416,8 | 0,17 | 0,1 |
| 9,254 | 9,869 | 9,287 | 9,47 | 0,346 | 0,199 | 450 | 450 | 450 | 0 | 0 |
| 9,846 | 10,32 | 10,07 | 10,079 | 0,237 | 0,137 | 479,1 | 479,1 | 479,1 | 0 | 0 |
| 10,79 | 11,01 | 10,92 | 10,907 | 0,111 | 0,064 | 507,6 | 507,6 | 507,6 | 0 | 0 |
| 10,57 | 11,25 | 10,79 | 10,87 | 0,347 | 0,200 | 541,5 | 540,9 | 541,5 | 0,35 | 0,2 |
| 10,94 | 11,31 | 11,4 | 11,217 | 0,244 | 0,141 | 570,1 | 570,1 | 570,17 | 0,11 | 0,07 |
| 11,2 | 11,99 | 11,66 | 11,617 | 0,397 | 0,229 | 599,6 | 598,9 | 599,17 | 0,38 | 0,22 |
| 11,74 | 12,53 | 11,97 | 12,08 | 0,406 | 0,235 | 627,5 | 627,8 | 627,6 | 0,17 | 0,1 |
| 12,16 | 12,69 | 12,35 | 12,4 | 0,268 | 0,155 | 661,6 | 661,3 | 661,5 | 0,17 | 0,1 |
| 12,25 | 12,82 | 12,72 | 12,597 | 0,304 | 0,176 | 690 | 690,5 | 689,9 | 0,32 | 0,18 |
| 12,45 | 12,77 | 12,82 | 12,68 | 0,201 | 0,116 | 719,1 | 718,9 | 718,8 | 0,15 | 0,09 |
| 12,7 | 13,27 | 12,76 | 12,933 | 0,292 | 0,168 | 751,8 | 752,1 | 752,1 | 0,3 | 0,17 |
| 12,8 | 13,32 | 12,99 | 13,037 | 0,263 | 0,152 | 781,7 | 781,4 | 781,6 | 0,17 | 0,1 |
| 13,11 | 13,59 | 13,13 | 13,277 | 0,271 | 0,157 | 809,9 | 809,8 | 809,87 | 0,06 | 0,03 |
| 13,3 | 13,72 | 13,37 | 13,463 | 0,225 | 0,129 | 839,4 | 839 | 839,13 | 0,23 | 0,13 |

Tabela A.4. Continuação.

| τ_1 (Pa) | τ_2 (Pa) | τ_3 (Pa) | VM (Pa) | VM (Pa) | Desvio padrão | Erro padrão | Desvio padrão | VM (s ⁻¹) | VM (s ⁻¹) | Desvio padrão | Erro padrão |
|------------------|------------------|------------------|------------|------------|------------------|----------------|------------------|----------------------------------|----------------------------------|------------------|----------------|
| | | | | | | | | γ_1 (s ⁻¹) | γ_2 (s ⁻¹) | | |
| | | | | | | | | | γ_3 (s ⁻¹) | | |
| 13,66 | 14,07 | 13,57 | 13,767 | 0,266 | 0,154 | 872,4 | 872,3 | 872,43 | 0,15 | 0,09 | |
| 13,69 | 13,99 | 13,59 | 13,757 | 0,208 | 0,120 | 873,6 | 873,7 | 873,63 | 0,06 | 0,03 | |
| 13,28 | 13,61 | 13,12 | 13,337 | 0,249 | 0,144 | 847,2 | 847,5 | 847,37 | 0,15 | 0,09 | |
| 12,85 | 13,1 | 12,85 | 12,933 | 0,144 | 0,083 | 814,3 | 813,9 | 814,1 | 0,2 | 0,11 | |
| 12,74 | 12,94 | 12,55 | 12,743 | 0,195 | 0,113 | 785 | 785,4 | 784,9 | 0,26 | 0,15 | |
| 12,28 | 12,8 | 12,27 | 12,45 | 0,303 | 0,175 | 756,7 | 756,5 | 756,1 | 0,30 | 0,18 | |
| 12,27 | 12,42 | 12,07 | 12,253 | 0,176 | 0,101 | 727,5 | 727,6 | 727,5 | 0,06 | 0,03 | |
| 12,06 | 12,22 | 11,78 | 12,02 | 0,223 | 0,128 | 693,9 | 693,9 | 693,7 | 0,11 | 0,07 | |
| 11,52 | 12,15 | 11,48 | 11,717 | 0,376 | 0,217 | 664,8 | 665,1 | 665,1 | 0,17 | 0,1 | |
| 11,32 | 11,58 | 11,24 | 11,38 | 0,178 | 0,102 | 636,6 | 636,2 | 636,3 | 0,28 | 0,12 | |
| 10,94 | 11,05 | 10,91 | 10,967 | 0,074 | 0,042 | 602,9 | 602,6 | 602,7 | 0,15 | 0,09 | |
| 10,8 | 10,95 | 10,68 | 10,81 | 0,135 | 0,078 | 574 | 574 | 574,1 | 0,06 | 0,03 | |
| 10,17 | 10,63 | 10,52 | 10,44 | 0,240 | 0,139 | 544,9 | 544,9 | 545,2 | 0,17 | 0,1 | |
| 10,14 | 10,26 | 10,16 | 10,187 | 0,064 | 0,037 | 516,5 | 516,5 | 516,5 | 0 | 0 | |
| 9,813 | 9,992 | 9,846 | 9,884 | 0,095 | 0,055 | 482,6 | 482,4 | 482,67 | 0,30 | 0,18 | |
| 9,444 | 9,578 | 9,5 | 9,507 | 0,067 | 0,039 | 453,7 | 453,7 | 454,4 | 0,36 | 0,21 | |
| 8,952 | 9,477 | 9,019 | 9,149 | 0,286 | 0,165 | 425,3 | 425,2 | 425,23 | 0,06 | 0,03 | |
| 8,907 | 8,975 | 8,852 | 8,911 | 0,062 | 0,036 | 396,4 | 396,7 | 396,4 | 0,17 | 0,1 | |
| 8,36 | 8,628 | 8,416 | 8,468 | 0,141 | 0,082 | 362,7 | 362,5 | 362,7 | 0,11 | 0,07 | |
| 8,215 | 8,527 | 8,17 | 8,304 | 0,194 | 0,112 | 334,1 | 333,9 | 334,3 | 0,2 | 0,11 | |
| 7,712 | 8,092 | 7,734 | 7,846 | 0,213 | 0,123 | 305,6 | 305,6 | 304,9 | 0,40 | 0,23 | |
| 7,276 | 7,41 | 7,332 | 7,339 | 0,067 | 0,039 | 271,7 | 271,7 | 271,8 | 0,06 | 0,03 | |
| 6,717 | 7,019 | 6,84 | 6,859 | 0,152 | 0,088 | 242,6 | 242,6 | 242,6 | 0,11 | 0,07 | |
| 6,359 | 6,493 | 6,538 | 6,463 | 0,093 | 0,054 | 214 | 214,2 | 214,3 | 0,15 | 0,09 | |
| 5,823 | 6,281 | 5,733 | 5,946 | 0,294 | 0,169 | 185,3 | 185,1 | 185,3 | 0,11 | 0,07 | |
| 5,197 | 5,298 | 5,074 | 5,189 | 0,112 | 0,065 | 152,1 | 151,8 | 151,9 | 0,15 | 0,09 | |
| 4,705 | 4,895 | 4,649 | 4,749 | 0,129 | 0,074 | 122,9 | 122,7 | 122,7 | 0,11 | 0,07 | |
| 4,113 | 4,325 | 4,001 | 4,146 | 0,164 | 0,095 | 94,26 | 93,84 | 94,26 | 0,24 | 0,14 | |
| 3,174 | 3,275 | 3,096 | 3,182 | 0,089 | 0,052 | 63,73 | 64,18 | 64,05 | 0,27 | 0,16 | |
| 2,358 | 2,492 | 2,28 | 2,377 | 0,107 | 0,062 | 34,74 | 34,76 | 34,76 | 0,02 | 0,01 | |
| 1,062 | 0,939 | 0,917 | 0,973 | 0,078 | 0,045 | 1,096 | 1,125 | 1,14 | 0,06 | 0,03 | |

Tabela A.5 Suco de laranja a 55 °Brix e temperatura de 50 °C, no reômetro de placas paralelas.

| τ_1 (Pa) | τ_2 (Pa) | τ_3 (Pa) | VM (Pa) | Desvio padrão | Erro padrão | γ_1 (s ⁻¹) | γ_2 (s ⁻¹) | γ_3 (s ⁻¹) | VM (s ⁻¹) | Desvio padrão | Erro padrão |
|------------------|------------------|------------------|------------|------------------|----------------|----------------------------------|----------------------------------|----------------------------------|--------------------------|------------------|----------------|
| 0,469 | 0,659 | 0,391 | 0,450 | 0,160 | 0,080 | 0 | 0 | 0 | 0 | 0 | 0 |
| 9,891 | 10,25 | 9,969 | 9,928 | 0,267 | 0,134 | 26,27 | 26,19 | 26,27 | 26,23 | 0,04 | 0,02 |
| 15,77 | 16,13 | 15,84 | 15,835 | 0,221 | 0,110 | 59,88 | 59,83 | 59,87 | 59,87 | 0,02 | 0,01 |
| 19,26 | 19,77 | 19,45 | 19,440 | 0,236 | 0,118 | 83,73 | 83,87 | 84,01 | 83,94 | 0,18 | 0,09 |
| 23,67 | 24,12 | 24,04 | 23,920 | 0,201 | 0,101 | 119 | 119 | 119,2 | 119,10 | 0,11 | 0,06 |
| 27,06 | 27,44 | 27,4 | 27,223 | 0,230 | 0,115 | 147,7 | 147,8 | 147,9 | 147,73 | 0,17 | 0,08 |
| 30,34 | 30,98 | 31,16 | 30,773 | 0,368 | 0,184 | 176,7 | 176,6 | 176,7 | 176,68 | 0,05 | 0,02 |
| 33,86 | 34,18 | 34,45 | 34,083 | 0,290 | 0,145 | 210,6 | 210,3 | 210,3 | 210,50 | 0,14 | 0,07 |
| 36,19 | 37,04 | 37,47 | 36,897 | 0,532 | 0,266 | 238,9 | 239,1 | 239,1 | 239,08 | 0,13 | 0,06 |
| 38,88 | 39,51 | 40,17 | 39,545 | 0,529 | 0,265 | 267,7 | 267,7 | 267,8 | 267,70 | 0,08 | 0,04 |
| 41,61 | 42,55 | 43,3 | 42,530 | 0,697 | 0,348 | 297 | 296,7 | 296,9 | 296,88 | 0,13 | 0,06 |
| 45,04 | 45,63 | 46,46 | 45,653 | 0,594 | 0,297 | 330,1 | 330,2 | 330,1 | 330,08 | 0,13 | 0,06 |
| 47,25 | 48,04 | 49,22 | 48,258 | 0,828 | 0,414 | 359,1 | 359,3 | 359,1 | 359,15 | 0,10 | 0,05 |
| 50,34 | 51,58 | 52,9 | 51,570 | 1,048 | 0,524 | 387,7 | 387,7 | 387,7 | 387,75 | 0,10 | 0,05 |
| 53,21 | 54,12 | 55,51 | 54,290 | 0,946 | 0,473 | 416,8 | 416,8 | 416,8 | 416,93 | 0,13 | 0,06 |
| 55,84 | 56,91 | 58,4 | 57,358 | 1,217 | 0,608 | 450,1 | 450,1 | 450 | 450,03 | 0,05 | 0,02 |
| 57,87 | 60,03 | 61,28 | 60,118 | 1,611 | 0,805 | 479,1 | 479,1 | 479,1 | 479,05 | 0,06 | 0,03 |
| 61,48 | 63,2 | 64,48 | 63,138 | 1,241 | 0,620 | 507,6 | 507,6 | 507,6 | 507,65 | 0,10 | 0,05 |
| 64,33 | 66,05 | 66,83 | 65,900 | 1,094 | 0,547 | 541,7 | 539,8 | 541,1 | 539,58 | 2,70 | 1,35 |
| 65,94 | 68,62 | 69,63 | 68,650 | 1,950 | 0,975 | 569,7 | 569,1 | 569,6 | 569,93 | 0,95 | 0,48 |
| 69,07 | 72,87 | 72,98 | 72,170 | 2,104 | 1,052 | 598,6 | 598,2 | 598,6 | 598,93 | 0,94 | 0,47 |
| 73,88 | 77,34 | 76,78 | 76,000 | 1,516 | 0,758 | 632,5 | 631,9 | 632,5 | 631,45 | 1,72 | 0,86 |
| 77,23 | 80,13 | 80,47 | 79,770 | 1,757 | 0,879 | 661 | 660,6 | 661 | 660,08 | 1,59 | 0,79 |
| 80,25 | 82,82 | 83,04 | 82,175 | 1,296 | 0,648 | 689,6 | 689,3 | 689,7 | 689,97 | 0,90 | 0,45 |
| 82,93 | 83,93 | 84,72 | 83,850 | 0,733 | 0,366 | 718,5 | 718,2 | 718,9 | 719,03 | 1,02 | 0,51 |
| 85,39 | 86,5 | 89,19 | 86,757 | 1,684 | 0,842 | 752 | 752 | 752 | 751,25 | 1,50 | 0,75 |
| 88,96 | 90,42 | 90,86 | 90,303 | 0,926 | 0,463 | 781,2 | 780,6 | 781 | 781,38 | 0,92 | 0,46 |
| 91,53 | 92,99 | 93,66 | 92,848 | 0,922 | 0,461 | 809,8 | 809,2 | 809,6 | 809,98 | 0,92 | 0,46 |
| 92,76 | 94,89 | 96 | 94,523 | 1,346 | 0,673 | 838,5 | 843,1 | 838,5 | 840,05 | 2,17 | 1,08 |
| 95 | 98,35 | 99,58 | 97,570 | 1,941 | 0,970 | 871,9 | 871,7 | 872,1 | 871,25 | 1,31 | 0,65 |

Tabela A.5. Continuação.

| τ_1 (Pa) | τ_2 (Pa) | τ_3 (Pa) | VM (Pa) | Desvio padrão | Erro padrão | γ_1 (s ⁻¹) | γ_2 (s ⁻¹) | γ_3 (s ⁻¹) | VM (s ⁻¹) | Desvio padrão | Erro padrão |
|------------------|------------------|------------------|------------|------------------|----------------|----------------------------------|----------------------------------|----------------------------------|--------------------------|------------------|----------------|
| 95,78 | 98,8 | 99,92 | 98,073 | 1,759 | 0,879 | 873,6 | 873,7 | 873,6 | 873,63 | 0,05 | 0,02 |
| 93,99 | 96,9 | 97,35 | 95,977 | 1,503 | 0,752 | 847,4 | 847,4 | 847,5 | 847,43 | 0,05 | 0,02 |
| 90,86 | 93,88 | 93,99 | 92,818 | 1,462 | 0,731 | 814,1 | 814,2 | 814,2 | 814,15 | 0,06 | 0,03 |
| 90,08 | 92,43 | 93,77 | 91,952 | 1,551 | 0,775 | 785,3 | 785,3 | 785,3 | 785,15 | 0,17 | 0,09 |
| 88,18 | 89,41 | 92,2 | 89,855 | 1,689 | 0,844 | 756,4 | 756,5 | 756,4 | 756,43 | 0,05 | 0,02 |
| 84,83 | 88,07 | 90,97 | 87,678 | 2,569 | 1,285 | 727,6 | 727,5 | 727,5 | 727,47 | 0,13 | 0,06 |
| 86,28 | 87,29 | 87,73 | 86,783 | 0,878 | 0,439 | 694,2 | 694,2 | 694,2 | 694,15 | 0,10 | 0,05 |
| 83,15 | 83,93 | 85,16 | 83,793 | 1,008 | 0,504 | 665,1 | 665,1 | 665,1 | 665,10 | 0 | 0 |
| 80,47 | 81,81 | 81,81 | 81,335 | 0,634 | 0,317 | 636,5 | 636,5 | 636,5 | 636,53 | 0,05 | 0,02 |
| 79,69 | 78,57 | 79,46 | 79,295 | 0,495 | 0,248 | 602,9 | 602,9 | 602,9 | 602,5 | 0,19 | 0,09 |
| 74,66 | 78,23 | 79,35 | 77,590 | 2,031 | 1,015 | 574,1 | 574,1 | 574,1 | 574,08 | 0,05 | 0,02 |
| 71,19 | 73,76 | 78,12 | 74,375 | 2,861 | 1,430 | 544,9 | 545,1 | 545,1 | 545,05 | 0,10 | 0,05 |
| 69,63 | 72,65 | 73,88 | 72,173 | 1,801 | 0,901 | 516,3 | 516,5 | 516,5 | 516,35 | 0,10 | 0,05 |
| 68,85 | 67,62 | 69,4 | 68,875 | 0,898 | 0,449 | 482,9 | 482,9 | 482,9 | 482,80 | 0,11 | 0,06 |
| 66,16 | 67,84 | 68,85 | 67,253 | 1,327 | 0,664 | 454,1 | 454,1 | 454,1 | 454,00 | 0,11 | 0,06 |
| 63,31 | 65,6 | 65,49 | 65,253 | 1,390 | 0,695 | 423,9 | 423,9 | 423,9 | 424,83 | 0,62 | 0,31 |
| 61,91 | 61,58 | 63,32 | 62,435 | 0,824 | 0,412 | 394,4 | 394,4 | 394,4 | 394,15 | 1,29 | 0,65 |
| 57,62 | 60,27 | 59,71 | 59,290 | 1,154 | 0,577 | 365,7 | 365,7 | 365,7 | 364,1 | 1,50 | 0,75 |
| 54,46 | 55,8 | 56,9 | 56,028 | 1,172 | 0,586 | 332,2 | 334,8 | 334,8 | 335,6 | 1,59 | 0,79 |
| 49,73 | 52,64 | 53,2 | 52,358 | 1,821 | 0,911 | 303,6 | 305,7 | 305,7 | 303,85 | 1,67 | 0,84 |
| 47,97 | 48,76 | 50,3 | 49,393 | 1,233 | 0,617 | 274,4 | 274,4 | 274,4 | 272,8 | 1,39 | 0,69 |
| 43,9 | 45,62 | 46,04 | 45,400 | 1,019 | 0,510 | 245,9 | 245,9 | 245,9 | 244,1 | 243,70 | 1,83 |
| 39,68 | 43,16 | 42,68 | 42,358 | 1,855 | 0,928 | 212,2 | 214,7 | 214,7 | 215,6 | 1,57 | 0,79 |
| 36,19 | 39,99 | 38,07 | 38,355 | 1,644 | 0,822 | 183,4 | 183,4 | 183,4 | 183,80 | 1,63 | 0,82 |
| 33 | 33,81 | 33,53 | 33,813 | 0,805 | 0,403 | 154,5 | 154,5 | 154,5 | 153,2 | 1,26 | 0,63 |
| 26,98 | 29,82 | 30,25 | 29,120 | 1,465 | 0,733 | 121 | 121 | 121 | 124,2 | 1,49 | 0,74 |
| 22,8 | 25,11 | 25,01 | 24,200 | 1,087 | 0,544 | 92,13 | 92,13 | 92,13 | 95,54 | 1,58 | 0,79 |
| 17,36 | 18,87 | 19,02 | 18,378 | 0,754 | 0,377 | 61,9 | 64,43 | 64,43 | 63,45 | 1,37 | 0,69 |
| 11,29 | 13,1 | 12,15 | 12,153 | 0,741 | 0,371 | 32,96 | 32,96 | 32,96 | 33,29 | 1,94 | 0,97 |
| 3,386 | 2,816 | 2,783 | 3,163 | 0,435 | 0,217 | 3,745 | 3,745 | 3,745 | 2,093 | 1,37 | 0,68 |

Tabela A.6. Suco de laranja a 55 °Brix e temperatura de 60 °C, no réômetro de placas paralelas.

| τ_1 (Pa) | τ_2 (Pa) | τ_3 (Pa) | VN (Pa) | Desvio padrão | γ_1 (s ⁻¹) | γ_2 (s ⁻¹) | VM (s ⁻¹) | Desvio padrão | Erro padrão |
|------------------|------------------|------------------|------------|------------------|----------------------------------|----------------------------------|--------------------------|------------------|----------------|
| 0,324 | 0,38 | 0,291 | 0,352 | 0,026 | 0,043 | 0,085 | 0,157 | 0,09 | 0,06 |
| 5,365 | 5,51 | 5,465 | 5,447 | 0,074 | 0,043 | 26,13 | 26,29 | 26,19 | 0,05 |
| 8,27 | 8,349 | 8,405 | 8,341 | 0,068 | 0,039 | 60,03 | 59,65 | 59,89 | 0,12 |
| 10,13 | 10,11 | 10,14 | 10,127 | 0,015 | 0,009 | 84,3 | 84,15 | 84,25 | 0,05 |
| 12,45 | 12,37 | 12,47 | 12,43 | 0,053 | 0,030 | 119,2 | 118,9 | 119,2 | 0,1 |
| 14,19 | 14,18 | 14,27 | 14,213 | 0,049 | 0,028 | 147,9 | 147,5 | 147,63 | 0,13 |
| 15,95 | 15,74 | 15,89 | 15,86 | 0,108 | 0,062 | 176,6 | 176,7 | 176,73 | 0,09 |
| 17,8 | 17,84 | 17,93 | 17,857 | 0,067 | 0,038 | 210,3 | 210,2 | 210,33 | 0,09 |
| 19,35 | 19,16 | 19,23 | 19,247 | 0,096 | 0,055 | 239,1 | 238,9 | 239,13 | 0,25 |
| 20,81 | 20,8 | 20,87 | 20,827 | 0,038 | 0,022 | 267,4 | 268 | 267,7 | 0,3 |
| 22,3 | 22,01 | 22,32 | 22,21 | 0,173 | 0,100 | 296,5 | 297,3 | 296,77 | 0,27 |
| 23,91 | 24 | 24,08 | 23,997 | 0,085 | 0,049 | 329,8 | 330,1 | 330,1 | 0,17 |
| 25,4 | 25,18 | 25,39 | 25,323 | 0,124 | 0,072 | 359 | 359,1 | 359,07 | 0,03 |
| 26,93 | 26,78 | 26,9 | 26,87 | 0,079 | 0,046 | 387,4 | 387,9 | 387,6 | 0,14 |
| 28,26 | 28,1 | 28,21 | 28,19 | 0,082 | 0,047 | 416,9 | 416,8 | 416,77 | 0,09 |
| 29,85 | 29,75 | 29,92 | 29,84 | 0,085 | 0,049 | 450,4 | 449,7 | 450,07 | 0,20 |
| 31,27 | 31,39 | 30,99 | 31,217 | 0,205 | 0,118 | 479,1 | 479,1 | 479,1 | 0 |
| 32,84 | 32,42 | 32,57 | 32,61 | 0,213 | 0,123 | 507,6 | 507,5 | 507,57 | 0,03 |
| 34,57 | 34,37 | 34,11 | 34,35 | 0,231 | 0,133 | 541,8 | 541,7 | 541,57 | 0,19 |
| 36,37 | 35,93 | 35,66 | 35,987 | 0,358 | 0,207 | 569,9 | 570 | 570 | 0,06 |
| 37,26 | 37,17 | 36,95 | 37,127 | 0,159 | 0,092 | 599,5 | 599,2 | 599,3 | 0,1 |
| 39,01 | 39,16 | 38,65 | 38,94 | 0,262 | 0,151 | 627,5 | 627,7 | 627,67 | 0,09 |
| 40,97 | 40,67 | 40,36 | 40,667 | 0,305 | 0,176 | 661,3 | 661,6 | 661,4 | 0,17 |
| 42,18 | 42,69 | 41,41 | 42,093 | 0,644 | 0,372 | 689,7 | 690,3 | 689,9 | 0,2 |
| 44,68 | 44,26 | 44,2 | 44,38 | 0,261 | 0,151 | 719,2 | 719,2 | 719,17 | 0,06 |
| 47,13 | 46,55 | 46,75 | 46,81 | 0,294 | 0,170 | 752,3 | 752,8 | 752,53 | 0,14 |
| 47,49 | 47,43 | 48,09 | 47,67 | 0,365 | 0,211 | 781,7 | 781,4 | 781,43 | 0,14 |
| 45,81 | 45,87 | 49,39 | 47,023 | 2,049 | 1,183 | 810,4 | 810,1 | 810,2 | 0,17 |
| 43,83 | 43,95 | 49,15 | 45,643 | 3,037 | 1,754 | 839,4 | 839,3 | 839,23 | 0,21 |
| 43,7 | 44,15 | 45,73 | 44,527 | 1,066 | 0,615 | 872,4 | 872,3 | 872,33 | 0,03 |
| 43,7 | 44,05 | 45,45 | 44,4 | 0,926 | 0,535 | 873,6 | 873,3 | 873,5 | 0,17 |
| 42,85 | 43,19 | 43,34 | 43,127 | 0,251 | 0,145 | 847,7 | 847,5 | 847,53 | 0,15 |

Tabela A.6. Continuação.

| τ_1 (Pa) | τ_2 (Pa) | τ_3 (Pa) | VM (Pa) | Desvio padrão | Ero padrão | γ_1 (s ⁻¹) | γ_2 (s ⁻¹) | γ_3 (s ⁻¹) | VM (s ⁻¹) | Desvio padrão | Ero padrão |
|------------------|------------------|------------------|------------|------------------|---------------|----------------------------------|----------------------------------|----------------------------------|--------------------------|------------------|---------------|
| 41,75 | 42,2 | 41,79 | 41,913 | 0,249 | 0,144 | 814,1 | 814,2 | 814,2 | 814,17 | 0,06 | 0,03 |
| 40,96 | 41,5 | 40,7 | 41,053 | 0,408 | 0,236 | 785 | 785,4 | 785,1 | 785,17 | 0,21 | 0,12 |
| 40,3 | 40,98 | 40,23 | 40,503 | 0,414 | 0,239 | 756,4 | 756,7 | 756,2 | 756,43 | 0,25 | 0,14 |
| 39,4 | 40,82 | 39,61 | 39,943 | 0,766 | 0,442 | 727,8 | 727,5 | 727,6 | 727,63 | 0,15 | 0,09 |
| 39,02 | 40,1 | 38,76 | 39,293 | 0,711 | 0,410 | 694,2 | 693,9 | 693,9 | 694, | 0,17 | 0,1 |
| 38,92 | 40,66 | 38,7 | 39,427 | 1,074 | 0,619 | 665,3 | 665,3 | 665,3 | 665,3 | 0 | 0 |
| 38,27 | 41,05 | 38,32 | 39,213 | 1,591 | 0,918 | 636,6 | 636,3 | 636,2 | 636,37 | 0,21 | 0,12 |
| 37,95 | 40,37 | 37,87 | 38,73 | 1,421 | 0,820 | 602,7 | 603,2 | 602,6 | 602,83 | 0,32 | 0,19 |
| 37,37 | 38,68 | 37,55 | 37,867 | 0,710 | 0,409 | 574,3 | 574,1 | 573,7 | 574,03 | 0,30 | 0,18 |
| 37,69 | 35,95 | 36,19 | 36,61 | 0,943 | 0,544 | 544,9 | 544,8 | 545,2 | 544,97 | 0,21 | 0,12 |
| 36,54 | 32,93 | 35,21 | 34,893 | 1,826 | 1,054 | 516,7 | 516,2 | 516,3 | 516,4 | 0,26 | 0,15 |
| 34,87 | 30,67 | 32,78 | 32,773 | 2,100 | 1,212 | 483 | 482,7 | 482,7 | 482,8 | 0,17 | 0,1 |
| 33,86 | 29,66 | 32,44 | 31,987 | 2,136 | 1,233 | 454,1 | 453,8 | 453,9 | 453,93 | 0,15 | 0,09 |
| 31,99 | 28,7 | 31,43 | 30,707 | 1,760 | 1,016 | 425,3 | 425,2 | 424,9 | 425,13 | 0,21 | 0,12 |
| 28,59 | 28,48 | 29,67 | 28,913 | 0,658 | 0,379 | 396,7 | 396,6 | 396,6 | 396,63 | 0,06 | 0,03 |
| 27,01 | 28,07 | 28,43 | 27,837 | 0,738 | 0,426 | 362,8 | 362,8 | 362,8 | 362,8 | 0 | 0 |
| 26,59 | 26,96 | 26,82 | 26,79 | 0,187 | 0,108 | 333,9 | 334,3 | 334,1 | 334,1 | 0,2 | 0,11 |
| 24,51 | 26,05 | 24,9 | 25,153 | 0,801 | 0,462 | 305,4 | 305,4 | 305,6 | 305,47 | 0,11 | 0,07 |
| 23,64 | 24,1 | 23,32 | 23,687 | 0,392 | 0,226 | 271,8 | 271,8 | 272,1 | 271,9 | 0,17 | 0,1 |
| 22,06 | 23,37 | 21,19 | 22,207 | 1,098 | 0,634 | 242,6 | 242,6 | 242,8 | 242,67 | 0,11 | 0,07 |
| 20,39 | 21,37 | 20,14 | 20,633 | 0,650 | 0,375 | 214 | 214,3 | 214,4 | 214,23 | 0,21 | 0,12 |
| 18,64 | 18,87 | 18,75 | 18,753 | 0,115 | 0,066 | 185,1 | 185,3 | 185,5 | 185,3 | 0,2 | 0,11 |
| 16,75 | 17,17 | 15,4 | 16,44 | 0,925 | 0,534 | 152,4 | 151,5 | 151,5 | 151,8 | 0,52 | 0,3 |
| 15,04 | 15,32 | 14,02 | 14,793 | 0,684 | 0,395 | 122,9 | 122,7 | 122,9 | 122,83 | 0,11 | 0,07 |
| 11,85 | 12,79 | 11,38 | 12,007 | 0,718 | 0,414 | 93,98 | 94,26 | 94,26 | 94,17 | 0,16 | 0,09 |
| 10,03 | 9,913 | 9,097 | 9,68 | 0,508 | 0,293 | 64,1 | 63,79 | 63,79 | 63,87 | 0,21 | 0,12 |
| 7,03 | 7,097 | 6,359 | 6,829 | 0,408 | 0,236 | 34,93 | 34,84 | 34,89 | 34,89 | 0,04 | 0,03 |
| 1,576 | 1,654 | 1,576 | 1,602 | 0,045 | 0,026 | 1,253 | 1,168 | 1,168 | 1,168 | 0,09 | 0,05 |

Tabela A.7. Suco de laranja a 55 °Brix e temperatura de 80 °C, no redômetro de placas paralelas.

| τ_1 (Pa) | τ_2 (Pa) | τ_3 (Pa) | VM (Pa) | Desvio padrão | Erro padrão | γ_1 (s ⁻¹) | γ_2 (s ⁻¹) | γ_3 (s ⁻¹) | VM (s ⁻¹) | Desvio padrão | Erro padrão |
|------------------|------------------|------------------|------------|------------------|----------------|----------------------------------|----------------------------------|----------------------------------|--------------------------|------------------|----------------|
| 0,648 | 0,268 | 0,224 | 0,38 | 0,233 | 0,135 | 0 | 0,1 | 0 | 0,03 | 0,06 | 0,03 |
| 3,8 | 3,912 | 3,42 | 3,711 | 0,258 | 0,149 | 26,77 | 26,23 | 26,31 | 26,4 | 0,29 | 0,17 |
| 5,298 | 5,644 | 5,108 | 5,35 | 0,272 | 0,157 | 55,48 | 59,68 | 59,89 | 58,35 | 2,49 | 1,44 |
| 6,639 | 6,952 | 6,37 | 6,654 | 0,291 | 0,168 | 84,58 | 84,01 | 83,87 | 84,15 | 0,38 | 0,22 |
| 8,058 | 8,539 | 7,924 | 8,174 | 0,323 | 0,187 | 119,5 | 118,9 | 119,2 | 0,3 | 0,3 | 0,17 |
| 9,22 | 9,533 | 8,952 | 9,235 | 0,291 | 0,168 | 148,5 | 147,7 | 147,5 | 147,9 | 0,53 | 0,30 |
| 10,27 | 10,6 | 10,03 | 10,3 | 0,286 | 0,165 | 176,9 | 176,9 | 176,7 | 176,83 | 0,11 | 0,07 |
| 11,34 | 12,28 | 11,4 | 11,673 | 0,526 | 0,304 | 205,8 | 210,5 | 210,6 | 208,97 | 2,74 | 1,58 |
| 12,48 | 13,02 | 12,45 | 12,65 | 0,321 | 0,185 | 239,2 | 239,2 | 238,8 | 239,07 | 0,23 | 0,13 |
| 13,59 | 14,25 | 13,61 | 13,817 | 0,375 | 0,217 | 268,3 | 268 | 267,8 | 268,03 | 0,25 | 0,14 |
| 14,59 | 15,36 | 14,36 | 14,77 | 0,524 | 0,302 | 297,2 | 297 | 296,6 | 296,93 | 0,30 | 0,18 |
| 15,89 | 16,55 | 15,73 | 16,057 | 0,435 | 0,251 | 330,5 | 330,2 | 330,1 | 330,27 | 0,21 | 0,12 |
| 16,72 | 17,42 | 16,5 | 16,88 | 0,480 | 0,277 | 359,5 | 359,5 | 359,3 | 359,37 | 0,11 | 0,07 |
| 17,97 | 18,34 | 17,7 | 18,003 | 0,321 | 0,185 | 388,2 | 387,7 | 387,9 | 387,93 | 0,25 | 0,14 |
| 19,04 | 19,48 | 18,45 | 18,99 | 0,516 | 0,298 | 417,2 | 416,8 | 416,6 | 416,87 | 0,30 | 0,18 |
| 20,69 | 20,39 | 19,6 | 20,227 | 0,563 | 0,325 | 450,4 | 450,4 | 450 | 450,27 | 0,23 | 0,13 |
| 21,55 | 21,56 | 20,85 | 21,32 | 0,407 | 0,235 | 479,4 | 478,9 | 479 | 479,1 | 0,26 | 0,15 |
| 22,15 | 21,99 | 21,59 | 21,91 | 0,288 | 0,166 | 508,1 | 507,8 | 507,8 | 507,9 | 0,17 | 0,1 |
| 23 | 23,45 | 22,44 | 22,963 | 0,506 | 0,292 | 541,9 | 541,2 | 541,2 | 541,43 | 0,40 | 0,23 |
| 24,36 | 24,23 | 23,43 | 24,007 | 0,503 | 0,291 | 570,6 | 570 | 570,1 | 570,23 | 0,32 | 0,19 |
| 25,05 | 24,76 | 24,31 | 24,707 | 0,373 | 0,215 | 599,5 | 599,5 | 598,8 | 599,27 | 0,40 | 0,23 |
| 25,63 | 25,53 | 25,6 | 25,587 | 0,051 | 0,029 | 628,1 | 627,8 | 627,7 | 627,87 | 0,21 | 0,12 |
| 26,5 | 26,42 | 25,84 | 26,253 | 0,360 | 0,208 | 661,8 | 661,6 | 661,3 | 661,57 | 0,25 | 0,14 |
| 27,82 | 27,37 | 27,07 | 27,42 | 0,377 | 0,218 | 690,7 | 689,9 | 690,2 | 690,27 | 0,40 | 0,23 |
| 28,32 | 27,97 | 27,74 | 28,01 | 0,292 | 0,169 | 719,5 | 718,9 | 719,1 | 719,17 | 0,30 | 0,18 |
| 28,96 | 28,21 | 28,54 | 28,57 | 0,376 | 0,217 | 747,8 | 752,8 | 753 | 751,2 | 2,95 | 1,70 |
| 29,72 | 28,95 | 29,14 | 29,27 | 0,401 | 0,232 | 782,2 | 781,7 | 781,4 | 781,77 | 0,40 | 0,23 |
| 30,4 | 29,58 | 29,84 | 29,94 | 0,419 | 0,242 | 810,4 | 809,9 | 809,9 | 810,97 | 0,29 | 0,17 |
| 31,34 | 30,32 | 31,09 | 30,917 | 0,532 | 0,307 | 839,7 | 838,7 | 839,3 | 839,23 | 0,50 | 0,29 |
| 31,64 | 30,5 | 31,62 | 31,253 | 0,652 | 0,377 | 872,9 | 872,1 | 872,3 | 872,43 | 0,42 | 0,24 |

Tabela A.7. Continuação.

| τ_1 (Pa) | τ_2 (Pa) | τ_1 (Pa) | VM (Pa) | Desvio padrão | Erro padrão | γ_1 (s ⁻¹) | γ_2 (s ⁻¹) | VM (s ⁻¹) | Desvio padrão | Erro padrão |
|------------------|------------------|------------------|------------|------------------|----------------|----------------------------------|----------------------------------|--------------------------|------------------|----------------|
| 31,43 | 30,89 | 31,8 | 31,373 | 0,458 | 0,264 | 873,3 | 873,6 | 873,5 | 0,17 | 0,1 |
| 30,41 | 29,77 | 30,53 | 30,237 | 0,409 | 0,236 | 847,2 | 847,1 | 847,333 | 0,32 | 0,19 |
| 29,38 | 28,62 | 29,27 | 29,09 | 0,411 | 0,237 | 814,3 | 813,9 | 814,3 | 0,23 | 0,13 |
| 28,35 | 27,94 | 28,31 | 28,2 | 0,226 | 0,130 | 784,7 | 785,1 | 784,7 | 0,23 | 0,13 |
| 27,57 | 27,18 | 27,78 | 27,51 | 0,304 | 0,176 | 756,1 | 756,5 | 756,2 | 0,26 | 0,15 |
| 26,97 | 26,5 | 27,16 | 26,877 | 0,339 | 0,196 | 727,3 | 727,3 | 727,3 | 0,01 | 9,7E-6 |
| 26,26 | 26,07 | 26,34 | 26,223 | 0,139 | 0,080 | 694 | 694,4 | 694,133 | 0,23 | 0,13 |
| 25,4 | 25,4 | 25,36 | 25,387 | 0,023 | 0,013 | 665,4 | 665,3 | 665,233 | 0,21 | 0,12 |
| 24,69 | 24,6 | 24,53 | 24,607 | 0,080 | 0,046 | 636,5 | 636,5 | 636,433 | 0,11 | 0,07 |
| 24,06 | 23,86 | 24,07 | 23,997 | 0,118 | 0,068 | 602,9 | 602,7 | 602,9 | 0,11 | 0,07 |
| 23,55 | 23,41 | 23,57 | 23,51 | 0,087 | 0,050 | 574,1 | 574,1 | 574,067 | 0,06 | 0,03 |
| 22,94 | 22,54 | 22,61 | 22,697 | 0,213 | 0,123 | 545,1 | 544,9 | 545,033 | 0,11 | 0,07 |
| 22,18 | 22,06 | 21,95 | 22,063 | 0,115 | 0,066 | 516,2 | 516,5 | 516,433 | 0,21 | 0,12 |
| 21,36 | 21 | 21,38 | 21,247 | 0,214 | 0,123 | 482,7 | 482,4 | 482,667 | 0,25 | 0,14 |
| 20,49 | 20,39 | 20,49 | 20,457 | 0,058 | 0,033 | 454,1 | 453,9 | 454,033 | 0,11 | 0,07 |
| 19,61 | 19,8 | 19,71 | 19,707 | 0,095 | 0,055 | 425,2 | 425 | 425,067 | 0,11 | 0,07 |
| 18,99 | 18,91 | 19,08 | 18,993 | 0,085 | 0,049 | 396,7 | 396,1 | 396,5 | 0,35 | 0,2 |
| 17,93 | 17,96 | 18,14 | 18,01 | 0,114 | 0,066 | 363,1 | 362,7 | 362,933 | 0,21 | 0,12 |
| 17,32 | 17,19 | 16,93 | 17,147 | 0,199 | 0,115 | 333,9 | 334,2 | 334,1 | 0,17 | 0,1 |
| 16,24 | 16,19 | 16,02 | 16,15 | 0,115 | 0,067 | 305,4 | 305,4 | 305,267 | 0,23 | 0,13 |
| 15,1 | 15,4 | 15,39 | 15,297 | 0,170 | 0,098 | 271,8 | 271,7 | 271,733 | 0,06 | 0,03 |
| 13,9 | 14,57 | 13,87 | 14,113 | 0,396 | 0,228 | 242,8 | 242,6 | 242,667 | 0,11 | 0,07 |
| 13,36 | 13,18 | 12,98 | 13,173 | 0,190 | 0,109 | 214 | 214,3 | 214,1 | 0,17 | 0,1 |
| 11,99 | 12,25 | 11,78 | 12,007 | 0,235 | 0,136 | 185,1 | 185,3 | 185,233 | 0,11 | 0,07 |
| 10,77 | 10,85 | 10,52 | 10,713 | 0,172 | 0,099 | 151,6 | 152,1 | 151,867 | 0,25 | 0,14 |
| 9,466 | 9,287 | 9,153 | 9,302 | 0,157 | 0,091 | 122,7 | 122,9 | 122,767 | 0,11 | 0,07 |
| 8,17 | 8,103 | 8,226 | 8,166 | 0,062 | 0,035 | 94,12 | 94,26 | 94,167 | 0,08 | 0,05 |
| 6,661 | 6,639 | 6,281 | 6,527 | 0,213 | 0,123 | 63,91 | 63,81 | 63,877 | 0,06 | 0,03 |
| 4,649 | 4,571 | 4,448 | 4,556 | 0,101 | 0,058 | 34,66 | 34,73 | 34,683 | 0,04 | 0,02 |
| 1,498 | 1,509 | 1,375 | 1,461 | 0,074 | 0,043 | 1,039 | 0,983 | 1,006 | 0,03 | 0,02 |

Tabela A.8. Suco de laranja a 64,8 °Brix e temperatura de 50 °C, no reômetro de placas paralelas.

| τ_1 (Pa) | τ_2 (Pa) | τ_3 (Pa) | VM (Pa) | Desvio padrão | τ_1 (s) | τ_1 (s) | γ_1 (s ⁻¹) | VM (s ⁻¹) | Desvio padrão | Erro padrão |
|------------------|------------------|------------------|------------|------------------|-----------------|-----------------|----------------------------------|--------------------------|------------------|----------------|
| 1,688 | 1,386 | 0,481 | 1,185 | 0,628 | 0,362 | 0 | 0,228 | 0,008 | 0,12 | 0,07 |
| 24,81 | 24 | 23,51 | 24,107 | 0,656 | 0,379 | 26,27 | 26,74 | 26,39 | 0,30 | 0,18 |
| 37,81 | 35,02 | 36,14 | 36,323 | 1,404 | 0,811 | 59,79 | 55,6 | 58,42 | 2,44 | 1,41 |
| 45,67 | 44,95 | 44,72 | 45,113 | 0,4961 | 0,286 | 84,01 | 84,44 | 84,15 | 0,25 | 0,14 |
| 54,82 | 54,43 | 54,69 | 54,647 | 0,199 | 0,115 | 119,2 | 119,3 | 119,23 | 0,06 | 0,03 |
| 61,57 | 61,29 | 62,08 | 61,647 | 0,400 | 0,231 | 147,5 | 148,1 | 147,7 | 0,35 | 0,2 |
| 67,95 | 67,28 | 69,18 | 68,137 | 0,964 | 0,556 | 176,1 | 176,3 | 177,13 | 1,62 | 0,93 |
| 74,32 | 74,21 | 75,55 | 74,693 | 0,744 | 0,429 | 210 | 210,5 | 207,6 | 1,55 | 0,89 |
| 80,47 | 81,25 | 82,15 | 81,29 | 0,841 | 0,485 | 238,8 | 239,1 | 236,2 | 1,59 | 0,92 |
| 85,72 | 86,62 | 88,07 | 86,803 | 1,186 | 0,684 | 267,3 | 267,6 | 270 | 268,3 | 1,48 |
| 91,76 | 92,87 | 94,77 | 93,133 | 1,522 | 0,879 | 296,2 | 296,7 | 298,3 | 297,07 | 1,09 |
| 98,24 | 98,24 | 99,69 | 98,723 | 0,837 | 0,483 | 330,1 | 330,1 | 327,5 | 329,23 | 1,50 |
| 102,7 | 104,5 | 106,6 | 104,6 | 1,952 | 1,127 | 359 | 359,1 | 361,1 | 359,73 | 1,18 |
| 109,8 | 109,1 | 113,9 | 110,933 | 2,593 | 1,497 | 387,4 | 387,7 | 389,7 | 388,27 | 1,25 |
| 116,5 | 113,6 | 119,8 | 116,633 | 3,102 | 1,791 | 421,1 | 417,1 | 418,5 | 418,9 | 2,03 |
| 121,6 | 123,4 | 125,6 | 123,533 | 2,003 | 1,157 | 449,5 | 450,1 | 447,4 | 449 | 1,42 |
| 126,3 | 128,9 | 135 | 130,067 | 4,466 | 2,578 | 478,7 | 479,1 | 480,7 | 479,5 | 1,06 |
| 133 | 133,7 | 138,8 | 135,167 | 3,166 | 1,828 | 507,3 | 507,6 | 509,8 | 508,23 | 1,36 |
| 138,1 | 140,8 | 145,3 | 141,4 | 3,637 | 2,1 | 540,9 | 541,4 | 538,5 | 540,27 | 1,55 |
| 145,1 | 149,2 | 153 | 149,1 | 3,951 | 2,281 | 569,6 | 570 | 567,4 | 569 | 1,4 |
| 149,3 | 153,9 | 160,3 | 154,5 | 5,525 | 3,189 | 598,6 | 599 | 600,6 | 599,4 | 1,06 |
| 156,4 | 159,6 | 167,3 | 161,1 | 5,603 | 3,235 | 632,4 | 627,7 | 629,8 | 629,97 | 2,35 |
| 163,7 | 164,1 | 174,3 | 167,367 | 6,008 | 3,469 | 661 | 661,4 | 658,4 | 660,27 | 1,63 |
| 168,2 | 170,8 | 181,1 | 173,367 | 6,822 | 3,939 | 689,7 | 690 | 690,57 | 1,25 | 0,72 |
| 173,8 | 178,4 | 188,8 | 180,333 | 7,684 | 4,437 | 718,7 | 719,1 | 720,9 | 719,57 | 1,17 |
| 178,8 | 186 | 195,4 | 186,733 | 8,324 | 4,806 | 751,8 | 752,8 | 750,1 | 751,57 | 1,36 |
| 184,9 | 190,9 | 202,1 | 192,633 | 8,730 | 5,040 | 780,9 | 781,4 | 778,5 | 780,27 | 1,55 |
| 191,8 | 198 | 210 | 199,933 | 9,253 | 5,342 | 809,6 | 810,1 | 812,2 | 810,63 | 1,38 |
| 199,3 | 203,5 | 214 | 205,6 | 7,572 | 4,371 | 838,5 | 839 | 840,8 | 839,43 | 1,21 |
| 205,4 | 209,4 | 220,8 | 211,867 | 7,991 | 4,613 | 871,7 | 872,6 | 869,9 | 871,4 | 1,37 |

Tabela A.8. Continuação.

| τ_1 (Pa) | τ_2 (Pa) | τ_3 (Pa) | VM (Pa) | Desvio padrão | Erro padrão | γ_1 (s ⁻¹) | γ_2 (s ⁻¹) | γ_3 (s ⁻¹) | VM (s ⁻¹) | Desvio padrão | Erro padrão |
|------------------|------------------|------------------|------------|------------------|----------------|----------------------------------|----------------------------------|----------------------------------|--------------------------|------------------|----------------|
| 208,2 | 209,7 | 220,8 | 212,9 | 6,883 | 3,974 | 873,6 | 873,6 | 873,6 | 873,6 | 0,001 | 6,2E-6 |
| 204,2 | 205,5 | 217,6 | 209,1 | 7,389 | 4,266 | 847,4 | 847,4 | 847,4 | 847,33 | 0,11 | 0,07 |
| 198,6 | 202,2 | 213,7 | 204,833 | 7,887 | 4,553 | 814,1 | 814,3 | 814,1 | 814,17 | 0,11 | 0,07 |
| 196 | 196,7 | 209,9 | 200,867 | 7,831 | 4,521 | 785,1 | 785,1 | 785,1 | 785,07 | 0,06 | 0,03 |
| 189 | 193,9 | 207,3 | 196,733 | 9,473 | 5,469 | 756,5 | 756,7 | 756,4 | 756,53 | 0,15 | 0,09 |
| 185,3 | 189,4 | 202,1 | 192,267 | 8,759 | 5,057 | 727,5 | 727,6 | 727,3 | 727,47 | 0,15 | 0,09 |
| 181,3 | 184 | 198,5 | 187,933 | 9,250 | 5,340 | 694,2 | 694,2 | 694,2 | 694,2 | 0 | 0 |
| 176,5 | 181,6 | 194,4 | 184,167 | 9,222 | 5,324 | 665 | 665 | 665 | 665 | 0 | 0 |
| 171,7 | 176,9 | 189,8 | 179,467 | 9,319 | 5,380 | 636,6 | 636,5 | 636,5 | 636,47 | 0,15 | 0,09 |
| 166 | 171,8 | 184,3 | 174,033 | 9,352 | 5,399 | 602,7 | 602,5 | 602,6 | 602,6 | 0,1 | 0,06 |
| 163,5 | 166,4 | 178,9 | 169,6 | 8,183 | 4,725 | 574 | 574 | 574 | 574 | 0 | 0 |
| 159 | 161,3 | 174 | 164,767 | 8,079 | 4,664 | 545,1 | 545,2 | 545,13 | 545,13 | 0,06 | 0,03 |
| 154,3 | 156,9 | 168,2 | 159,8 | 7,389 | 4,266 | 516,5 | 516,3 | 516,5 | 516,43 | 0,11 | 0,07 |
| 147,4 | 151,1 | 162,7 | 153,733 | 7,983 | 4,608 | 482,7 | 482,7 | 482,7 | 482,7 | 482,7 | 3,7E-6 |
| 141,9 | 146,9 | 156 | 148,267 | 7,149 | 4,127 | 454,2 | 454,1 | 453,9 | 454,07 | 0,15 | 0,09 |
| 136,4 | 140,7 | 150 | 142,367 | 6,951 | 4,013 | 425,5 | 425,3 | 425,3 | 425,2 | 0,17 | 0,1 |
| 131,1 | 134,5 | 145,3 | 136,967 | 7,414 | 4,281 | 396,6 | 396,6 | 396,6 | 396,53 | 0,11 | 0,07 |
| 124,2 | 127,2 | 139,4 | 130,267 | 8,051 | 4,648 | 362,7 | 362,7 | 362,7 | 362,73 | 0,06 | 0,03 |
| 119,3 | 122,5 | 132,1 | 124,633 | 6,661 | 3,846 | 334,3 | 334,2 | 334,1 | 334,2 | 0,1 | 0,06 |
| 112,8 | 116,3 | 125,3 | 118,133 | 6,448 | 3,723 | 305,3 | 305,3 | 305,3 | 305,23 | 0,11 | 0,07 |
| 105,7 | 109,6 | 112,1 | 109,133 | 3,225 | 1,862 | 271,7 | 271,8 | 271,8 | 271,67 | 0,15 | 0,09 |
| 98,13 | 101,9 | 105,5 | 101,843 | 3,685 | 2,128 | 242,8 | 242,6 | 242,6 | 242,77 | 0,15 | 0,09 |
| 94,66 | 89,86 | 99,92 | 94,813 | 5,032 | 2,905 | 214,3 | 214,2 | 214,2 | 214,23 | 0,06 | 0,03 |
| 86,39 | 85,27 | 91,65 | 87,77 | 3,406 | 1,967 | 185,3 | 185,1 | 185,1 | 185,13 | 0,15 | 0,09 |
| 75,33 | 75,22 | 82,93 | 77,827 | 4,419 | 2,552 | 151,9 | 151,6 | 151,6 | 151,87 | 0,25 | 0,14 |
| 66,05 | 66,39 | 72,53 | 68,323 | 3,647 | 2,106 | 122,9 | 122,9 | 122,9 | 122,8 | 0,17 | 0,1 |
| 56,62 | 55,56 | 60,39 | 57,523 | 2,538 | 1,466 | 91,98 | 91,84 | 91,84 | 92,27 | 0,22 | 0,13 |
| 40,64 | 43,9 | 47,13 | 43,89 | 3,245 | 1,873 | 61,91 | 61,98 | 61,98 | 61,91 | 0,07 | 0,04 |
| 28,81 | 28,16 | 32,59 | 29,853 | 2,392 | 1,381 | 33,06 | 33,15 | 33,05 | 33,09 | 0,05 | 0,03 |
| 8,349 | 8,427 | 9,276 | 8,684 | 0,514 | 0,297 | 3,773 | 3,845 | 3,788 | 3,80 | 0,04 | 0,02 |

Tabela A.9. Suco de laranja a 64,8 °Brix e temperatura de 60 °C, no reômetro de placas paralelas.

| τ_1 (Pa) | τ_2 (Pa) | τ_3 (Pa) | VM (Pa) | VM (Pa) | Desvio padrão | Erro padrão | VM (s ⁻¹) | VM (s ⁻¹) | Desvio padrão | Erro padrão |
|------------------|------------------|------------------|------------|------------|------------------|----------------|--------------------------|--------------------------|------------------|----------------|
| | | | | | | | | | | |
| 0,324 | 0,447 | 0,034 | 0,268 | 0,212 | 0,085 | 0 | 0,071 | 0,05 | 0,05 | 0,03 |
| 16,05 | 17,93 | 16,36 | 16,48 | 0,501 | 0,289 | 26,21 | 26,63 | 26,49 | 0,24 | 0,14 |
| 24,58 | 24,8 | 24,26 | 24,547 | 0,271 | 0,157 | 59,72 | 55,49 | 56,96 | 2,39 | 1,38 |
| 29,63 | 31,14 | 30,51 | 30,427 | 0,758 | 0,438 | 84,15 | 84,58 | 84,44 | 0,28 | 0,14 |
| 36,1 | 37,79 | 37,22 | 37,037 | 0,859 | 0,496 | 119,2 | 119,5 | 119,4 | 0,17 | 0,1 |
| 40,8 | 42,64 | 41,99 | 41,81 | 0,933 | 0,539 | 147,5 | 148,5 | 148,2 | 0,51 | 0,29 |
| 45,39 | 47,13 | 46,96 | 46,493 | 0,959 | 0,554 | 176,7 | 177,1 | 176,97 | 0,23 | 0,13 |
| 50,1 | 51,42 | 51,38 | 50,967 | 0,751 | 0,433 | 210,2 | 205,6 | 205,9 | 207,23 | 2,57 |
| 54,45 | 56,64 | 56,75 | 55,947 | 1,297 | 0,749 | 239,2 | 239,2 | 239,5 | 239,3 | 0,17 |
| 58,32 | 60,41 | 60,69 | 59,807 | 1,295 | 0,748 | 268 | 268,1 | 268,3 | 268,13 | 0,15 |
| 62,14 | 64,3 | 64,74 | 63,727 | 1,392 | 0,803 | 296,7 | 297,2 | 297 | 296,97 | 0,25 |
| 66,16 | 68,73 | 68,06 | 67,65 | 1,333 | 0,769 | 330,1 | 330,2 | 330,1 | 330,13 | 0,06 |
| 69,29 | 71,64 | 72,09 | 71,007 | 1,504 | 0,868 | 361,2 | 359,4 | 359,3 | 359,97 | 1,07 |
| 73,43 | 75,66 | 76,11 | 75,067 | 1,435 | 0,829 | 389,9 | 388,9 | 387,9 | 388,6 | 1,13 |
| 77,45 | 79,02 | 79,69 | 78,72 | 1,149 | 0,664 | 418,1 | 416,8 | 417,1 | 417,33 | 0,68 |
| 80,58 | 83,15 | 83,26 | 82,33 | 1,516 | 0,876 | 446,7 | 450,4 | 450 | 449,03 | 2,03 |
| 85,05 | 86,73 | 87,85 | 86,543 | 1,409 | 0,814 | 480,6 | 479,3 | 479 | 479,63 | 0,85 |
| 89,19 | 90,64 | 91,65 | 90,493 | 1,236 | 0,714 | 509,2 | 507,9 | 507,8 | 508,3 | 0,78 |
| 92,65 | 95,78 | 95,89 | 94,773 | 1,839 | 1,062 | 538,2 | 541,2 | 541,7 | 540,37 | 1,89 |
| 97,35 | 100,6 | 100,4 | 99,45 | 1,821 | 1,051 | 571,8 | 570,3 | 569,9 | 570,67 | 1,00 |
| 101,5 | 103,6 | 103,4 | 102,833 | 1,159 | 0,669 | 600,3 | 599 | 599 | 599,43 | 0,75 |
| 104,1 | 106,2 | 106,2 | 105,5 | 1,212 | 0,7 | 629,5 | 628,2 | 627,5 | 628,4 | 1,01 |
| 108 | 109,9 | 110,9 | 109,6 | 1,473 | 0,850 | 658,1 | 661,3 | 661,4 | 660,27 | 1,88 |
| 111,9 | 111,5 | 113,8 | 112,4 | 1,229 | 0,709 | 692 | 690,3 | 690 | 690,77 | 1,08 |
| 111,8 | 114,1 | 113,7 | 113,2 | 1,229 | 0,709 | 720,4 | 719,5 | 719,7 | 719,7 | 0,62 |
| 112 | 117,4 | 116,2 | 115,2 | 2,835 | 1,637 | 749,3 | 752,8 | 752,4 | 751,5 | 1,92 |
| 114 | 120 | 119,9 | 117,967 | 3,436 | 1,983 | 777,9 | 781,4 | 781,4 | 780,23 | 2,02 |
| 117,8 | 123,1 | 121,9 | 120,933 | 2,779 | 1,604 | 811,6 | 810,4 | 810,2 | 810,73 | 0,76 |
| 121,2 | 126,7 | 123,8 | 123,9 | 2,751 | 1,588 | 840,4 | 839 | 839,3 | 839,57 | 0,43 |
| 125,4 | 126,6 | 126,6 | 127,2 | 2,163 | 1,249 | 869,4 | 872,4 | 872,3 | 871,37 | 0,98 |

Tabela A.9. Continuação.

| τ_1 (Pa) | τ_2 (Pa) | τ_3 (Pa) | VM (Pa) | Desvio padrão | Erro padrão | γ_1 (s ⁻¹) | γ_2 (s ⁻¹) | γ_3 (s ⁻¹) | VM (s ⁻¹) | Desvio padrão | Erro padrão |
|------------------|------------------|------------------|------------|------------------|----------------|----------------------------------|----------------------------------|----------------------------------|--------------------------|------------------|----------------|
| 125,1 | 128,9 | 126,3 | 126,767 | 1,942 | 1,121 | 873,6 | 873,7 | 873,6 | 873,63 | 0,06 | 0,03 |
| 121,8 | 125,5 | 125 | 124,1 | 2,007 | 1,159 | 847,5 | 847,4 | 847,47 | 847,47 | 0,06 | 0,03 |
| 119 | 122,9 | 120,5 | 120,8 | 1,967 | 1,136 | 814,2 | 814,2 | 814,2 | 814,2 | 0 | 0 |
| 116,3 | 120,1 | 118,7 | 118,367 | 1,922 | 1,109 | 785,1 | 785,1 | 785 | 785,07 | 0,06 | 0,03 |
| 114,2 | 116,5 | 116,7 | 115,8 | 1,389 | 0,802 | 756,2 | 756,4 | 756,1 | 756,23 | 0,15 | 0,09 |
| 112,7 | 113,3 | 115,3 | 115,767 | 1,361 | 0,786 | 727,3 | 727,3 | 727,2 | 727,27 | 0,06 | 0,03 |
| 110,2 | 109,6 | 112,5 | 110,767 | 1,531 | 0,884 | 694,3 | 694,2 | 694,3 | 694,27 | 0,06 | 0,03 |
| 107,6 | 106,8 | 110,2 | 108,2 | 1,778 | 1,026 | 664,8 | 665,1 | 665,1 | 665 | 0,17 | 0,1 |
| 106,2 | 104,3 | 107,4 | 105,967 | 1,563 | 0,902 | 636,3 | 636,3 | 636,3 | 636,27 | 0,06 | 0,03 |
| 102,3 | 100,7 | 103,9 | 102,3 | 1,6 | 0,924 | 602 | 602,7 | 602,3 | 602,33 | 0,35 | 0,20 |
| 100,7 | 97,68 | 100,4 | 99,593 | 1,664 | 0,961 | 574,1 | 574,1 | 574,3 | 574,13 | 0,15 | 0,09 |
| 97,01 | 94,89 | 97,46 | 96,453 | 1,372 | 0,792 | 545,1 | 544,8 | 545,5 | 545,13 | 0,35 | 0,20 |
| 94,22 | 92,09 | 92,65 | 92,987 | 1,104 | 0,637 | 516,3 | 516,5 | 516,6 | 516,47 | 0,15 | 0,09 |
| 90,42 | 88,63 | 90,53 | 89,86 | 1,063 | 0,616 | 482,6 | 482,4 | 482,6 | 482,53 | 0,11 | 0,07 |
| 86,5 | 85,16 | 87,17 | 86,277 | 1,023 | 0,591 | 453,9 | 454,1 | 453,9 | 453,97 | 0,11 | 0,07 |
| 83,93 | 82,59 | 83,15 | 83,223 | 0,673 | 0,389 | 425 | 425,2 | 425 | 425,07 | 0,11 | 0,07 |
| 79,91 | 78,57 | 79,35 | 79,277 | 0,673 | 0,389 | 396,7 | 396,7 | 396,4 | 396,6 | 0,17 | 0,1 |
| 75,66 | 74,88 | 74,55 | 75,03 | 0,57 | 0,329 | 362,8 | 363,1 | 363 | 362,97 | 0,15 | 0,09 |
| 72,31 | 71,64 | 71,75 | 71,9 | 0,3593 | 0,207 | 334,1 | 334,2 | 334,1 | 334,13 | 0,06 | 0,03 |
| 69,18 | 67,62 | 68,18 | 68,327 | 0,790 | 0,456 | 304,7 | 305,4 | 304,7 | 304,93 | 0,40 | 0,23 |
| 64,93 | 63,27 | 64,76 | 64,32 | 0,913 | 0,527 | 274,8 | 274,8 | 274,2 | 274,8 | 0,35 | 0,2 |
| 61,27 | 60,4 | 60,4 | 60,69 | 0,502 | 0,29 | 245,8 | 245,8 | 245,6 | 245,63 | 0,15 | 0,09 |
| 55,98 | 54,24 | 55,01 | 55,077 | 0,872 | 0,503 | 212 | 212 | 212 | 212 | 0 | 0 |
| 51,67 | 48,37 | 50,44 | 50,16 | 1,668 | 0,963 | 183,4 | 183,4 | 183,3 | 183,37 | 0,06 | 0,03 |
| 45,78 | 44,14 | 45,21 | 45,043 | 0,833 | 0,481 | 154,6 | 154,6 | 154,5 | 154,5 | 0,1 | 0,06 |
| 40,22 | 38,44 | 39,14 | 39,267 | 0,897 | 0,518 | 121,3 | 121,3 | 120,9 | 121,17 | 0,23 | 0,13 |
| 33,13 | 32,37 | 33,63 | 33,043 | 0,634 | 0,366 | 92,13 | 92,13 | 91,98 | 92,08 | 0,09 | 0,05 |
| 27,85 | 25,16 | 26,83 | 26,613 | 1,358 | 0,784 | 64,43 | 64,43 | 61,74 | 62,67 | 1,53 | 0,88 |
| 18,73 | 17,57 | 18,85 | 18,383 | 0,707 | 0,408 | 35,14 | 32,89 | 32,88 | 33,64 | 1,30 | 0,75 |
| 4,202 | 5,8 | 6,158 | 5,387 | 1,041 | 0,601 | 1,609 | 1,609 | 1,609 | 3,859 | 3,06 | 0,73 |

Tabela A.10. Suco de laranja a 64,8 °Brix e temperatura de 80 °C, no reômetro de placas paralelas.

| τ_1 (Pa) | τ_2 (Pa) | τ_3 (Pa) | VM (Pa) | VM (Pa) | Desvio padrão | Ero padrão | γ_1 (s ⁻¹) | γ_2 (s ⁻¹) | VM (s ⁻¹) | Dessio padrão | Ero padrão |
|------------------|------------------|------------------|------------|------------|------------------|---------------|----------------------------------|----------------------------------|--------------------------|------------------|---------------|
| 0,369 | 0 | 0,324 | 0,231 | 0,201 | 0,116 | 0 | 0 | 0 | 0 | 0 | 0 |
| 10,79 | 10,65 | 11,23 | 10,89 | 0,303 | 0,175 | 26,27 | 25,47 | 26,03 | 0,46 | 0,27 | |
| 15,99 | 16,13 | 16,64 | 16,253 | 0,342 | 0,197 | 59,75 | 60,03 | 59,76 | 0,26 | 0,15 | |
| 19,09 | 19,64 | 20,54 | 19,757 | 0,732 | 0,423 | 84,15 | 83,73 | 85,72 | 3,09 | 1,78 | |
| 23,13 | 23,75 | 23,77 | 23,55 | 0,364 | 0,210 | 118,9 | 119,2 | 118,7 | 0,62 | 0,36 | |
| 26,09 | 26,83 | 26,9 | 26,607 | 0,449 | 0,259 | 147,8 | 147,7 | 147,63 | 0,21 | 0,12 | |
| 29,36 | 29,84 | 29,9 | 29,7 | 0,296 | 0,171 | 176,6 | 176,7 | 176,4 | 0,44 | 0,25 | |
| 32,68 | 32,55 | 32,84 | 32,69 | 0,145 | 0,084 | 210,5 | 210,6 | 210,23 | 0,55 | 0,32 | |
| 34,89 | 35,19 | 35,71 | 35,263 | 0,415 | 0,239 | 238,6 | 239,1 | 238,6 | 0,5 | 0,29 | |
| 37,47 | 37,72 | 38,04 | 37,743 | 0,286 | 0,165 | 267,7 | 267,8 | 267,43 | 0,55 | 0,32 | |
| 39,97 | 40,09 | 40,68 | 40,247 | 0,380 | 0,219 | 296,7 | 296,6 | 297,3 | 297,87 | 2,11 | 1,22 |
| 42,5 | 42,57 | 42,82 | 42,63 | 0,168 | 0,097 | 330,2 | 330,1 | 329,5 | 0,38 | 0,22 | |
| 45,15 | 44,5 | 45,17 | 44,94 | 0,381 | 0,220 | 359,3 | 359 | 358,87 | 0,51 | 0,29 | |
| 46,75 | 46,74 | 46,88 | 46,79 | 0,078 | 0,045 | 387,7 | 387,9 | 387,2 | 0,36 | 0,21 | |
| 48,77 | 48,95 | 50,05 | 49,257 | 0,693 | 0,400 | 416,9 | 416,8 | 418,1 | 2,17 | 1,25 | |
| 50,77 | 51,17 | 52,01 | 51,317 | 0,633 | 0,365 | 449,8 | 450 | 449,77 | 0,25 | 0,14 | |
| 52,94 | 53,19 | 54,1 | 53,41 | 0,610 | 0,352 | 479,1 | 478,9 | 478,77 | 0,42 | 0,24 | |
| 54,83 | 54,76 | 54,79 | 54,793 | 0,035 | 0,020 | 507,8 | 507,8 | 507,37 | 0,75 | 0,43 | |
| 57,01 | 57,03 | 56,99 | 57,01 | 0,02 | 0,011 | 541,7 | 541,5 | 541,33 | 0,47 | 0,27 | |
| 58,69 | 58,51 | 59,39 | 58,863 | 0,465 | 0,268 | 570 | 570,1 | 569,3 | 0,44 | 0,25 | |
| 61,03 | 60,17 | 61,63 | 60,943 | 0,734 | 0,424 | 599,2 | 599,6 | 599,13 | 0,50 | 0,29 | |
| 62,98 | 62,05 | 63,87 | 62,967 | 0,910 | 0,525 | 627,7 | 627,8 | 632,1 | 2,51 | 1,45 | |
| 65,38 | 64,24 | 65,83 | 65,15 | 0,819 | 0,473 | 661,7 | 661,6 | 659,7 | 1,13 | 0,65 | |
| 67,62 | 65,72 | 68,62 | 67,32 | 1,473 | 0,850 | 692,3 | 689,3 | 688,7 | 1,93 | 1,11 | |
| 70,3 | 67,06 | 71,08 | 69,48 | 2,132 | 1,231 | 720,6 | 718,8 | 722,5 | 2,05 | 1,07 | |
| 72,53 | 68,85 | 73,09 | 71,49 | 2,303 | 1,329 | 750,3 | 752,3 | 751,1 | 1,01 | 0,58 | |
| 74,55 | 70,08 | 74,77 | 73,133 | 2,646 | 1,528 | 778,7 | 781 | 780,2 | 1,17 | 0,67 | |
| 76,22 | 70,97 | 76,78 | 74,657 | 3,205 | 1,850 | 812,1 | 809,9 | 808,6 | 1,77 | 1,02 | |
| 77,23 | 72,65 | 79,35 | 76,41 | 3,424 | 1,977 | 841,1 | 838,8 | 842,7 | 1,96 | 1,13 | |
| 78,23 | 74,77 | 80,8 | 77,933 | 3,026 | 1,747 | 869,9 | 871,9 | 870,93 | 1,00 | 0,58 | |

Tabela A.10. Continuação.

| τ_1 (Pa) | τ_2 (Pa) | τ_3 (Pa) | VM (Pa) | Desvio padrão | Erro padrão | γ_1 (s ⁻¹) | γ_2 (s ⁻¹) | VM (s ⁻¹) | Desvio padrão | Erro padrão |
|------------------|------------------|------------------|------------|------------------|----------------|----------------------------------|----------------------------------|--------------------------|------------------|----------------|
| 78,46 | 74,88 | 80,69 | 78,01 | 2,931 | 1,692 | 873,6 | 873,7 | 873,63 | 0,06 | 0,03 |
| 76,45 | 72,31 | 78,46 | 75,74 | 3,136 | 1,810 | 847,7 | 847,1 | 847,4 | 0,3 | 0,17 |
| 75,44 | 70,3 | 76,45 | 74,063 | 3,298 | 1,904 | 813,8 | 813,9 | 814,3 | 0,26 | 0,15 |
| 73,65 | 67,95 | 74,99 | 72,197 | 3,738 | 2,158 | 785 | 785,3 | 785,2 | 0,17 | 0,1 |
| 70,19 | 66,5 | 73,65 | 70,113 | 3,576 | 2,064 | 756,4 | 756,1 | 756,43 | 0,35 | 0,20 |
| 67,95 | 64,82 | 72,65 | 68,473 | 3,941 | 2,275 | 727,3 | 723,3 | 725,97 | 2,31 | 1,33 |
| 66,61 | 64,42 | 69,52 | 66,85 | 2,558 | 1,477 | 694,3 | 695,2 | 694,4 | 0,75 | 0,44 |
| 65,27 | 62,71 | 67,06 | 65,013 | 2,186 | 1,262 | 665,1 | 666,3 | 665,37 | 0,83 | 0,48 |
| 64,82 | 61,09 | 65,05 | 63,653 | 2,223 | 1,283 | 635,1 | 637,9 | 636,1 | 1,42 | 0,82 |
| 62,65 | 59,09 | 63,37 | 61,703 | 2,292 | 1,323 | 606,2 | 603,7 | 604,3 | 1,68 | 0,97 |
| 58,69 | 57,36 | 61,73 | 59,26 | 2,240 | 1,293 | 572,8 | 575,1 | 574,7 | 1,23 | 0,71 |
| 57,21 | 55,45 | 60,73 | 57,797 | 2,688 | 1,552 | 543,9 | 546,4 | 545,5 | 1,27 | 0,73 |
| 55,67 | 53,55 | 59,02 | 56,08 | 2,758 | 1,592 | 514,9 | 512,5 | 516,7 | 2,11 | 1,22 |
| 54,06 | 51,51 | 56,51 | 54,027 | 2,500 | 1,443 | 486,4 | 483,8 | 482,9 | 1,82 | 1,05 |
| 52,47 | 49,7 | 54,54 | 52,237 | 2,428 | 1,402 | 452,7 | 454,8 | 454,1 | 1,21 | 0,7 |
| 50,34 | 47,51 | 51,58 | 49,81 | 2,086 | 1,204 | 423,8 | 426,5 | 425,37 | 1,40 | 0,81 |
| 48,91 | 45,03 | 49,27 | 47,737 | 2,351 | 1,357 | 395,3 | 393 | 393,47 | 1,65 | 0,95 |
| 46,52 | 42,63 | 47,05 | 45,4 | 2,413 | 1,393 | 366,5 | 364 | 364,57 | 1,72 | 0,99 |
| 44,1 | 40,95 | 45,01 | 43,353 | 2,130 | 1,230 | 332,9 | 335,3 | 334,5 | 1,22 | 0,70 |
| 41,51 | 38,06 | 42,51 | 40,693 | 2,335 | 1,348 | 303,7 | 301,4 | 305,3 | 303,47 | 1,96 |
| 38,85 | 36,42 | 39,58 | 38,283 | 1,654 | 0,955 | 275,2 | 272,5 | 272,3 | 273,33 | 1,62 |
| 35,83 | 33,61 | 37,05 | 35,497 | 1,744 | 1,007 | 241,4 | 243,8 | 243,2 | 242,8 | 1,25 |
| 32,81 | 31,17 | 33,85 | 32,61 | 1,351 | 0,780 | 212,6 | 215,4 | 214,6 | 1,44 | 0,83 |
| 30,4 | 27,85 | 31,15 | 29,8 | 1,729 | 0,999 | 184,1 | 181,5 | 185,4 | 1,99 | 1,15 |
| 27,3 | 24,89 | 27,37 | 26,52 | 1,412 | 0,815 | 155,3 | 152,9 | 152,5 | 1,51 | 0,87 |
| 23,45 | 21,84 | 24,01 | 23,1 | 1,126 | 0,650 | 121,5 | 124 | 123,3 | 122,93 | 0,74 |
| 20,17 | 18,65 | 20,09 | 19,637 | 0,855 | 0,494 | 92,7 | 95,26 | 94,41 | 94,12 | 0,75 |
| 15,68 | 14,48 | 15,85 | 15,337 | 0,747 | 0,431 | 62,62 | 65,12 | 64,26 | 64 | 1,27 |
| 10,75 | 9,131 | 10,93 | 10,270 | 0,991 | 0,572 | 33,38 | 31,25 | 35,36 | 33,33 | 1,19 |
| 4,001 | 2,336 | 2,749 | 3,029 | 0,867 | 0,501 | 4,528 | 2,036 | 1,438 | 2,67 | 0,95 |

Tabela A.11. Suco de laranja a 64,8 °Brix e temperatura de 50 °C, no reômetro de placas paralelas, com gap=1,0 mm.

| τ_1 (Pa) | τ_2 (Pa) | τ_3 (Pa) | VM (Pa) | Desvio padrão | γ_1 (s ⁻¹) | γ_2 (s ⁻¹) | γ_3 (s ⁻¹) | VM (s ⁻¹) | Desvio padrão | Erro padrão |
|------------------|------------------|------------------|------------|------------------|----------------------------------|----------------------------------|----------------------------------|--------------------------|------------------|----------------|
| 0,436 | 0,95 | 0,112 | 0,50 | 0,42 | 0,24 | 0 | 0,121 | 0,04 | 0,07 | 0,04 |
| 14,15 | 14,4 | 13,47 | 14,01 | 0,48 | 0,28 | 12,99 | 13,36 | 13,19 | 0,19 | 0,11 |
| 20,98 | 20,61 | 20,5 | 20,70 | 0,25 | 0,15 | 29,97 | 27,77 | 29,95 | 1,26 | 0,73 |
| 26,06 | 25,84 | 24,69 | 25,53 | 0,74 | 0,42 | 44,92 | 42,29 | 41,86 | 1,66 | 0,96 |
| 30,16 | 31,07 | 29,96 | 30,40 | 0,59 | 0,34 | 59,31 | 59,88 | 59,45 | 0,55 | 0,30 |
| 33,89 | 34,9 | 33,86 | 34,22 | 0,59 | 0,34 | 73,62 | 74,04 | 73,9 | 0,85 | 0,21 |
| 37,56 | 38,21 | 37,51 | 37,76 | 0,39 | 0,23 | 88,21 | 88,64 | 88,43 | 0,43 | 0,22 |
| 41,63 | 41,62 | 41,43 | 41,56 | 0,11 | 0,07 | 105 | 102,9 | 105,3 | 1,31 | 0,75 |
| 44,67 | 45,48 | 44,74 | 44,96 | 0,45 | 0,26 | 119,3 | 119,8 | 119,6 | 0,57 | 0,25 |
| 47,71 | 48,29 | 48,15 | 48,05 | 0,30 | 0,17 | 133,8 | 134,1 | 133,8 | 0,90 | 0,10 |
| 50,32 | 51,27 | 50,8 | 50,80 | 0,48 | 0,27 | 148,2 | 148,5 | 148,4 | 1,37 | 0,15 |
| 53,85 | 54,63 | 54 | 54,16 | 0,41 | 0,24 | 165,1 | 165,3 | 165,1 | 1,17 | 0,07 |
| 56,66 | 57,47 | 56,76 | 56,96 | 0,44 | 0,25 | 179,4 | 179,8 | 179,6 | 0,60 | 0,20 |
| 59,56 | 60,07 | 59,69 | 59,77 | 0,27 | 0,15 | 193,7 | 194,1 | 193,9 | 0,90 | 0,12 |
| 62,88 | 63,11 | 62,71 | 62,90 | 0,20 | 0,12 | 210,6 | 208,6 | 208,3 | 1,17 | 0,72 |
| 65,58 | 65,83 | 65,3 | 65,57 | 0,27 | 0,15 | 222,6 | 224,8 | 222,8 | 2,40 | 1,22 |
| 67,62 | 68,51 | 67,62 | 67,92 | 0,51 | 0,30 | 238,9 | 239,6 | 239,3 | 2,27 | 0,35 |
| 72,31 | 71,19 | 70,41 | 71,30 | 0,96 | 0,55 | 255,7 | 253,9 | 253,7 | 4,43 | 1,10 |
| 74,21 | 74,32 | 74,1 | 74,21 | 0,11 | 0,06 | 270,2 | 270,8 | 270,5 | 5,50 | 0,30 |
| 77,34 | 77,34 | 77,45 | 77,38 | 0,06 | 0,04 | 284,6 | 285,1 | 284,8 | 8,83 | 0,25 |
| 80,8 | 79,8 | 80,69 | 80,43 | 0,55 | 0,32 | 299 | 299,5 | 299,4 | 2,27 | 0,20 |
| 84,94 | 84,27 | 84,49 | 0,39 | 0,22 | 315,8 | 313,9 | 316,2 | 3,30 | 1,10 | 0,64 |
| 87,06 | 86,84 | 87,4 | 87,10 | 0,28 | 0,16 | 330,1 | 330,7 | 330,5 | 4,43 | 0,17 |
| 92,09 | 90,53 | 92,09 | 91,57 | 0,90 | 0,52 | 344,4 | 345,1 | 344,8 | 7,77 | 0,15 |
| 94,89 | 95,45 | 95,45 | 95,26 | 0,32 | 0,19 | 361,2 | 359,5 | 359,3 | 10,00 | 0,20 |
| 96,34 | 99,02 | 97,57 | 97,64 | 1,34 | 0,77 | 375,8 | 376,2 | 376,1 | 6,03 | 0,60 |
| 98,35 | 100,3 | 98,91 | 99,19 | 1,00 | 0,58 | 390,2 | 390,7 | 390,5 | 7,47 | 0,15 |
| 99,58 | 101,7 | 100,7 | 100,66 | 1,06 | 0,61 | 404,5 | 405 | 404,9 | 8,80 | 0,15 |
| 101 | 102,5 | 102,7 | 102,07 | 0,93 | 0,54 | 421,3 | 419,6 | 419,3 | 10,07 | 0,62 |
| 102,2 | 103,5 | 104,8 | 103,50 | 1,30 | 0,75 | 435,6 | 436,2 | 435,93 | 11,18 | 0,31 |

Tabela A.11. Continuação.

| τ_1 (Pa) | τ_2 (Pa) | τ_3 (Pa) | VM (Pa) | Desvio padrão | Erro padrão | γ_1 (s ⁻¹) | γ_2 (s ⁻¹) | γ_3 (s ⁻¹) | VM (s ⁻¹) | Desvio padrão | Erro padrão |
|------------------|------------------|------------------|------------|------------------|----------------|----------------------------------|----------------------------------|----------------------------------|--------------------------|------------------|----------------|
| 102,7 | 102,8 | 104,8 | 103,43 | 1,18 | 0,68 | 436,8 | 436,7 | 436,8 | 436,77 | 0,06 | 0,03 |
| 99,13 | 99,47 | 102,4 | 100,33 | 1,80 | 1,04 | 423,7 | 423,6 | 423,7 | 423,67 | 0,06 | 0,03 |
| 97,12 | 96,12 | 99,02 | 97,42 | 1,47 | 0,85 | 407 | 407 | 407 | 407,00 | 0 | 0 |
| 95,22 | 94,22 | 96,9 | 95,45 | 1,35 | 0,78 | 392,4 | 392,5 | 392,4 | 392,43 | 0,06 | 0,03 |
| 93,55 | 92,87 | 94,1 | 93,51 | 0,62 | 0,36 | 378,2 | 378,3 | 378,2 | 378,23 | 0,06 | 0,03 |
| 91,98 | 91,87 | 92,54 | 92,13 | 0,36 | 0,21 | 363,8 | 363,7 | 363,7 | 363,73 | 0,06 | 0,03 |
| 91,2 | 89,97 | 90,53 | 90,57 | 0,62 | 0,36 | 347,1 | 347,2 | 347,1 | 347,13 | 0,06 | 0,03 |
| 89,63 | 88,74 | 89,3 | 89,22 | 0,45 | 0,26 | 332,5 | 332,5 | 332,6 | 332,53 | 0,06 | 0,03 |
| 87,85 | 87,96 | 87,62 | 87,81 | 0,17 | 0,10 | 318,1 | 318,1 | 318,2 | 318,13 | 0,06 | 0,03 |
| 84,83 | 85,61 | 85,27 | 85,24 | 0,39 | 0,23 | 301,3 | 301,3 | 301,3 | 301,30 | 0 | 0 |
| 81,48 | 84,27 | 82,26 | 82,67 | 1,44 | 0,83 | 286,9 | 287 | 287 | 286,97 | 0,06 | 0,03 |
| 77,9 | 81,03 | 79,46 | 79,46 | 1,57 | 0,90 | 272,5 | 272,5 | 272,4 | 272,47 | 0,06 | 0,03 |
| 74,43 | 79,24 | 77,23 | 76,97 | 2,42 | 1,39 | 258,3 | 258,2 | 258,2 | 258,23 | 0,06 | 0,03 |
| 70,97 | 75,44 | 73,54 | 73,32 | 2,24 | 1,30 | 241,4 | 241,4 | 241,3 | 241,37 | 0,06 | 0,03 |
| 68,18 | 72,65 | 69,74 | 70,19 | 2,27 | 1,31 | 226,9 | 227 | 227 | 226,97 | 0,06 | 0,03 |
| 65,49 | 68,73 | 65,72 | 66,65 | 1,81 | 1,04 | 212,6 | 212,6 | 212,6 | 212,60 | 0,06 | 0,03 |
| 62,58 | 65,49 | 61,82 | 63,30 | 1,94 | 1,12 | 196,1 | 198,3 | 197,1 | 197,17 | 1,10 | 0,64 |
| 58,19 | 60,83 | 59,18 | 59,40 | 1,33 | 0,77 | 181,7 | 182,9 | 183 | 182,53 | 0,72 | 0,42 |
| 55,11 | 56,35 | 55,72 | 55,73 | 0,62 | 0,36 | 167,2 | 166 | 166 | 166,40 | 0,69 | 0,40 |
| 54,13 | 54,27 | 53,48 | 53,96 | 0,42 | 0,24 | 152,7 | 151,6 | 151,6 | 151,97 | 0,64 | 0,37 |
| 50,23 | 50,83 | 50,06 | 50,37 | 0,40 | 0,23 | 136,1 | 137,1 | 137,1 | 136,77 | 0,58 | 0,33 |
| 48,33 | 48,35 | 46,77 | 47,82 | 0,91 | 0,52 | 121,7 | 122,9 | 122,8 | 122,47 | 0,67 | 0,38 |
| 44,21 | 43,92 | 42,12 | 43,42 | 1,13 | 0,65 | 107,3 | 106,1 | 106,1 | 106,47 | 0,72 | 0,42 |
| 39,77 | 40,55 | 39,78 | 40,03 | 0,45 | 0,26 | 92,77 | 91,7 | 91,7 | 92,03 | 0,64 | 0,37 |
| 37,4 | 36,31 | 36,48 | 36,73 | 0,59 | 0,34 | 76,11 | 77,11 | 77,11 | 76,78 | 0,58 | 0,33 |
| 30,75 | 30,59 | 30,91 | 30,75 | 0,16 | 0,09 | 61,58 | 60,37 | 60,37 | 60,82 | 0,66 | 0,38 |
| 27,3 | 26,67 | 24,88 | 26,28 | 1,26 | 0,72 | 47,35 | 45,99 | 45,99 | 46,44 | 0,79 | 0,45 |
| 21,1 | 20,37 | 19,98 | 20,48 | 0,57 | 0,33 | 32,19 | 30,86 | 30,86 | 30,91 | 0,75 | 0,44 |
| 14,7 | 14,25 | 13,75 | 14,23 | 0,48 | 0,27 | 17,55 | 16,53 | 16,52 | 16,87 | 0,59 | 0,34 |
| 3,61 | 4,75 | 4,817 | 4,39 | 0,68 | 0,39 | 0,783 | 0,783 | 0,783 | 1,837 | 0,61 | 0,35 |

Tabela A.12. Resultados para suco de laranja a 55 °Brix e temperatura de 50° C, no reômetro Contraves - sistema MS-DIN 145

| Taxa de Deformação (s^{-1}) | Taxa de Deformação corrigida (s^{-1}) | τ_1 (Pa) | τ_2 (Pa) | τ_3 (Pa) | Valor Médio | Desvio padrão | Erro padrão |
|---------------------------------|---|---------------|---------------|---------------|-------------|---------------|-------------|
| 6,65 | 6,79 | 3,13 | 2,93 | 2,93 | 2,99 | 0,11 | 0,06 |
| 9,51 | 9,70 | 3,71 | 3,32 | 3,52 | 3,52 | 0,19 | 0,11 |
| 13,61 | 13,89 | 4,49 | 4,10 | 4,10 | 4,23 | 0,23 | 0,13 |
| 19,48 | 19,88 | 5,28 | 5,08 | 5,08 | 5,15 | 0,11 | 0,06 |
| 27,9 | 28,47 | 6,65 | 6,26 | 6,26 | 6,39 | 0,23 | 0,13 |
| 39,9 | 40,71 | 8,01 | 7,62 | 7,62 | 7,75 | 0,23 | 0,13 |
| 57,2 | 58,37 | 9,77 | 9,38 | 9,58 | 9,58 | 0,19 | 0,11 |
| 81,8 | 83,47 | 12,12 | 11,73 | 11,92 | 11,92 | 0,19 | 0,11 |
| 117,1 | 119,49 | 15,05 | 14,66 | 14,86 | 14,86 | 0,19 | 0,11 |
| 167,6 | 171,02 | 18,57 | 18,34 | 18,57 | 18,51 | 0,11 | 0,06 |
| 240 | 244,89 | 23,26 | 22,87 | 23,26 | 23,13 | 0,23 | 0,13 |
| 343 | 349,99 | 28,93 | 28,74 | 29,32 | 28,99 | 0,29 | 0,17 |
| 492 | 502,04 | 36,36 | 36,36 | 36,95 | 36,56 | 0,34 | 0,19 |
| 704 | 718,36 | 46,14 | 46,14 | 46,92 | 46,39 | 0,45 | 0,26 |
| 1008 | 1028,56 | 60,21 | 60,02 | 61,19 | 60,47 | 0,63 | 0,36 |
| -- | -- | -- | -- | -- | -- | -- | -- |
| 6,65 | 6,79 | 2,93 | 2,35 | 2,35 | 2,54 | 0,34 | 0,19 |
| 9,51 | 9,70 | 3,32 | 2,74 | 2,74 | 2,93 | 0,34 | 0,19 |
| 13,61 | 13,89 | 3,91 | 3,32 | 3,32 | 3,52 | 0,34 | 0,19 |
| 19,48 | 19,88 | 4,69 | 4,10 | 4,10 | 4,30 | 0,34 | 0,19 |
| 27,9 | 28,47 | 5,67 | 5,08 | 5,08 | 5,28 | 0,34 | 0,19 |
| 39,9 | 40,71 | 6,84 | 6,45 | 6,45 | 6,58 | 0,22 | 0,13 |
| 57,2 | 58,37 | 8,41 | 8,01 | 8,01 | 8,14 | 0,22 | 0,13 |
| 81,8 | 83,47 | 10,36 | 9,97 | 9,97 | 10,10 | 0,22 | 0,13 |
| 117,1 | 119,49 | 12,90 | 12,51 | 12,51 | 12,64 | 0,22 | 0,13 |
| 167,6 | 171,02 | 16,23 | 15,83 | 15,83 | 15,96 | 0,22 | 0,13 |
| 240 | 244,89 | 20,33 | 19,94 | 20,14 | 20,14 | 0,19 | 0,11 |
| 343 | 349,99 | 26,19 | 25,81 | 25,81 | 25,94 | 0,22 | 0,13 |
| 492 | 502,04 | 34,02 | 33,82 | 33,82 | 33,89 | 0,11 | 0,06 |
| 704 | 718,36 | 45,16 | 44,77 | 44,77 | 44,89 | 0,22 | 0,13 |
| 1008 | 1028,56 | 60,21 | 60,02 | 61,19 | 60,47 | 0,63 | 0,36 |

Tabela A.13. Resultados para suco de laranja a 55 °Brix e temperatura de 60° C, no reômetro Contraves - sistema MS-DIN 145

| Taxa de Deformação (s^{-1}) | Taxa de Deformação corrigida (s^{-1}) | τ_1 (Pa) | τ_2 (Pa) | τ_3 (Pa) | Valor Médio | Desvio padrão | Erro padrão |
|---------------------------------|---|---------------|---------------|---------------|-------------|---------------|-------------|
| 6,65 | 6,76 | 1,95 | 2,15 | 2,15 | 2,08 | 0,11 | 0,06 |
| 9,51 | 9,67 | 2,35 | 2,54 | 2,54 | 2,48 | 0,11 | 0,06 |
| 13,61 | 13,85 | 2,93 | 3,13 | 3,13 | 3,06 | 0,11 | 0,06 |
| 19,48 | 19,82 | 3,52 | 3,71 | 3,71 | 3,65 | 0,11 | 0,06 |
| 27,9 | 28,38 | 4,30 | 4,50 | 4,50 | 4,43 | 0,11 | 0,06 |
| 39,9 | 40,59 | 5,28 | 5,47 | 5,67 | 5,47 | 0,19 | 0,11 |
| 57,2 | 58,19 | 6,65 | 6,84 | 6,84 | 6,78 | 0,11 | 0,06 |
| 81,8 | 83,22 | 8,41 | 8,41 | 8,60 | 8,47 | 0,11 | 0,06 |
| 117,1 | 119,14 | 10,36 | 10,56 | 10,75 | 10,56 | 0,19 | 0,11 |
| 167,6 | 170,52 | 13,10 | 13,49 | 13,49 | 13,36 | 0,22 | 0,13 |
| 240 | 244,17 | 16,81 | 17,01 | 17,01 | 16,94 | 0,11 | 0,06 |
| 343 | 348,97 | 21,50 | 21,70 | 21,70 | 21,63 | 0,11 | 0,06 |
| 492 | 500,56 | 27,76 | 27,76 | 27,96 | 27,83 | 0,11 | 0,06 |
| 704 | 716,25 | 36,17 | 36,17 | 36,36 | 36,23 | 0,11 | 0,06 |
| 1008 | 1025,54 | 48,48 | 49,07 | 48,68 | 48,74 | 0,30 | 0,17 |
| -- | -- | -- | -- | -- | -- | -- | -- |
| 6,65 | 6,76 | 1,76 | 1,76 | 1,95 | 1,82 | 0,11 | 0,06 |
| 9,51 | 9,67 | 1,95 | 2,15 | 2,15 | 2,08 | 0,11 | 0,06 |
| 13,61 | 13,85 | 2,54 | 2,54 | 2,74 | 2,61 | 0,11 | 0,06 |
| 19,48 | 19,82 | 2,93 | 3,13 | 3,13 | 3,06 | 0,11 | 0,06 |
| 27,9 | 28,38 | 3,71 | 3,91 | 3,91 | 3,84 | 0,11 | 0,06 |
| 39,9 | 40,59 | 4,69 | 4,69 | 4,89 | 4,76 | 0,11 | 0,06 |
| 57,2 | 58,19 | 5,86 | 6,06 | 6,06 | 5,99 | 0,11 | 0,06 |
| 81,8 | 83,22 | 7,43 | 7,62 | 7,62 | 7,56 | 0,11 | 0,06 |
| 117,1 | 119,14 | 9,38 | 9,58 | 9,58 | 9,51 | 0,11 | 0,06 |
| 167,6 | 170,52 | 12,12 | 12,12 | 12,32 | 12,19 | 0,11 | 0,06 |
| 240 | 244,17 | 15,44 | 15,64 | 15,64 | 15,57 | 0,11 | 0,06 |
| 343 | 348,97 | 20,14 | 20,33 | 20,33 | 20,27 | 0,11 | 0,06 |
| 492 | 500,56 | 26,78 | 27,37 | 26,78 | 26,98 | 0,34 | 0,19 |
| 704 | 716,25 | 35,78 | 35,78 | 35,78 | 35,78 | 0 | 0 |
| 1008 | 1025,54 | 48,48 | 49,07 | 48,68 | 48,74 | 0,30 | 0,17 |

Tabela A.14. Resultados para suco de laranja a 55 °Brix e temperatura de 70° C, no reômetro Contraves - sistema MS-DIN 145

| Taxa de Deformação (s^{-1}) | Taxa de Deformação corrigida (s^{-1}) | τ_1 (Pa) | τ_2 (Pa) | Valor Médio | Desvio padrão | Erro padrão |
|---------------------------------|---|---------------|---------------|-------------|---------------|-------------|
| 6,65 | 6,76 | 1,76 | 1,76 | 1,76 | 0 | 0 |
| 9,51 | 9,66 | 1,95 | 1,95 | 1,95 | 1,85E-8 | 1,31E-8 |
| 13,61 | 13,83 | 2,35 | 2,35 | 2,35 | 2,52E-8 | 1,78E-8 |
| 19,48 | 19,79 | 2,93 | 2,74 | 2,83 | 0,14 | 0,10 |
| 27,9 | 28,35 | 3,52 | 3,32 | 3,42 | 0,14 | 0,10 |
| 39,9 | 40,54 | 4,30 | 4,10 | 4,20 | 0,14 | 0,10 |
| 57,2 | 58,11 | 5,28 | 5,08 | 5,18 | 0,14 | 0,10 |
| 81,8 | 83,11 | 6,45 | 6,45 | 6,45 | 2,87E-8 | 2,03E-8 |
| 117,1 | 118,97 | 8,21 | 8,01 | 8,11 | 0,14 | 0,10 |
| 167,6 | 170,28 | 10,36 | 10,17 | 10,26 | 0,14 | 0,10 |
| 240 | 243,84 | 13,10 | 12,90 | 13,00 | 0,14 | 0,10 |
| 343 | 348,49 | 17,01 | 16,81 | 16,91 | 0,14 | 0,10 |
| 492 | 499,87 | 22,09 | 21,50 | 21,80 | 0,41 | 0,29 |
| 704 | 715,26 | 29,13 | 28,54 | 28,84 | 0,41 | 0,29 |
| 1008 | 1024,13 | 39,88 | 39,10 | 39,49 | 0,55 | 0,39 |
| -- | -- | -- | -- | -- | -- | -- |
| 6,65 | 6,76 | 1,56 | 1,37 | 1,47 | 0,14 | 0,10 |
| 9,51 | 9,66 | 1,95 | 1,76 | 1,85 | 0,14 | 0,10 |
| 13,61 | 13,83 | 2,15 | 1,95 | 2,05 | 0,14 | 0,10 |
| 19,48 | 19,79 | 2,74 | 2,35 | 2,54 | 0,28 | 0,19 |
| 27,9 | 28,35 | 3,13 | 2,93 | 3,03 | 0,14 | 0,10 |
| 39,9 | 40,54 | 3,91 | 3,71 | 3,81 | 0,14 | 0,10 |
| 57,2 | 58,11 | 4,89 | 4,50 | 4,69 | 0,28 | 0,19 |
| 81,8 | 83,11 | 6,06 | 5,86 | 5,96 | 0,14 | 0,10 |
| 117,1 | 118,97 | 7,62 | 7,23 | 7,43 | 0,28 | 0,19 |
| 167,6 | 170,28 | 9,77 | 9,38 | 9,58 | 0,28 | 0,19 |
| 240 | 243,84 | 12,51 | 12,12 | 12,31 | 0,28 | 0,19 |
| 343 | 348,49 | 16,23 | 15,64 | 15,93 | 0,41 | 0,29 |
| 492 | 499,87 | 21,31 | 20,92 | 21,11 | 0,28 | 0,19 |
| 704 | 715,26 | 28,93 | 28,15 | 28,54 | 0,55 | 0,39 |
| 1008 | 1024,13 | 39,88 | 39,10 | 39,49 | 0,55 | 0,39 |

Tabela A.15. Resultados para suco de laranja a 55 °Brix e temperatura de 80° C, no reômetro Contraves - sistema MS-DIN 145

| Taxa de Deformação (s^{-1}) | Taxa de Deformação corrigida (s^{-1}) | τ_1 (Pa) | τ_2 (Pa) | τ_3 (Pa) | Valor Médio | Desvio padrão | Erro padrão |
|---------------------------------|---|---------------|---------------|---------------|-------------|---------------|-------------|
| 6,65 | 6,75 | 1,95 | 1,95 | 1,76 | 0 | 0 | -- |
| 9,51 | 9,65 | 2,15 | 2,15 | 1,95 | 2,08 | 0,11 | 0,06 |
| 13,61 | 13,82 | 2,54 | 2,35 | 2,35 | 2,41 | 0,11 | 0,06 |
| 19,48 | 19,78 | 2,93 | 2,74 | 2,74 | 2,80 | 0,11 | 0,06 |
| 27,9 | 28,33 | 3,52 | 3,32 | 3,32 | 3,39 | 0,11 | 0,06 |
| 39,9 | 40,51 | 4,10 | 3,91 | 3,91 | 3,97 | 0,11 | 0,06 |
| 57,2 | 58,07 | 5,08 | 4,69 | 4,69 | 4,82 | 0,22 | 0,13 |
| 81,8 | 83,05 | 6,26 | 5,67 | 6,06 | 5,99 | 0,30 | 0,17 |
| 117,1 | 118,89 | 7,62 | 7,04 | 7,23 | 7,30 | 0,30 | 0,17 |
| 167,6 | 170,16 | 9,58 | 8,80 | 9,19 | 9,19 | 0,39 | 0,22 |
| 240 | 243,67 | 11,14 | 11,14 | 11,73 | 11,60 | 0,41 | 0,23 |
| 343 | 348,25 | 15,05 | 14,08 | 14,86 | 14,66 | 0,52 | 0,30 |
| 492 | 499,53 | 19,35 | 18,18 | 19,16 | 18,90 | 0,63 | 0,36 |
| 704 | 714,77 | 25,41 | 24,44 | 25,02 | 24,96 | 0,49 | 0,28 |
| 1008 | 1023,42 | 36,95 | 36,56 | 36,36 | 36,62 | 0,30 | 0,17 |
| -- | -- | -- | -- | -- | -- | -- | -- |
| 6,65 | 6,75 | 1,95 | 1,95 | 1,37 | 1,76 | 0,34 | 0,19 |
| 9,51 | 9,65 | 2,15 | 2,15 | 1,56 | 1,95 | 0,34 | 0,19 |
| 13,61 | 13,82 | 2,34 | 2,35 | 1,95 | 2,21 | 0,22 | 0,13 |
| 19,48 | 19,78 | 2,74 | 2,74 | 2,15 | 2,54 | 0,34 | 0,19 |
| 27,9 | 28,33 | 3,13 | 3,13 | 2,74 | 3,00 | 0,22 | 0,13 |
| 39,9 | 40,51 | 3,91 | 3,71 | 3,32 | 3,65 | 0,30 | 0,17 |
| 57,2 | 58,07 | 4,50 | 4,50 | 4,10 | 4,37 | 0,22 | 0,13 |
| 81,8 | 83,05 | 5,67 | 5,47 | 5,28 | 5,47 | 0,19 | 0,11 |
| 117,1 | 118,89 | 7,04 | 6,84 | 6,65 | 6,84 | 0,19 | 0,11 |
| 167,6 | 170,16 | 8,80 | 8,60 | 8,41 | 8,60 | 0,19 | 0,11 |
| 240 | 243,67 | 11,14 | 10,95 | 10,94 | 11,01 | 0,11 | 0,06 |
| 343 | 348,25 | 14,47 | 14,27 | 14,08 | 14,27 | 0,19 | 0,11 |
| 492 | 499,53 | 18,96 | 18,77 | 18,57 | 18,77 | 0,19 | 0,11 |
| 704 | 714,77 | 25,41 | 25,02 | 25,22 | 25,22 | 0,19 | 0,11 |
| 1008 | 1023,42 | 36,95 | 36,56 | 36,36 | 36,62 | 0,30 | 0,17 |

Tabela A.16. Resultados para suco de laranja a 64,8 °Brix e temperatura de 50° C, no reômetro Contraves - sistema MS-DIN 145

| Taxa de Deformação (s^{-1}) | Taxa de Deformação corrigida (s^{-1}) | τ_1 (Pa) | τ_2 (Pa) | τ_3 (Pa) | Valor Médio | Desvio padrão | Erro padrão |
|---------------------------------|---|---------------|---------------|---------------|-------------|---------------|-------------|
| 6,65 | 6,80 | 8,80 | 8,60 | 8,60 | 8,67 | 0,11 | 0,06 |
| 9,51 | 9,73 | 10,56 | 10,56 | 10,36 | 10,49 | 0,11 | 0,06 |
| 13,61 | 13,92 | 12,71 | 12,51 | 12,51 | 12,58 | 0,11 | 0,06 |
| 19,48 | 19,93 | 15,25 | 15,05 | 15,05 | 15,12 | 0,11 | 0,06 |
| 27,9 | 28,54 | 18,38 | 18,38 | 18,38 | 18,38 | 0 | 0 |
| 39,9 | 40,82 | 22,29 | 22,09 | 22,09 | 22,16 | 0,11 | 0,06 |
| 57,2 | 58,52 | 27,37 | 26,98 | 26,98 | 27,11 | 0,22 | 0,13 |
| 81,8 | 83,69 | 33,23 | 33,23 | 33,03 | 33,17 | 0,11 | 0,06 |
| 117,1 | 119,80 | 40,86 | 40,86 | 40,47 | 40,73 | 0,22 | 0,13 |
| 167,6 | 171,47 | 50,63 | 50,44 | 50,05 | 50,37 | 0,30 | 0,17 |
| 240 | 245,54 | 62,56 | 62,36 | 61,97 | 62,30 | 0,30 | 0,17 |
| 343 | 350,92 | 78,00 | 77,42 | 77,03 | 77,48 | 0,49 | 0,28 |
| 492 | 503,36 | 96,97 | 96,38 | 95,99 | 96,45 | 0,49 | 0,28 |
| 704 | 720,26 | 121,60 | 121,01 | 120,42 | 121,01 | 0,59 | 0,34 |
| 1008 | 1031,28 | 152,88 | 152,49 | 151,51 | 152,29 | 0,70 | 0,41 |
| -- | -- | -- | -- | -- | -- | -- | -- |
| 6,65 | 6,80 | 6,45 | 6,45 | 6,45 | 6,45 | 2,49E-8 | 1,44E-8 |
| 9,51 | 9,73 | 8,01 | 8,01 | 7,82 | 7,95 | 0,11 | 0,06 |
| 13,61 | 13,92 | 9,56 | 9,77 | 9,58 | 9,64 | 0,11 | 0,06 |
| 19,48 | 19,93 | 11,73 | 11,92 | 11,73 | 11,79 | 0,11 | 0,06 |
| 27,9 | 28,54 | 14,66 | 14,66 | 14,47 | 14,60 | 0,11 | 0,06 |
| 39,9 | 40,82 | 17,99 | 18,18 | 17,79 | 17,99 | 0,19 | 0,11 |
| 57,2 | 58,52 | 22,29 | 22,29 | 22,09 | 22,22 | 0,11 | 0,06 |
| 81,8 | 83,69 | 27,76 | 27,76 | 27,56 | 27,69 | 0,11 | 0,06 |
| 117,1 | 119,80 | 34,60 | 34,80 | 34,60 | 34,67 | 0,11 | 0,06 |
| 167,6 | 171,47 | 43,60 | 43,60 | 43,40 | 43,53 | 0,11 | 0,06 |
| 240 | 245,54 | 55,33 | 55,13 | 54,93 | 55,13 | 0,19 | 0,11 |
| 343 | 350,92 | 70,38 | 70,38 | 69,99 | 70,25 | 0,22 | 0,13 |
| 492 | 503,36 | 90,32 | 90,12 | 89,54 | 89,99 | 0,41 | 0,23 |
| 704 | 720,26 | 116,91 | 116,52 | 115,93 | 116,45 | 0,49 | 0,28 |
| 1008 | 1031,28 | 152,88 | 152,49 | 151,51 | 152,29 | 0,70 | 0,41 |

Tabela A.17. Resultados para suco de laranja a 64,8 °Brix e temperatura de 60° C, no reômetro Contraves - sistema MS-DIN 145

| Taxa de Deformação (s^{-1}) | Taxa de Deformação corrigida (s^{-1}) | τ_1 (Pa) | τ_2 (Pa) | τ_3 (Pa) | Valor Médio | Desvio padrão | Erro padrão |
|---------------------------------|---|---------------|---------------|---------------|-------------|---------------|-------------|
| 6,65 | 6,80 | 6,65 | 6,65 | 5,67 | 6,32 | 0,56 | 0,33 |
| 9,51 | 9,72 | 8,02 | 8,02 | 6,84 | 7,62 | 0,68 | 0,39 |
| 13,61 | 13,91 | 9,58 | 9,78 | 8,41 | 9,25 | 0,74 | 0,43 |
| 19,48 | 19,91 | 11,73 | 11,93 | 10,17 | 11,27 | 0,96 | 0,56 |
| 27,9 | 28,52 | 14,27 | 14,66 | 12,51 | 13,82 | 1,15 | 0,66 |
| 39,9 | 40,78 | 17,40 | 17,79 | 15,25 | 16,81 | 1,37 | 0,79 |
| 57,2 | 58,46 | 21,31 | 21,90 | 18,77 | 20,66 | 1,66 | 0,96 |
| 81,8 | 83,61 | 26,20 | 26,78 | 23,26 | 25,42 | 1,89 | 1,09 |
| 117,1 | 119,69 | 32,26 | 33,24 | 28,93 | 31,48 | 2,25 | 1,30 |
| 167,6 | 171,30 | 40,08 | 41,25 | 36,17 | 39,17 | 2,66 | 1,54 |
| 240 | 245,30 | 49,66 | 51,03 | 45,36 | 48,68 | 2,96 | 1,71 |
| 343 | 350,58 | 61,78 | 63,34 | 56,89 | 60,67 | 3,37 | 1,94 |
| 492 | 502,87 | 76,83 | 78,98 | 71,94 | 75,92 | 3,61 | 2,08 |
| 704 | 719,56 | 96,19 | 98,73 | 89,34 | 94,75 | 4,85 | 2,80 |
| 1008 | 1030,28 | 121,21 | 124,14 | 117,10 | 120,82 | 3,54 | 2,04 |
| — | — | — | — | — | — | — | — |
| 6,65 | 6,80 | 5,08 | 5,08 | 4,30 | 4,82 | 0,45 | 0,26 |
| 9,51 | 9,72 | 6,26 | 6,06 | 5,28 | 5,87 | 0,52 | 0,30 |
| 13,61 | 13,91 | 7,62 | 7,43 | 6,45 | 7,17 | 0,63 | 0,36 |
| 19,48 | 19,91 | 9,19 | 9,19 | 8,02 | 8,80 | 0,68 | 0,39 |
| 27,9 | 28,52 | 11,34 | 11,53 | 9,97 | 10,95 | 0,85 | 0,49 |
| 39,9 | 40,78 | 14,08 | 14,27 | 12,51 | 13,62 | 0,96 | 0,56 |
| 57,2 | 58,46 | 17,40 | 17,60 | 15,64 | 16,88 | 1,08 | 0,62 |
| 81,8 | 83,61 | 21,70 | 22,09 | 19,75 | 21,18 | 1,26 | 0,73 |
| 117,1 | 119,69 | 27,17 | 27,57 | 25,02 | 26,59 | 1,37 | 0,79 |
| 167,6 | 171,30 | 34,02 | 34,60 | 31,67 | 33,43 | 1,55 | 0,90 |
| 240 | 245,30 | 43,01 | 43,79 | 40,27 | 42,36 | 1,85 | 1,07 |
| 343 | 350,58 | 54,94 | 56,30 | 51,81 | 54,35 | 2,30 | 1,33 |
| 492 | 502,87 | 70,77 | 72,53 | 67,25 | 70,18 | 2,69 | 1,55 |
| 704 | 719,56 | 92,08 | 94,43 | 88,17 | 91,56 | 3,16 | 1,82 |
| 1008 | 1030,28 | 121,21 | 124,14 | 117,10 | 120,82 | 3,54 | 2,04 |

Tabela A.18. Resultados para suco de laranja a 64,8 °Brix e temperatura de 70° C, no reômetro Contraves - sistema MS-DIN 145

| Taxa de Deformação (s^{-1}) | Taxa de Deformação corrigida (s^{-1}) | τ_1 (Pa) | τ_2 (Pa) | τ_3 (Pa) | Valor Médio | Desvio padrão | Erro padrão |
|---------------------------------|---|---------------|---------------|---------------|-------------|---------------|-------------|
| 6,65 | 6,80 | 5,28 | 5,47 | 5,87 | 5,54 | 0,30 | 0,17 |
| 9,51 | 9,73 | 6,26 | 6,45 | 7,04 | 6,58 | 0,41 | 0,23 |
| 13,61 | 13,92 | 7,43 | 7,82 | 8,21 | 7,82 | 0,39 | 0,23 |
| 19,48 | 19,92 | 8,99 | 9,38 | 9,78 | 9,38 | 0,39 | 0,23 |
| 27,9 | 28,53 | 10,75 | 11,34 | 11,73 | 11,27 | 0,49 | 0,28 |
| 39,9 | 40,81 | 13,10 | 13,69 | 14,27 | 13,69 | 0,59 | 0,34 |
| 57,2 | 58,50 | 16,03 | 16,81 | 17,40 | 16,75 | 0,69 | 0,40 |
| 81,8 | 83,66 | 19,75 | 20,72 | 21,11 | 20,53 | 0,70 | 0,41 |
| 117,1 | 119,76 | 24,44 | 25,42 | 26,20 | 25,35 | 0,88 | 0,51 |
| 167,6 | 171,40 | 30,30 | 31,87 | 32,45 | 31,54 | 1,11 | 0,64 |
| 240 | 245,45 | 37,34 | 39,10 | 39,88 | 38,77 | 1,30 | 0,75 |
| 343 | 350,79 | 46,33 | 48,68 | 49,07 | 48,03 | 1,48 | 0,85 |
| 492 | 503,17 | 57,87 | 60,61 | 61,00 | 59,82 | 1,70 | 0,98 |
| 704 | 719,98 | 72,33 | 75,66 | 76,44 | 74,81 | 2,18 | 1,26 |
| 1008 | 1030,88 | 91,89 | 95,99 | 96,58 | 94,82 | 2,56 | 1,48 |
| -- | -- | -- | -- | -- | -- | -- | -- |
| 6,65 | 6,80 | 3,32 | 3,91 | 5,28 | 4,17 | 1,00 | 0,58 |
| 9,51 | 9,73 | 4,69 | 4,89 | 5,28 | 4,95 | 0,30 | 0,17 |
| 13,61 | 13,92 | 5,67 | 5,87 | 6,26 | 5,93 | 0,30 | 0,17 |
| 19,48 | 19,92 | 7,04 | 7,23 | 7,62 | 7,30 | 0,30 | 0,17 |
| 27,9 | 28,53 | 8,60 | 8,80 | 9,19 | 8,86 | 0,30 | 0,17 |
| 39,9 | 40,81 | 10,56 | 10,95 | 11,53 | 11,01 | 0,49 | 0,28 |
| 57,2 | 58,50 | 13,10 | 13,49 | 14,08 | 13,55 | 0,49 | 0,28 |
| 81,8 | 83,66 | 16,23 | 16,81 | 17,60 | 16,88 | 0,69 | 0,40 |
| 117,1 | 119,76 | 20,14 | 20,92 | 21,70 | 20,92 | 0,78 | 0,45 |
| 167,6 | 171,40 | 25,22 | 26,20 | 27,17 | 26,20 | 0,98 | 0,56 |
| 240 | 245,45 | 31,67 | 32,65 | 34,02 | 32,78 | 1,18 | 0,68 |
| 343 | 350,79 | 40,47 | 41,64 | 43,21 | 41,77 | 1,37 | 0,79 |
| 492 | 503,17 | 52,39 | 53,76 | 55,52 | 53,89 | 1,57 | 0,91 |
| 704 | 719,98 | 68,82 | 70,18 | 72,53 | 70,51 | 1,88 | 1,08 |
| 1008 | 1030,88 | 91,89 | 95,99 | 96,58 | 94,82 | 2,56 | 1,48 |

Tabela A.19. Resultados para suco de laranja a 35 °Brix e temperatura de 50° C, no reômetro Contraves - sistema MS-DIN 1075

| Taxa de Deformação (s^{-1}) | τ_1 (Pa) | τ_2 (Pa) | τ_3 (Pa) | Valor Médio (Pa) | Desvio padrão | Erro padrão |
|---------------------------------|---------------|---------------|---------------|------------------|---------------|-------------|
| 24 | 0,65 | 0,72 | 0,72 | 0,70 | 0,04 | 0,02 |
| 34,4 | 0,79 | 0,85 | 0,92 | 0,85 | 0,07 | 0,04 |
| 49,2 | 1,05 | 1,12 | 1,31 | 1,16 | 0,14 | 0,08 |
| 70,5 | 1,31 | 1,44 | 1,51 | 1,42 | 0,10 | 0,06 |
| 100,9 | 1,57 | 1,77 | 1,84 | 1,73 | 0,14 | 0,08 |
| 144,3 | 2,03 | 2,10 | 2,29 | 2,14 | 0,14 | 0,08 |
| 207 | 2,56 | 2,69 | 2,89 | 2,71 | 0,16 | 0,09 |
| 296 | 3,28 | 3,41 | 3,61 | 3,43 | 0,16 | 0,09 |
| 423 | 4,20 | 4,39 | 4,59 | 4,39 | 0,19 | 0,11 |
| 606 | 5,51 | 5,64 | 5,84 | 5,67 | 0,16 | 0,09 |
| 868 | 7,22 | 7,35 | 7,61 | 7,39 | 0,20 | 0,12 |
| 1242 | 9,45 | 9,58 | 9,91 | 9,65 | 0,24 | 0,14 |
| 1779 | 12,54 | 12,73 | 13,06 | 12,78 | 0,26 | 0,15 |
| 2540 | 16,80 | 17,07 | 17,39 | 17,09 | 0,29 | 0,17 |
| 3640 | 22,78 | 23,17 | 23,49 | 23,15 | 0,36 | 0,21 |
| -- | -- | -- | 0 | 0 | 0 | 0 |
| 24 | 0,59 | 0,66 | 0,79 | 0,68 | 0,10 | 0,06 |
| 34,4 | 0,72 | 0,85 | 0,92 | 0,83 | 0,10 | 0,06 |
| 49,2 | 0,92 | 1,12 | 1,05 | 1,03 | 0,10 | 0,06 |
| 70,5 | 1,12 | 1,25 | 1,31 | 1,22 | 0,10 | 0,06 |
| 100,9 | 1,51 | 1,51 | 1,77 | 1,59 | 0,15 | 0,09 |
| 144,3 | 1,90 | 2,10 | 2,10 | 2,03 | 0,11 | 0,07 |
| 207 | 2,43 | 2,63 | 2,69 | 2,58 | 0,14 | 0,08 |
| 296 | 3,15 | 3,28 | 3,41 | 3,28 | 0,13 | 0,08 |
| 423 | 4,07 | 4,20 | 4,33 | 4,20 | 0,13 | 0,08 |
| 606 | 5,32 | 5,45 | 5,64 | 5,47 | 0,16 | 0,09 |
| 868 | 7,02 | 7,15 | 7,35 | 7,18 | 0,16 | 0,09 |
| 1242 | 9,25 | 9,45 | 9,65 | 9,45 | 0,19 | 0,11 |
| 1779 | 12,41 | 12,60 | 12,67 | 12,56 | 0,14 | 0,08 |
| 2540 | 16,67 | 16,93 | 17,26 | 16,96 | 0,29 | 0,17 |
| 3640 | 22,78 | 23,17 | 23,49 | 23,15 | 0,36 | 0,20 |

Tabela A.20. Resultados para suco de laranja a 35 °Brix e temperatura de 60° C, no reômetro Contraves - sistema MS-DIN 1075

| Taxa de Deformação (s^{-1}) | τ_1 (Pa) | τ_2 (Pa) | τ_3 (Pa) | Valor Médio (Pa) | Desvio padrão | Erro padrão |
|---------------------------------|---------------|---------------|---------------|------------------|---------------|-------------|
| 24 | 0,52 | 0,52 | 0,52 | 0,52 | 5,02E-9 | 2,90E-9 |
| 34,4 | 0,664 | 0,66 | 0,66 | 0,66 | 0 | 0 |
| 49,2 | 0,85 | 0,85 | 0,85 | 0,85 | 0 | 0 |
| 70,5 | 1,05 | 1,11 | 1,11 | 1,09 | 0,04 | 0,02 |
| 100,9 | 1,31 | 1,38 | 1,38 | 1,36 | 0,04 | 0,02 |
| 144,3 | 1,71 | 1,71 | 1,71 | 1,71 | 0 | 0 |
| 207 | 2,17 | 2,17 | 2,17 | 2,17 | 1,24E-8 | 7,21E-9 |
| 296 | 2,69 | 2,69 | 2,76 | 2,71 | 0,04 | 0,02 |
| 423 | 3,48 | 3,48 | 3,54 | 3,50 | 0,04 | 0,02 |
| 606 | 4,53 | 4,53 | 4,59 | 4,55 | 0,04 | 0,02 |
| 868 | 5,91 | 5,91 | 5,91 | 5,91 | 1,42E-7 | 8,22E-8 |
| 1242 | 7,74 | 7,74 | 7,74 | 7,74 | 0 | 0 |
| 1779 | 10,30 | 10,17 | 10,24 | 10,24 | 0,06 | 0,04 |
| 2540 | 13,78 | 13,65 | 13,65 | 13,69 | 0,07 | 0,04 |
| 3640 | 18,71 | 18,44 | 18,25 | 18,47 | 0,23 | 0,13 |
| -- | -- | -- | -- | -- | -- | -- |
| 24 | 0,46 | 0,52 | 0,52 | 0,50 | 0,04 | 0,02 |
| 34,4 | 0,66 | 0,66 | 0,66 | 0,66 | 0 | 0 |
| 49,2 | 0,79 | 0,79 | 0,92 | 0,83 | 0,07 | 0,04 |
| 70,5 | 0,92 | 0,98 | 1,05 | 0,98 | 0,06 | 0,04 |
| 100,9 | 1,25 | 1,25 | 1,31 | 1,27 | 0,04 | 0,02 |
| 144,3 | 1,57 | 1,57 | 1,64 | 1,59 | 0,04 | 0,02 |
| 207 | 1,97 | 2,03 | 2,10 | 2,03 | 0,06 | 0,04 |
| 296 | 2,56 | 2,56 | 2,62 | 2,58 | 0,04 | 0,02 |
| 423 | 3,35 | 3,35 | 3,41 | 3,37 | 0,04 | 0,02 |
| 606 | 4,33 | 4,33 | 4,33 | 4,33 | 2,49E-8 | 1,44E-8 |
| 868 | 5,71 | 5,71 | 5,71 | 5,71 | 0 | 0 |
| 1242 | 7,55 | 7,55 | 7,55 | 7,55 | 0 | 0 |
| 1779 | 10,11 | 10,04 | 10,04 | 10,06 | 0,04 | 0,02 |
| 2540 | 13,65 | 13,52 | 13,46 | 13,54 | 0,10 | 0,06 |
| 3640 | 18,71 | 18,44 | 18,25 | 18,47 | 0,23 | 0,13 |

Tabela A.21. Resultados para suco de laranja a 35 °Brix e temperatura de 70° C, no reômetro Contraves - sistema MS-DIN 1075

| Taxa de Deformação (s^{-1}) | τ_1 (Pa) | τ_2 (Pa) | τ_3 (Pa) | Valor Médio (Pa) | Desvio padrão | Erro padrão |
|---------------------------------|---------------|---------------|---------------|------------------|---------------|-------------|
| 24 | 0,52 | 0,664 | 0,72 | 0,63 | 0,10 | 0,06 |
| 34,4 | 0,66 | 0,79 | 0,85 | 0,77 | 0,10 | 0,07 |
| 49,2 | 0,85 | 0,98 | 1,12 | 0,98 | 0,13 | 0,07 |
| 70,5 | 1,05 | 1,18 | 1,31 | 1,18 | 0,13 | 0,07 |
| 100,9 | 1,31 | 1,38 | 1,57 | 1,42 | 0,14 | 0,08 |
| 144,3 | 1,64 | 1,77 | 1,90 | 1,77 | 0,13 | 0,07 |
| 207 | 2,17 | 2,17 | 2,36 | 2,23 | 0,11 | 0,06 |
| 296 | 2,76 | 2,76 | 3,02 | 2,84 | 0,15 | 0,09 |
| 423 | 3,54 | 3,48 | 3,81 | 3,61 | 0,17 | 0,10 |
| 606 | 4,53 | 4,39 | 4,79 | 4,57 | 0,20 | 0,11 |
| 868 | 5,91 | 5,78 | 6,10 | 5,93 | 0,16 | 0,09 |
| 1242 | 7,74 | 7,55 | 7,88 | 7,72 | 0,16 | 0,09 |
| 1779 | 10,30 | 10,04 | 10,30 | 10,22 | 0,15 | 0,09 |
| 2540 | 13,78 | 13,52 | 13,78 | 13,69 | 0,15 | 0,09 |
| 3640 | 18,71 | 18,64 | 18,90 | 18,75 | 0,14 | 0,08 |
| -- | -- | -- | -- | -- | -- | -- |
| 24 | 0,59 | 0,59 | 0,66 | 0,61 | 0,04 | 0,02 |
| 34,4 | 0,72 | 0,79 | 0,85 | 0,79 | 0,06 | 0,04 |
| 49,2 | 0,85 | 0,92 | 0,92 | 0,89 | 0,03 | 0,02 |
| 70,5 | 1,05 | 1,11 | 1,18 | 1,12 | 0,06 | 0,04 |
| 100,9 | 1,31 | 1,38 | 1,57 | 1,42 | 0,14 | 0,08 |
| 144,3 | 1,64 | 1,64 | 1,77 | 1,68 | 0,07 | 0,04 |
| 207 | 2,10 | 2,10 | 2,23 | 2,14 | 0,07 | 0,04 |
| 296 | 2,63 | 2,62 | 2,82 | 2,69 | 0,11 | 0,06 |
| 423 | 3,41 | 3,35 | 3,54 | 3,43 | 0,10 | 0,06 |
| 606 | 4,39 | 4,33 | 4,53 | 4,42 | 0,10 | 0,06 |
| 868 | 5,78 | 5,64 | 5,91 | 5,78 | 0,13 | 0,07 |
| 1242 | 7,68 | 7,42 | 7,68 | 7,59 | 0,15 | 0,09 |
| 1779 | 10,24 | 9,91 | 10,17 | 10,11 | 0,17 | 0,10 |
| 2540 | 13,72 | 13,39 | 13,72 | 13,61 | 0,19 | 0,11 |
| 3640 | 18,71 | 18,64 | 18,90 | 18,75 | 0,14 | 0,08 |

Tabela A.22. Resultados para suco de laranja a 35 °Brix e temperatura de 80° C, no reômetro Contraves - sistema MS-DIN 1075

| Taxa de Deformação (s^{-1}) | τ_1 (Pa) | τ_2 (Pa) | τ_3 (Pa) | Valor Médio (Pa) | Desvio padrão | Erro padrão |
|---------------------------------|---------------|---------------|---------------|------------------|---------------|-------------|
| 24 | 0,46 | 0,39 | 0,39 | 0,41 | 0,04 | 0,02 |
| 34,4 | 0,66 | 0,52 | 0,52 | 0,57 | 0,07 | 0,04 |
| 49,2 | 0,72 | 0,66 | 0,72 | 0,70 | 0,04 | 0,02 |
| 70,5 | 0,92 | 0,85 | 0,85 | 0,87 | 0,04 | 0,02 |
| 100,9 | 1,11 | 1,11 | 1,11 | 1,11 | 0 | 0 |
| 144,3 | 1,38 | 1,38 | 1,38 | 1,38 | 1,44E-8 | 8,35E-9 |
| 207 | 1,77 | 1,77 | 1,77 | 1,77 | 0 | 0 |
| 296 | 2,23 | 2,23 | 2,29 | 2,25 | 0,04 | 0,02 |
| 423 | 2,82 | 2,89 | 2,89 | 2,87 | 0,04 | 0,02 |
| 606 | 3,61 | 3,67 | 3,67 | 3,65 | 0,04 | 0,02 |
| 868 | 4,66 | 4,79 | 4,79 | 4,75 | 0,07 | 0,04 |
| 1242 | 6,10 | 6,30 | 6,30 | 6,23 | 0,11 | 0,06 |
| 1779 | 8,14 | 8,34 | 8,47 | 8,31 | 0,16 | 0,09 |
| 2540 | 11,03 | 11,22 | 11,42 | 11,22 | 0,19 | 0,11 |
| 3640 | 15,29 | 15,88 | 15,69 | 15,62 | 0,30 | 0,17 |
| -- | -- | -- | -- | -- | -- | -- |
| 24 | 0,39 | 0,46 | 0,39 | 0,41 | 0,04 | 0,02 |
| 34,4 | 0,52 | 0,52 | 0,52 | 0,52 | 5,02E-9 | 2,90E-9 |
| 49,2 | 0,66 | 0,66 | 0,66 | 0,66 | 0 | 0 |
| 70,5 | 0,85 | 0,85 | 0,85 | 0,85 | 0 | 0 |
| 100,9 | 1,05 | 1,11 | 1,05 | 1,07 | 0,04 | 0,02 |
| 144,3 | 1,31 | 1,38 | 1,378 | 1,36 | 0,04 | 0,02 |
| 207 | 1,71 | 1,77 | 1,71 | 1,73 | 0,04 | 0,02 |
| 296 | 2,17 | 2,23 | 2,23 | 2,21 | 0,04 | 0,02 |
| 423 | 2,76 | 2,89 | 2,82 | 2,82 | 0,06 | 0,04 |
| 606 | 3,54 | 3,67 | 3,61 | 3,61 | 0,06 | 0,04 |
| 868 | 4,59 | 4,79 | 4,73 | 4,70 | 0,10 | 0,06 |
| 1242 | 6,04 | 6,30 | 6,23 | 6,19 | 0,14 | 0,08 |
| 1779 | 8,07 | 8,34 | 8,34 | 8,25 | 0,15 | 0,09 |
| 2540 | 10,96 | 11,29 | 11,29 | 11,18 | 0,19 | 0,11 |
| 3640 | 15,29 | 15,88 | 15,69 | 15,62 | 0,30 | 0,17 |

Tabela A.23. Resultados para suco de laranja a 45 °Brix e temperatura de 50° C, no reômetro Contraves - sistema MS-DIN 1075

| Taxa de Deformação (s^{-1}) | τ_1 (Pa) | τ_2 (Pa) | τ_3 (Pa) | Valor Médio (Pa) | Desvio padrão | Erro padrão |
|---------------------------------|---------------|---------------|---------------|------------------|---------------|-------------|
| 24 | 1,51 | 1,64 | 1,64 | 1,60 | 0,08 | 0,04 |
| 34,4 | 1,84 | 1,97 | 1,97 | 1,93 | 0,08 | 0,04 |
| 49,2 | 2,30 | 2,49 | 2,49 | 2,43 | 0,11 | 0,07 |
| 70,5 | 2,89 | 3,02 | 3,02 | 2,98 | 0,08 | 0,04 |
| 100,9 | 3,68 | 3,81 | 3,81 | 3,76 | 0,08 | 0,04 |
| 144,3 | 4,66 | 4,92 | 4,92 | 4,84 | 0,15 | 0,09 |
| 207 | 5,97 | 6,17 | 6,17 | 6,10 | 0,11 | 0,07 |
| 296 | 7,68 | 7,88 | 7,88 | 7,81 | 0,11 | 0,07 |
| 423 | 9,85 | 10,04 | 10,04 | 9,98 | 0,11 | 0,07 |
| 606 | 12,80 | 12,87 | 12,87 | 12,84 | 0,04 | 0,02 |
| 868 | 16,48 | 16,54 | 16,54 | 16,52 | 0,04 | 0,02 |
| 1242 | 21,40 | 21,40 | 21,40 | 21,40 | 0 | 0 |
| 1779 | 27,83 | 27,70 | 27,70 | 27,74 | 0,08 | 0,04 |
| 2540 | 36,36 | 36,23 | 36,23 | 36,28 | 0,08 | 0,04 |
| 3640 | 48,05 | 47,92 | 47,92 | 47,96 | 0,08 | 0,04 |
| -- | -- | -- | -- | -- | -- | -- |
| 24 | 1,51 | 1,58 | 1,58 | 1,55 | 0,04 | 0,02 |
| 34,4 | 1,84 | 1,84 | 1,84 | 1,84 | 3,64E-8 | 2,10E-8 |
| 49,2 | 2,23 | 2,36 | 2,36 | 2,32 | 0,08 | 0,04 |
| 70,5 | 2,89 | 2,95 | 2,95 | 2,93 | 0,04 | 0,02 |
| 100,9 | 3,68 | 3,68 | 3,68 | 3,68 | 7,29E-8 | 4,21E-8 |
| 144,3 | 4,59 | 4,59 | 4,59 | 4,59 | 4,84E-9 | 2,79E-9 |
| 207 | 5,78 | 5,78 | 5,78 | 5,78 | 0 | 0 |
| 296 | 7,42 | 7,42 | 7,42 | 7,42 | 5,42E-8 | 3,13E-8 |
| 423 | 9,58 | 9,52 | 9,52 | 9,54 | 0,04 | 0,02 |
| 606 | 12,27 | 12,27 | 12,27 | 12,27 | 2,27E-7 | 1,31E-7 |
| 868 | 16,02 | 15,95 | 15,95 | 15,97 | 0,04 | 0,02 |
| 1242 | 20,87 | 20,81 | 20,81 | 20,83 | 0,04 | 0,02 |
| 1779 | 27,44 | 27,31 | 27,31 | 27,35 | 0,08 | 0,04 |
| 2540 | 36,17 | 35,97 | 35,97 | 36,04 | 0,11 | 0,07 |
| 3640 | 48,05 | 47,92 | 47,92 | 47,96 | 0,08 | 0,04 |

Tabela A.24. Resultados para suco de laranja a 45 °Brix e temperatura de 60° C, no reômetro Contraves - sistema MS-DIN 1075

| Taxa de Deformação (s^{-1}) | τ_1 (Pa) | τ_2 (Pa) | τ_3 (Pa) | Valor Médio (Pa) | Desvio padrão | Erro padrão |
|---------------------------------|---------------|---------------|---------------|------------------|---------------|-------------|
| 24 | 1,38 | 1,31 | 1,25 | 1,31 | 0,06 | 0,04 |
| 34,4 | 1,77 | 1,71 | 1,51 | 1,66 | 0,14 | 0,09 |
| 49,2 | 2,17 | 2,10 | 1,97 | 2,08 | 0,10 | 0,06 |
| 70,5 | 2,69 | 2,62 | 2,43 | 2,58 | 0,14 | 0,08 |
| 100,9 | 3,22 | 3,22 | 3,08 | 3,17 | 0,07 | 0,04 |
| 144,3 | 4,00 | 4,00 | 3,87 | 3,96 | 0,07 | 0,04 |
| 207 | 5,05 | 5,05 | 4,86 | 4,99 | 0,11 | 0,06 |
| 296 | 6,37 | 6,37 | 6,23 | 6,32 | 0,07 | 0,04 |
| 423 | 8,07 | 8,07 | 8,01 | 8,05 | 0,04 | 0,02 |
| 606 | 10,30 | 10,44 | 10,24 | 10,33 | 0,10 | 0,06 |
| 868 | 13,26 | 13,39 | 13,19 | 13,28 | 0,10 | 0,06 |
| 1242 | 17,26 | 17,33 | 17,46 | 17,35 | 0,10 | 0,06 |
| 1779 | 22,32 | 22,64 | 22,45 | 22,47 | 0,16 | 0,09 |
| 2540 | 29,34 | 29,87 | 29,67 | 29,62 | 0,26 | 0,15 |
| 3640 | 39,32 | 39,71 | 39,51 | 39,51 | 0,19 | 0,11 |
| -- | -- | -- | -- | -- | -- | -- |
| 24 | 1,44 | 1,31 | 1,25 | 1,33 | 0,10 | 0,06 |
| 34,4 | 1,64 | 1,64 | 1,57 | 1,62 | 0,04 | 0,02 |
| 49,2 | 2,03 | 2,03 | 1,90 | 1,99 | 0,07 | 0,04 |
| 70,5 | 2,36 | 2,49 | 2,36 | 2,41 | 0,07 | 0,04 |
| 100,9 | 3,08 | 3,08 | 2,95 | 3,04 | 0,07 | 0,04 |
| 144,3 | 3,81 | 3,81 | 3,74 | 3,78 | 0,04 | 0,02 |
| 207 | 4,86 | 4,79 | 4,73 | 4,79 | 0,06 | 0,04 |
| 296 | 6,10 | 6,10 | 6,04 | 6,08 | 0,04 | 0,02 |
| 423 | 7,81 | 7,81 | 7,74 | 7,79 | 0,04 | 0,02 |
| 606 | 10,04 | 10,11 | 10,04 | 10,06 | 0,04 | 0,02 |
| 868 | 12,99 | 13,13 | 13,06 | 13,06 | 0,06 | 0,04 |
| 1242 | 16,93 | 17,13 | 17,07 | 17,04 | 0,10 | 0,06 |
| 1779 | 22,25 | 22,58 | 22,38 | 22,40 | 0,16 | 0,09 |
| 2540 | 29,41 | 29,80 | 29,54 | 29,58 | 0,20 | 0,11 |
| 3640 | 39,32 | 39,71 | 39,51 | 39,51 | 0,19 | 0,11 |

Tabela A.25. Resultados para suco de laranja a 45 °Brix e temperatura de 70° C, no reômetro Contraves - sistema MS-DIN 1075

| Taxa de Deformação (s^{-1}) | τ_1 (Pa) | τ_2 (Pa) | τ_3 (Pa) | Valor Médio (Pa) | Desvio padrão | Erro padrão |
|---------------------------------|---------------|---------------|---------------|------------------|---------------|-------------|
| 24 | 1,18 | 1,18 | 1,11 | 1,16 | 0,04 | 0,02 |
| 34,4 | 1,44 | 1,44 | 1,38 | 1,42 | 0,04 | 0,02 |
| 49,2 | 1,84 | 1,71 | 1,71 | 1,75 | 0,07 | 0,04 |
| 70,5 | 2,23 | 2,23 | 2,17 | 2,21 | 0,04 | 0,02 |
| 100,9 | 2,76 | 2,76 | 2,69 | 2,73 | 0,04 | 0,02 |
| 144,3 | 3,48 | 3,41 | 3,41 | 3,43 | 0,04 | 0,02 |
| 207 | 4,33 | 4,33 | 4,33 | 4,33 | 2,49E-8 | 1,44E-8 |
| 296 | 5,58 | 5,51 | 5,58 | 5,56 | 0,04 | 0,02 |
| 423 | 7,15 | 7,02 | 7,15 | 7,11 | 0,07 | 0,04 |
| 606 | 9,12 | 8,99 | 9,25 | 9,12 | 0,13 | 0,07 |
| 868 | 11,81 | 11,68 | 12,01 | 11,84 | 0,16 | 0,09 |
| 1242 | 15,29 | 15,16 | 15,69 | 15,38 | 0,27 | 0,16 |
| 1779 | 19,95 | 19,89 | 20,48 | 20,11 | 0,32 | 0,19 |
| 2540 | 26,32 | 26,39 | 27,04 | 26,58 | 0,39 | 0,23 |
| 3640 | 35,38 | 35,25 | 36,56 | 35,73 | 0,72 | 0,42 |
| -- | -- | -- | -- | -- | -- | -- |
| 24 | 1,05 | 1,11 | 1,11 | 1,09 | 0,04 | 0,02 |
| 34,4 | 1,31 | 1,31 | 1,44 | 1,36 | 0,07 | 0,04 |
| 49,2 | 1,64 | 1,64 | 1,71 | 1,66 | 0,04 | 0,02 |
| 70,5 | 2,10 | 2,10 | 2,10 | 2,10 | 2,01E-8 | 1,16E-8 |
| 100,9 | 2,62 | 2,62 | 2,69 | 2,65 | 0,04 | 0,02 |
| 144,3 | 3,22 | 3,35 | 3,41 | 3,32 | 0,10 | 0,06 |
| 207 | 4,13 | 4,27 | 4,39 | 4,27 | 0,13 | 0,07 |
| 296 | 5,32 | 5,45 | 5,64 | 5,47 | 0,16 | 0,09 |
| 423 | 6,83 | 6,96 | 7,28 | 7,02 | 0,24 | 0,14 |
| 606 | 8,86 | 9,06 | 9,39 | 9,10 | 0,26 | 0,15 |
| 868 | 11,55 | 11,75 | 12,21 | 11,84 | 0,34 | 0,19 |
| 1242 | 15,09 | 15,36 | 15,95 | 15,47 | 0,44 | 0,25 |
| 1779 | 19,89 | 20,08 | 20,87 | 20,28 | 0,52 | 0,30 |
| 2540 | 26,39 | 26,45 | 27,57 | 26,80 | 0,66 | 0,38 |
| 3640 | 35,38 | 35,25 | 36,56 | 35,73 | 0,72 | 0,42 |

Tabela A.26. Resultados para suco de laranja a 45 °Brix e temperatura de 80° C, no reômetro Contraves - sistema MS-DIN 1075

| Taxa de Deformação (s^{-1}) | τ_1 (Pa) | τ_2 (Pa) | τ_3 (Pa) | Valor Médio (Pa) | Desvio padrão | Erro padrão |
|---------------------------------|---------------|---------------|---------------|------------------|---------------|-------------|
| 24 | 0,98 | 1,05 | 1,05 | 1,03 | 0,04 | 0,02 |
| 34,4 | 1,256 | 1,31 | 1,25 | 1,27 | 0,04 | 0,02 |
| 49,2 | 1,51 | 1,57 | 1,57 | 1,55 | 0,04 | 0,02 |
| 70,5 | 1,84 | 1,90 | 1,90 | 1,88 | 0,04 | 0,02 |
| 100,9 | 2,29 | 2,43 | 2,43 | 2,38 | 0,07 | 0,04 |
| 144,3 | 2,89 | 3,02 | 3,02 | 2,97 | 0,07 | 0,04 |
| 207 | 3,67 | 3,81 | 3,87 | 3,78 | 0,10 | 0,06 |
| 296 | 4,66 | 4,86 | 4,99 | 4,83 | 0,16 | 0,09 |
| 423 | 5,97 | 6,17 | 6,37 | 6,17 | 0,19 | 0,11 |
| 606 | 7,68 | 7,88 | 8,20 | 7,92 | 0,26 | 0,15 |
| 868 | 9,98 | 10,24 | 10,69 | 10,30 | 0,36 | 0,21 |
| 1242 | 13,06 | 13,26 | 13,91 | 13,41 | 0,45 | 0,26 |
| 1779 | 17,19 | 17,39 | 18,31 | 17,63 | 0,59 | 0,34 |
| 2540 | 22,84 | 23,10 | 24,48 | 23,48 | 0,88 | 0,51 |
| 3640 | 30,92 | 31,24 | 32,69 | 31,62 | 0,94 | 0,54 |
| -- | -- | -- | -- | -- | -- | -- |
| 24 | 0,98 | 1,05 | 1,05 | 1,03 | 0,04 | 0,02 |
| 34,4 | 1,25 | 1,25 | 1,25 | 1,25 | 1,64E-8 | 9,51E-9 |
| 49,2 | 1,51 | 1,51 | 1,51 | 1,51 | 0 | 0 |
| 70,5 | 1,90 | 1,84 | 1,90 | 1,88 | 0,04 | 0,02 |
| 100,9 | 2,36 | 2,43 | 2,43 | 2,41 | 0,04 | 0,02 |
| 144,3 | 3,31 | 2,95 | 3,08 | 2,45 | 0,99 | 0,57 |
| 207 | 3,81 | 3,74 | 3,94 | 3,83 | 0,10 | 0,06 |
| 296 | 4,92 | 4,79 | 5,05 | 4,92 | 0,13 | 0,07 |
| 423 | 6,30 | 6,10 | 6,43 | 6,28 | 0,16 | 0,09 |
| 606 | 8,01 | 7,88 | 8,27 | 8,05 | 0,20 | 0,11 |
| 868 | 10,37 | 10,24 | 10,76 | 10,46 | 0,27 | 0,16 |
| 1242 | 13,52 | 13,39 | 14,11 | 13,67 | 0,38 | 0,22 |
| 1779 | 17,72 | 17,59 | 18,58 | 17,96 | 0,53 | 0,31 |
| 2540 | 23,24 | 23,30 | 24,55 | 23,69 | 0,74 | 0,43 |
| 3640 | 30,92 | 31,24 | 32,69 | 31,62 | 0,94 | 0,54 |

Tabela A.27. Resultados para suco de laranja a 55 °Brix e temperatura de 50° C, no reômetro Contraves - sistema MS-DIN 1075

| Taxa de Deformação (s^{-1}) | τ_1 (Pa) | τ_2 (Pa) | τ_3 (Pa) | Valor Médio (Pa) | Desvio padrão | Erro padrão |
|---------------------------------|---------------|---------------|---------------|------------------|---------------|-------------|
| 24 | 5,38 | 5,32 | 5,45 | 5,38 | 0,06 | 0,04 |
| 34,4 | 6,63 | 6,43 | 6,83 | 6,63 | 0,19 | 0,11 |
| 49,2 | 8,07 | 8,07 | 8,27 | 8,14 | 0,11 | 0,06 |
| 70,5 | 9,98 | 9,85 | 10,17 | 9,99 | 0,16 | 0,09 |
| 100,9 | 12,34 | 12,14 | 12,67 | 12,38 | 0,26 | 0,15 |
| 144,3 | 15,23 | 14,90 | 15,42 | 15,18 | 0,26 | 0,15 |
| 207 | 18,90 | 18,44 | 19,03 | 18,79 | 0,31 | 0,18 |
| 296 | 23,56 | 22,97 | 23,69 | 23,41 | 0,38 | 0,22 |
| 423 | 29,47 | 28,68 | 29,34 | 29,17 | 0,42 | 0,24 |
| 606 | 36,89 | 35,84 | 36,63 | 36,45 | 0,55 | 0,31 |
| 868 | 46,34 | 44,89 | 46,01 | 45,75 | 0,76 | 0,44 |
| 1242 | 58,42 | 56,52 | 58,02 | 57,65 | 1,00 | 0,58 |
| -- | -- | -- | -- | -- | -- | -- |
| 24 | 4,73 | 4,59 | 4,79 | 4,70 | 0,10 | 0,06 |
| 34,4 | 5,97 | 5,64 | 5,78 | 5,79 | 0,16 | 0,09 |
| 49,2 | 7,29 | 7,15 | 7,02 | 7,15 | 0,13 | 0,07 |
| 70,5 | 8,93 | 8,47 | 8,79 | 8,73 | 0,24 | 0,14 |
| 100,9 | 10,69 | 10,57 | 10,96 | 10,74 | 0,20 | 0,11 |
| 144,3 | 13,59 | 13,26 | 13,78 | 13,54 | 0,26 | 0,15 |
| 207 | 17,07 | 16,67 | 17,39 | 17,04 | 0,36 | 0,21 |
| 296 | 21,59 | 21,20 | 21,92 | 21,57 | 0,36 | 0,21 |
| 423 | 27,37 | 26,85 | 27,83 | 27,35 | 0,49 | 0,28 |
| 606 | 34,79 | 34,19 | 35,38 | 34,79 | 0,59 | 0,34 |
| 868 | 44,04 | 43,78 | 45,22 | 44,35 | 0,77 | 0,44 |
| 1242 | 57,17 | 56,52 | 58,02 | 57,24 | 0,76 | 0,44 |

Tabela A.28. Resultados para suco de laranja a 55 °Brix e temperatura de 60° C, no reômetro Contraves - sistema MS-DIN 1075

| Taxa de Deformação (s^{-1}) | τ_1 (Pa) | τ_2 (Pa) | τ_3 (Pa) | Valor Médio (Pa) | Desvio padrão | Erro padrão |
|---------------------------------|---------------|---------------|---------------|------------------|---------------|-------------|
| 24 | 3,54 | 3,41 | 3,28 | 3,41 | 0,13 | 0,08 |
| 34,4 | 4,14 | 4,07 | 4,00 | 4,07 | 0,07 | 0,04 |
| 49,2 | 5,19 | 5,05 | 4,86 | 5,03 | 0,17 | 0,10 |
| 70,5 | 6,10 | 6,17 | 6,10 | 6,13 | 0,04 | 0,02 |
| 100,9 | 7,48 | 7,61 | 7,48 | 7,53 | 0,08 | 0,04 |
| 144,3 | 9,45 | 9,52 | 9,39 | 9,45 | 0,07 | 0,04 |
| 207 | 11,82 | 11,88 | 11,82 | 11,84 | 0,04 | 0,02 |
| 296 | 14,97 | 15,03 | 14,83 | 14,94 | 0,10 | 0,06 |
| 423 | 18,84 | 18,97 | 18,84 | 18,88 | 0,08 | 0,04 |
| 606 | 23,96 | 24,09 | 23,96 | 24,00 | 0,08 | 0,04 |
| 868 | 30,52 | 30,79 | 30,46 | 30,59 | 0,17 | 0,10 |
| 1242 | 39,06 | 39,38 | 39,19 | 39,21 | 0,17 | 0,10 |
| 1779 | 50,21 | 50,74 | 50,21 | 50,39 | 0,30 | 0,18 |
| -- | -- | -- | -- | -- | -- | -- |
| 24 | 3,15 | 3,09 | 3,09 | 3,11 | 0,04 | 0,02 |
| 34,4 | 3,87 | 3,81 | 3,61 | 3,76 | 0,14 | 0,08 |
| 49,2 | 4,33 | 4,66 | 4,59 | 4,53 | 0,17 | 0,10 |
| 70,5 | 5,58 | 5,78 | 5,71 | 5,69 | 0,10 | 0,06 |
| 100,9 | 6,89 | 7,22 | 7,09 | 7,07 | 0,17 | 0,10 |
| 144,3 | 8,73 | 8,86 | 8,86 | 8,82 | 0,08 | 0,04 |
| 207 | 11,09 | 11,22 | 11,16 | 11,16 | 0,07 | 0,04 |
| 296 | 13,98 | 14,24 | 14,18 | 14,13 | 0,14 | 0,08 |
| 423 | 17,92 | 18,18 | 18,18 | 18,09 | 0,15 | 0,09 |
| 606 | 22,97 | 23,37 | 23,24 | 23,19 | 0,20 | 0,12 |
| 868 | 29,54 | 30,06 | 29,87 | 29,82 | 0,27 | 0,15 |
| 1242 | 38,33 | 38,92 | 38,60 | 38,62 | 0,30 | 0,17 |
| 1779 | 50,21 | 50,74 | 50,21 | 50,39 | 0,30 | 0,18 |

Tabela A.29. Resultados para suco de laranja a 55 °Brix e temperatura de 70° C, no reômetro Contraves - sistema MS-DIN 1075

| Taxa de Deformação (s^{-1}) | τ_1 (Pa) | τ_2 (Pa) | τ_3 (Pa) | Valor Médio (Pa) | Desvio padrão | Erro padrão |
|---------------------------------|---------------|---------------|---------------|------------------|---------------|-------------|
| 24 | 2,95 | 2,69 | 2,69 | 2,78 | 0,15 | 0,09 |
| 34,4 | 3,61 | 3,35 | 3,41 | 3,46 | 0,14 | 0,08 |
| 49,2 | 4,53 | 4,20 | 4,27 | 4,33 | 0,17 | 0,10 |
| 70,5 | 5,58 | 5,25 | 5,38 | 5,40 | 0,17 | 0,10 |
| 100,9 | 7,02 | 6,63 | 6,76 | 6,80 | 0,20 | 0,12 |
| 144,3 | 8,80 | 8,34 | 8,60 | 8,58 | 0,23 | 0,13 |
| 207 | 11,03 | 10,63 | 10,96 | 10,87 | 0,21 | 0,12 |
| 296 | 13,85 | 13,52 | 13,98 | 13,78 | 0,24 | 0,14 |
| 423 | 17,46 | 17,26 | 17,92 | 17,55 | 0,34 | 0,19 |
| 606 | 22,19 | 22,12 | 22,97 | 22,43 | 0,47 | 0,27 |
| 868 | 28,16 | 28,36 | 29,60 | 28,71 | 0,78 | 0,45 |
| 1242 | 35,91 | 36,43 | 38,07 | 36,80 | 1,13 | 0,65 |
| 1779 | 46,08 | 46,93 | 49,23 | 47,41 | 1,63 | 0,94 |
| 2540 | 59,47 | 60,72 | 63,87 | 61,35 | 2,27 | 1,31 |
| -- | -- | -- | -- | -- | -- | -- |
| 24 | 2,69 | 2,76 | 2,95 | 2,80 | 0,14 | 0,08 |
| 34,4 | 3,35 | 3,41 | 3,61 | 3,46 | 0,14 | 0,08 |
| 49,2 | 4,14 | 4,27 | 4,53 | 4,31 | 0,20 | 0,12 |
| 70,5 | 5,12 | 5,32 | 5,65 | 5,36 | 0,27 | 0,15 |
| 100,9 | 6,50 | 6,70 | 7,09 | 6,76 | 0,30 | 0,17 |
| 144,3 | 8,14 | 8,40 | 8,99 | 8,51 | 0,44 | 0,25 |
| 207 | 10,37 | 10,70 | 11,42 | 10,83 | 0,54 | 0,31 |
| 296 | 13,19 | 13,59 | 14,51 | 13,76 | 0,67 | 0,39 |
| 423 | 16,87 | 17,39 | 18,44 | 17,57 | 0,80 | 0,46 |
| 606 | 21,66 | 22,25 | 23,63 | 22,51 | 1,01 | 0,58 |
| 868 | 27,77 | 28,49 | 30,19 | 28,82 | 1,25 | 0,72 |
| 1242 | 35,71 | 36,63 | 38,73 | 37,02 | 1,55 | 0,89 |
| 1779 | 46,01 | 47,13 | 49,76 | 47,63 | 1,92 | 1,11 |
| 2540 | 59,47 | 60,72 | 63,87 | 61,35 | 2,27 | 1,31 |

Tabela A.30. Resultados para suco de laranja a 55 °Brix e temperatura de 80° C, no reômetro Contraves - sistema MS-DIN 1075

| Taxa de Deformação (s^{-1}) | τ_1 (Pa) | τ_2 (Pa) | τ_3 (Pa) | Valor Médio (Pa) | Desvio padrão | Erro padrão |
|---------------------------------|---------------|---------------|---------------|------------------|---------------|-------------|
| 24 | 2,49 | 2,63 | 2,63 | 2,58 | 0,08 | 0,04 |
| 34,4 | 3,02 | 3,02 | 3,22 | 3,09 | 0,11 | 0,07 |
| 49,2 | 3,68 | 3,61 | 3,81 | 3,70 | 0,10 | 0,06 |
| 70,5 | 4,53 | 4,40 | 4,66 | 4,53 | 0,13 | 0,08 |
| 100,9 | 5,58 | 5,58 | 5,71 | 5,62 | 0,08 | 0,04 |
| 144,3 | 6,96 | 7,09 | 7,02 | 7,02 | 0,07 | 0,04 |
| 207 | 8,66 | 8,86 | 8,86 | 8,80 | 0,11 | 0,07 |
| 296 | 10,90 | 11,16 | 11,09 | 11,05 | 0,14 | 0,08 |
| 423 | 13,85 | 14,05 | 13,92 | 13,94 | 0,10 | 0,06 |
| 606 | 17,59 | 17,85 | 17,66 | 17,70 | 0,14 | 0,08 |
| 868 | 22,45 | 22,78 | 22,51 | 22,58 | 0,17 | 0,10 |
| 1242 | 28,75 | 29,21 | 28,82 | 28,93 | 0,25 | 0,14 |
| 1779 | 37,02 | 37,74 | 37,15 | 37,31 | 0,38 | 0,22 |
| 2540 | 48,25 | 49,30 | 48,44 | 48,66 | 0,56 | 0,32 |
| -- | -- | -- | -- | -- | -- | -- |
| 24 | 2,49 | 2,49 | 2,49 | 2,49 | 3,30E-8 | 1,90E-8 |
| 34,4 | 3,02 | 3,09 | 3,09 | 3,06 | 0,04 | 0,02 |
| 49,2 | 3,74 | 3,74 | 3,68 | 3,72 | 0,04 | 0,02 |
| 70,5 | 4,59 | 4,59 | 4,53 | 4,57 | 0,04 | 0,02 |
| 100,9 | 5,65 | 5,71 | 5,58 | 5,65 | 0,07 | 0,04 |
| 144,3 | 6,96 | 7,02 | 6,96 | 6,98 | 0,04 | 0,02 |
| 207 | 8,73 | 8,86 | 8,73 | 8,77 | 0,08 | 0,04 |
| 296 | 10,96 | 11,16 | 10,96 | 11,03 | 0,11 | 0,07 |
| 423 | 13,92 | 14,18 | 13,92 | 14,00 | 0,15 | 0,09 |
| 606 | 17,72 | 18,12 | 17,66 | 17,83 | 0,25 | 0,14 |
| 868 | 22,71 | 23,17 | 22,65 | 22,84 | 0,29 | 0,17 |
| 1242 | 29,14 | 29,67 | 28,95 | 29,25 | 0,37 | 0,22 |
| 1779 | 37,61 | 38,27 | 37,41 | 37,76 | 0,45 | 0,26 |
| 2540 | 48,77 | 49,30 | 48,44 | 48,84 | 0,43 | 0,25 |

Tabela A.31. Resultados para suco de laranja a 64,8 °Brix e temperatura de 50°C, no reômetro Contraves - sistema MS-DIN 1075

| Taxa de Deformação (s^{-1}) | τ_1 (Pa) | τ_2 (Pa) | τ_3 (Pa) | Valor Médio (Pa) | Desvio padrão | Erro padrão |
|---------------------------------|---------------|---------------|---------------|------------------|---------------|-------------|
| 24 | 12,08 | 12,27 | 11,95 | 12,09 | 0,16 | 0,09 |
| 34,4 | 14,77 | 14,97 | 14,97 | 14,90 | 0,11 | 0,07 |
| 49,2 | 18,18 | 18,38 | 18,25 | 18,27 | 0,10 | 0,06 |
| 70,5 | 22,45 | 22,65 | 22,65 | 22,58 | 0,11 | 0,07 |
| 100,9 | 27,77 | 27,89 | 27,89 | 27,85 | 0,08 | 0,04 |
| 144,3 | 34,26 | 34,39 | 34,53 | 34,39 | 0,13 | 0,08 |
| 207 | 42,60 | 42,93 | 43,12 | 42,88 | 0,26 | 0,15 |
| 296 | 53,63 | 53,76 | 54,02 | 53,80 | 0,20 | 0,12 |
| -- | -- | -- | -- | -- | -- | -- |
| 24 | 11,29 | 11,09 | 11,42 | 11,27 | 0,16 | 0,09 |
| 34,4 | 13,72 | 13,78 | 14,44 | 13,98 | 0,39 | 0,23 |
| 49,2 | 17,19 | 17,19 | 17,39 | 17,26 | 0,11 | 0,07 |
| 70,5 | 21,33 | 21,20 | 21,59 | 21,38 | 0,20 | 0,12 |
| 100,9 | 26,65 | 26,58 | 26,91 | 26,71 | 0,17 | 0,10 |
| 144,3 | 33,48 | 33,41 | 33,74 | 33,54 | 0,17 | 0,10 |
| 207 | 42,14 | 42,21 | 42,60 | 42,32 | 0,25 | 0,14 |
| 296 | 53,63 | 53,76 | 54,02 | 53,80 | 0,20 | 0,12 |

Tabela A.32. Resultados para suco de laranja a 64,8 °Brix e temperatura de 60° C, no reômetro Contraves - sistema MS-DIN 1075

| Taxa de Deformação (s^{-1}) | τ_1 (Pa) | τ_2 (Pa) | τ_3 (Pa) | Valor Médio (Pa) | Desvio padrão | Erro padrão |
|---------------------------------|---------------|---------------|---------------|------------------|---------------|-------------|
| 24 | 9,71 | 9,65 | 9,52 | 9,63 | 0,10 | 0,06 |
| 34,4 | 11,68 | 11,75 | 11,49 | 11,64 | 0,14 | 0,08 |
| 49,2 | 14,51 | 13,98 | 14,18 | 14,22 | 0,26 | 0,15 |
| 70,5 | 17,85 | 17,00 | 17,39 | 17,42 | 0,43 | 0,25 |
| 100,9 | 21,92 | 21,07 | 21,39 | 21,46 | 0,43 | 0,25 |
| 144,3 | 27,17 | 26,32 | 26,52 | 26,67 | 0,45 | 0,26 |
| 207 | 33,48 | 32,62 | 33,02 | 33,04 | 0,43 | 0,25 |
| 296 | 41,94 | 40,76 | 41,35 | 41,35 | 0,59 | 0,34 |
| 423 | 52,71 | 51,33 | 51,92 | 51,99 | 0,69 | 0,39 |
| -- | -- | -- | -- | -- | -- | -- |
| 24 | 8,93 | 8,40 | 8,73 | 8,69 | 0,26 | 0,15 |
| 34,4 | 10,89 | 10,50 | 10,63 | 10,68 | 0,20 | 0,12 |
| 49,2 | 13,32 | 12,93 | 13,19 | 13,15 | 0,20 | 0,12 |
| 70,5 | 16,47 | 16,08 | 16,15 | 16,23 | 0,21 | 0,12 |
| 100,9 | 20,61 | 20,02 | 20,22 | 20,28 | 0,30 | 0,17 |
| 144,3 | 25,86 | 25,14 | 25,34 | 25,45 | 0,37 | 0,21 |
| 207 | 32,56 | 31,70 | 32,03 | 32,09 | 0,43 | 0,25 |
| 296 | 41,22 | 40,24 | 40,56 | 40,67 | 0,50 | 0,29 |
| 423 | 52,71 | 51,33 | 51,92 | 51,99 | 0,69 | 0,39 |

Tabela A.33. Resultados para suco de caju a 57,2 °Brix e temperatura de 70° C, no reômetro Contraves - sistema MS-DIN 1075

| Taxa de Deformação (s^{-1}) | τ_1 (Pa) | τ_2 (Pa) | τ_3 (Pa) | Valor Médio (Pa) | Desvio padrão | Erro padrão |
|---------------------------------|---------------|---------------|---------------|------------------|---------------|-------------|
| 24 | 0,72 | 0,72 | 0,72 | 0,72 | 0 | 0 |
| 34,4 | 0,98 | 0,92 | 0,92 | 0,94 | 0,04 | 0,02 |
| 49,2 | 1,12 | 1,18 | 1,12 | 1,14 | 0,04 | 0,02 |
| 70,5 | 1,51 | 1,51 | 1,44 | 1,49 | 0,04 | 0,02 |
| 100,9 | 1,97 | 1,97 | 1,97 | 1,97 | 0 | 0 |
| 144,3 | 2,49 | 2,43 | 2,36 | 2,43 | 0,07 | 0,04 |
| 207 | 3,09 | 3,09 | 2,95 | 3,04 | 0,08 | 0,04 |
| 296 | 3,94 | 3,94 | 3,87 | 3,92 | 0,04 | 0,02 |
| 423 | 5,12 | 5,19 | 4,99 | 5,10 | 0,10 | 0,06 |
| 606 | 6,63 | 6,83 | 6,56 | 6,67 | 0,14 | 0,08 |
| 868 | 8,93 | 9,19 | 8,73 | 8,95 | 0,23 | 0,13 |
| 1242 | 12,01 | 12,34 | 11,82 | 12,06 | 0,27 | 0,15 |
| 1779 | 16,28 | 16,74 | 15,95 | 16,32 | 0,40 | 0,23 |
| 2540 | 22,25 | 22,84 | 21,66 | 22,25 | 0,59 | 0,34 |
| 3640 | 30,85 | 31,84 | 30,19 | 30,96 | 0,83 | 0,48 |
| -- | -- | -- | -- | -- | -- | -- |
| 24 | 0,72 | 0,72 | 0,72 | 0,72 | 0 | 0 |
| 34,4 | 0,92 | 0,92 | 0,85 | 0,90 | 0,04 | 0,02 |
| 49,2 | 1,12 | 1,18 | 1,12 | 1,14 | 0,04 | 0,02 |
| 70,5 | 1,51 | 1,51 | 1,38 | 1,47 | 0,08 | 0,04 |
| 100,9 | 1,97 | 1,97 | 1,77 | 1,90 | 0,11 | 0,07 |
| 144,3 | 2,36 | 2,43 | 2,23 | 2,34 | 0,10 | 0,06 |
| 207 | 3,02 | 3,09 | 2,89 | 3,00 | 0,10 | 0,06 |
| 296 | 3,81 | 3,94 | 3,74 | 3,83 | 0,10 | 0,06 |
| 423 | 4,99 | 5,19 | 4,86 | 5,01 | 0,17 | 0,10 |
| 606 | 6,63 | 6,89 | 6,43 | 6,65 | 0,23 | 0,13 |
| 868 | 8,93 | 9,19 | 8,66 | 8,93 | 0,26 | 0,15 |
| 1242 | 12,01 | 12,34 | 11,75 | 12,03 | 0,30 | 0,17 |
| 1779 | 16,28 | 16,74 | 15,88 | 16,30 | 0,43 | 0,25 |
| 2540 | 22,19 | 22,97 | 21,73 | 22,30 | 0,63 | 0,36 |
| 3640 | 30,85 | 31,84 | 30,19 | 30,96 | 0,83 | 0,48 |

Tabela A.34. Resultados para suco de limão a 61 °Brix e temperatura de 50° C, no reômetro Contraves - sistema MS-DIN 1075

| Taxa de Deformação (s^{-1}) | τ_1 (Pa) | τ_2 (Pa) | τ_3 (Pa) | Valor Médio (Pa) | Desvio padrão | Erro padrão |
|---------------------------------|---------------|---------------|---------------|------------------|---------------|-------------|
| 24 | 0,66 | 0,39 | 0,66 | 0,57 | 0,15 | 0,09 |
| 34,4 | 0,85 | 0,59 | 0,85 | 0,77 | 0,15 | 0,09 |
| 49,2 | 1,12 | 0,85 | 1,12 | 1,03 | 0,15 | 0,09 |
| 70,5 | 1,51 | 1,25 | 1,51 | 1,42 | 0,15 | 0,09 |
| 100,9 | 1,97 | 1,77 | 2,03 | 1,93 | 0,14 | 0,08 |
| 144,3 | 2,69 | 2,49 | 2,76 | 2,65 | 0,14 | 0,08 |
| 207 | 3,61 | 3,54 | 3,68 | 3,61 | 0,07 | 0,04 |
| 296 | 4,99 | 4,92 | 5,05 | 4,99 | 0,07 | 0,04 |
| 423 | 6,96 | 6,96 | 7,02 | 6,98 | 0,04 | 0,02 |
| 606 | 9,71 | 9,78 | 9,78 | 9,76 | 0,04 | 0,02 |
| 868 | 13,65 | 13,78 | 13,72 | 13,72 | 0,07 | 0,04 |
| 1242 | 19,17 | 19,36 | 19,30 | 19,28 | 0,10 | 0,06 |
| 1779 | 26,98 | 27,31 | 27,17 | 27,15 | 0,17 | 0,10 |
| 2540 | 38,27 | 38,60 | 38,33 | 38,40 | 0,17 | 0,10 |
| 3640 | 54,55 | 55,07 | 54,48 | 54,70 | 0,32 | 0,19 |
| -- | -- | -- | -- | -- | -- | -- |
| 24 | 0,59 | 0,39 | 0,66 | 0,55 | 0,14 | 0,08 |
| 34,4 | 0,79 | 0,53 | 0,79 | 0,70 | 0,15 | 0,09 |
| 49,2 | 1,05 | 0,79 | 1,05 | 0,96 | 0,15 | 0,09 |
| 70,5 | 1,44 | 1,12 | 1,44 | 1,33 | 0,19 | 0,11 |
| 100,9 | 1,97 | 1,58 | 1,97 | 1,84 | 0,23 | 0,13 |
| 144,3 | 2,63 | 2,30 | 2,63 | 2,52 | 0,19 | 0,11 |
| 207 | 3,61 | 3,28 | 3,61 | 3,50 | 0,19 | 0,11 |
| 296 | 4,99 | 4,66 | 4,92 | 4,86 | 0,17 | 0,10 |
| 423 | 6,96 | 6,63 | 6,96 | 6,85 | 0,19 | 0,11 |
| 606 | 9,71 | 9,45 | 9,71 | 9,63 | 0,15 | 0,09 |
| 868 | 13,72 | 13,39 | 13,65 | 13,59 | 0,17 | 0,10 |
| 1242 | 19,30 | 19,04 | 19,30 | 19,21 | 0,15 | 0,09 |
| 1779 | 27,11 | 27,04 | 27,11 | 27,09 | 0,04 | 0,02 |
| 2540 | 38,27 | 38,60 | 38,20 | 38,36 | 0,21 | 0,12 |
| 3640 | 54,55 | 55,07 | 54,48 | 54,70 | 0,32 | 0,19 |

Tabela A.35. Resultados para suco de limão a 61 °Brix e temperatura de 70° C, no reômetro Contraves - sistema MS-DIN 1075

| Taxa de Deformação (s^{-1}) | τ_1 (Pa) | τ_2 (Pa) | τ_3 (Pa) | Valor Médio (Pa) | Desvio padrão | Erro padrão |
|---------------------------------|---------------|---------------|---------------|------------------|---------------|-------------|
| 24 | 0,33 | 0,33 | 0,33 | 0,33 | 0 | 0 |
| 34,4 | 0,39 | 0,39 | 0,46 | 0,42 | 0,04 | 0,02 |
| 49,2 | 0,53 | 0,59 | 0,59 | 0,57 | 0,04 | 0,02 |
| 70,5 | 0,72 | 0,79 | 0,85 | 0,79 | 0,07 | 0,04 |
| 100,9 | 1,05 | 1,12 | 1,18 | 1,12 | 0,07 | 0,04 |
| 144,3 | 1,38 | 1,44 | 1,71 | 1,51 | 0,17 | 0,10 |
| 207 | 1,90 | 1,97 | 2,17 | 2,01 | 0,14 | 0,08 |
| 296 | 2,63 | 2,69 | 2,95 | 2,76 | 0,17 | 0,10 |
| 423 | 3,68 | 3,74 | 3,87 | 3,76 | 0,10 | 0,06 |
| 606 | 5,12 | 5,19 | 5,32 | 5,21 | 0,10 | 0,06 |
| 868 | 7,22 | 7,29 | 7,35 | 7,29 | 0,07 | 0,04 |
| 1242 | 10,17 | 10,24 | 10,24 | 10,22 | 0,04 | 0,02 |
| 1779 | 14,31 | 14,51 | 14,44 | 14,42 | 0,10 | 0,06 |
| 2540 | 20,28 | 20,68 | 20,61 | 20,52 | 0,21 | 0,12 |
| 3640 | 28,95 | 30,06 | 29,73 | 29,58 | 0,57 | 0,33 |
| -- | -- | -- | -- | -- | -- | -- |
| 24 | 0,33 | 0,33 | 0,33 | 0,33 | 0 | 0 |
| 34,4 | 0,46 | 0,46 | 0,46 | 0,46 | 9,11E-9 | 5,26E-9 |
| 49,2 | 0,59 | 0,59 | 0,66 | 0,61 | 0,04 | 0,02 |
| 70,5 | 0,79 | 0,79 | 0,85 | 0,81 | 0,04 | 0,02 |
| 100,9 | 1,05 | 1,05 | 1,18 | 1,09 | 0,08 | 0,04 |
| 144,3 | 1,44 | 1,44 | 1,51 | 1,47 | 0,04 | 0,02 |
| 207 | 1,97 | 1,97 | 2,10 | 2,01 | 0,08 | 0,04 |
| 296 | 2,69 | 2,69 | 2,82 | 2,74 | 0,08 | 0,04 |
| 423 | 3,68 | 3,74 | 3,81 | 3,74 | 0,07 | 0,04 |
| 606 | 5,12 | 5,25 | 5,25 | 5,21 | 0,08 | 0,04 |
| 868 | 7,15 | 7,35 | 7,35 | 7,29 | 0,11 | 0,07 |
| 1242 | 10,04 | 10,37 | 10,31 | 10,24 | 0,17 | 0,10 |
| 1779 | 14,24 | 14,70 | 14,64 | 14,53 | 0,25 | 0,14 |
| 2540 | 20,28 | 21,00 | 20,81 | 20,70 | 0,37 | 0,22 |
| 3640 | 28,95 | 30,06 | 29,73 | 29,58 | 0,57 | 0,33 |

Tabela A.36. Resultados para suco de maracujá a 45 °Brix e temperatura de 50° C, no reômetro Contraves - sistema MS-DIN 1075

| Taxa de Deformação (s^{-1}) | τ_1 (Pa) | τ_2 (Pa) | τ_3 (Pa) | Valor Médio (Pa) | Desvio padrão | Erro padrão |
|---------------------------------|---------------|---------------|---------------|------------------|---------------|-------------|
| 24 | 0,33 | 0,30 | 0,33 | 0,32 | 0,02 | 0,01 |
| 34,4 | 0,46 | 0,39 | 0,46 | 0,44 | 0,04 | 0,02 |
| 49,2 | 0,62 | 0,56 | 0,62 | 0,60 | 0,04 | 0,02 |
| 70,5 | 0,79 | 0,75 | 0,85 | 0,80 | 0,05 | 0,03 |
| 100,9 | 1,05 | 0,98 | 1,05 | 1,03 | 0,04 | 0,02 |
| 144,3 | 1,38 | 1,31 | 1,38 | 1,36 | 0,04 | 0,02 |
| 207 | 1,77 | 1,74 | 1,77 | 1,76 | 0,02 | 0,01 |
| 296 | 2,33 | 2,33 | 2,33 | 2,33 | 2,33E-8 | 1,34E-8 |
| 423 | 3,05 | 3,12 | 3,02 | 3,06 | 0,05 | 0,03 |
| 606 | 4,07 | 4,14 | 4,00 | 4,07 | 0,07 | 0,04 |
| 868 | 5,51 | 5,65 | 5,42 | 5,52 | 0,12 | 0,07 |
| 1242 | 7,55 | 7,71 | 7,42 | 7,56 | 0,15 | 0,09 |
| 1779 | 10,44 | 10,63 | 10,31 | 10,46 | 0,17 | 0,10 |
| 2540 | 14,57 | 14,83 | 14,38 | 14,59 | 0,23 | 0,13 |
| 3640 | 20,41 | 20,74 | 20,02 | 20,39 | 0,36 | 0,21 |
| -- | -- | -- | -- | -- | -- | -- |
| 24 | 0,30 | 0,26 | 0,26 | 0,27 | 0,02 | 0,01 |
| 34,4 | 0,39 | 0,39 | 0,39 | 0,39 | 1,95E-9 | 1,13E-9 |
| 49,2 | 0,53 | 0,56 | 0,56 | 0,55 | 0,02 | 0,01 |
| 70,5 | 0,72 | 0,72 | 0,75 | 0,73 | 0,02 | 0,01 |
| 100,9 | 0,98 | 0,98 | 0,98 | 0,98 | 0 | 0 |
| 144,3 | 1,28 | 1,28 | 1,31 | 1,29 | 0,02 | 0,01 |
| 207 | 1,71 | 1,71 | 1,71 | 1,71 | 0 | 0 |
| 296 | 2,26 | 2,26 | 2,26 | 2,26 | 2,03E-8 | 1,17E-8 |
| 423 | 3,02 | 3,09 | 3,02 | 3,04 | 0,04 | 0,02 |
| 606 | 4,07 | 4,14 | 4,00 | 4,07 | 0,07 | 0,04 |
| 868 | 5,58 | 5,65 | 5,45 | 5,56 | 0,10 | 0,06 |
| 1242 | 7,61 | 7,71 | 7,42 | 7,58 | 0,15 | 0,09 |
| 1779 | 10,50 | 10,63 | 10,27 | 10,47 | 0,18 | 0,11 |
| 2540 | 14,64 | 14,77 | 14,31 | 14,57 | 0,24 | 0,14 |
| 3640 | 20,41 | 20,74 | 20,02 | 20,39 | 0,36 | 0,21 |

Tabela A.37. Resultados para suco de maracujá a 45 °Brix e temperatura de 70°C, no reômetro Contraves - sistema MS-DIN 1075

| Taxa de Deformação (s^{-1}) | τ_1 (Pa) | τ_2 (Pa) | τ_3 (Pa) | Valor Médio (Pa) | Desvio padrão | Erro padrão |
|---------------------------------|---------------|---------------|---------------|------------------|---------------|-------------|
| 24 | 0,20 | 0,20 | 0,20 | 0,20 | 9,75E-10 | 5,63E-10 |
| 34,4 | 0,26 | 0,26 | 0,26 | 0,26 | 2,51E-9 | 1,45E-9 |
| 49,2 | 0,33 | 0,33 | 0,39 | 0,35 | 0,04 | 0,02 |
| 70,5 | 0,46 | 0,46 | 0,53 | 0,48 | 0,04 | 0,02 |
| 100,9 | 0,66 | 0,59 | 0,66 | 0,63 | 0,04 | 0,02 |
| 144,3 | 0,89 | 0,82 | 0,89 | 0,86 | 0,04 | 0,02 |
| 207 | 1,18 | 1,08 | 1,18 | 1,15 | 0,06 | 0,03 |
| 296 | 1,54 | 1,44 | 1,58 | 1,52 | 0,07 | 0,04 |
| 423 | 2,03 | 1,90 | 2,03 | 1,99 | 0,08 | 0,04 |
| 606 | 2,63 | 2,56 | 2,72 | 2,64 | 0,08 | 0,05 |
| 868 | 3,48 | 3,48 | 3,61 | 3,52 | 0,08 | 0,04 |
| 1242 | 4,66 | 4,73 | 4,82 | 4,74 | 0,08 | 0,05 |
| 1779 | 6,37 | 6,56 | 6,63 | 6,52 | 0,14 | 0,08 |
| 2540 | 8,86 | 9,19 | 9,26 | 9,10 | 0,21 | 0,12 |
| 3640 | 14,44 | 14,90 | 14,83 | 14,73 | 0,25 | 0,14 |
| -- | -- | -- | -- | -- | -- | -- |
| 24 | 0,20 | 0,20 | 0,20 | 0,20 | 9,75E-10 | 5,63E-10 |
| 34,4 | 0,20 | 0,26 | 0,26 | 0,24 | 0,04 | 0,02 |
| 49,2 | 0,33 | 0,33 | 0,33 | 0,33 | 0 | 0 |
| 70,5 | 0,43 | 0,46 | 0,46 | 0,45 | 0,02 | 0,01 |
| 100,9 | 0,56 | 0,59 | 0,59 | 0,58 | 0,02 | 0,01 |
| 144,3 | 0,79 | 1,28 | 0,79 | 0,95 | 0,28 | 0,16 |
| 207 | 1,05 | 1,08 | 1,08 | 1,07 | 0,02 | 0,01 |
| 296 | 1,38 | 1,44 | 1,44 | 1,42 | 0,04 | 0,02 |
| 423 | 1,84 | 1,90 | 1,90 | 1,88 | 0,04 | 0,02 |
| 606 | 2,43 | 2,56 | 2,56 | 2,52 | 0,08 | 0,04 |
| 868 | 3,35 | 3,48 | 3,48 | 3,44 | 0,08 | 0,06 |
| 1242 | 4,59 | 4,73 | 4,79 | 4,70 | 0,10 | 0,06 |
| 1779 | 6,37 | 6,56 | 6,63 | 6,52 | 0,14 | 0,08 |
| 2540 | 8,86 | 9,19 | 9,26 | 9,10 | 0,21 | 0,12 |
| 3640 | 14,44 | 14,90 | 14,83 | 14,73 | 0,25 | 0,14 |

Tabela A.38. Resultados para suco de maracujá a 59,2 °Brix e temperatura de 50°C, no reômetro Contraves - sistema MS-DIN 1075

| Taxa de Deformação (s^{-1}) | τ_1 (Pa) | τ_2 (Pa) | τ_3 (Pa) | Valor Médio (Pa) | Desvio padrão | Erro padrão |
|---------------------------------|---------------|---------------|---------------|------------------|---------------|-------------|
| 24 | 1,12 | 0,92 | 1,05 | 1,03 | 0,10 | 0,06 |
| 34,4 | 1,44 | 1,28 | 1,38 | 1,37 | 0,08 | 0,05 |
| 49,2 | 1,87 | 1,64 | 1,77 | 1,76 | 0,12 | 0,07 |
| 70,5 | 2,36 | 2,13 | 2,30 | 2,26 | 0,12 | 0,07 |
| 100,9 | 3,05 | 2,82 | 2,95 | 2,94 | 0,12 | 0,07 |
| 144,3 | 3,94 | 3,74 | 3,87 | 3,85 | 0,10 | 0,06 |
| 207 | 5,19 | 4,99 | 5,12 | 5,10 | 0,10 | 0,06 |
| 296 | 6,93 | 6,76 | 6,93 | 6,87 | 0,09 | 0,05 |
| 423 | 9,35 | 9,19 | 9,35 | 9,30 | 0,09 | 0,05 |
| 606 | 12,73 | 12,60 | 12,73 | 12,69 | 0,08 | 0,04 |
| 868 | 17,33 | 17,33 | 17,46 | 17,37 | 0,08 | 0,04 |
| 1242 | 23,76 | 23,83 | 23,89 | 23,83 | 0,07 | 0,04 |
| 1779 | 32,69 | 32,89 | 32,89 | 32,82 | 0,11 | 0,07 |
| 2540 | 45,03 | 45,29 | 45,29 | 45,20 | 0,15 | 0,09 |
| 3640 | 62,23 | 62,75 | 62,49 | 62,49 | 0,26 | 0,15 |
| -- | -- | -- | -- | -- | -- | -- |
| 24 | 1,02 | 0,92 | 0,92 | 0,95 | 0,06 | 0,03 |
| 34,4 | 1,28 | 1,18 | 1,18 | 1,21 | 0,06 | 0,03 |
| 49,2 | 1,64 | 1,51 | 1,58 | 1,58 | 0,07 | 0,04 |
| 70,5 | 2,17 | 2,07 | 2,07 | 2,10 | 0,06 | 0,03 |
| 100,9 | 2,82 | 2,72 | 2,72 | 2,76 | 0,06 | 0,03 |
| 144,3 | 3,74 | 3,64 | 3,64 | 3,68 | 0,06 | 0,03 |
| 207 | 4,99 | 4,92 | 4,92 | 4,94 | 0,04 | 0,02 |
| 296 | 6,76 | 6,70 | 6,70 | 6,72 | 0,04 | 0,02 |
| 423 | 9,19 | 9,12 | 9,19 | 9,17 | 0,04 | 0,02 |
| 606 | 12,54 | 12,54 | 12,60 | 12,56 | 0,04 | 0,02 |
| 868 | 17,20 | 17,26 | 17,33 | 17,26 | 0,07 | 0,04 |
| 1242 | 23,70 | 23,89 | 23,89 | 23,83 | 0,11 | 0,07 |
| 1779 | 32,69 | 32,95 | 32,89 | 32,84 | 0,14 | 0,08 |
| 2540 | 45,03 | 45,55 | 45,29 | 45,29 | 0,26 | 0,15 |
| 3640 | 62,23 | 62,75 | 62,49 | 62,49 | 0,26 | 0,15 |

Tabela A.39. Resultados para suco de maracujá a 59,2 °Brix e temperatura de 70°C, no reómetro Contraves - sistema MS-DIN 1075

| Taxa de Deformação (s^{-1}) | τ_1 (Pa) | τ_2 (Pa) | τ_3 (Pa) | Valor Médio (Pa) | Desvio padrão | Erro padrão |
|---------------------------------|---------------|---------------|---------------|------------------|---------------|-------------|
| 24 | 0,79 | 0,85 | 0,72 | 0,79 | 0,07 | 0,04 |
| 34,4 | 1,12 | 1,12 | 0,85 | 1,03 | 0,15 | 0,09 |
| 49,2 | 1,38 | 1,38 | 1,12 | 1,29 | 0,15 | 0,09 |
| 70,5 | 1,64 | 1,71 | 1,44 | 1,60 | 0,14 | 0,08 |
| 100,9 | 2,03 | 2,10 | 1,97 | 2,03 | 0,07 | 0,04 |
| 144,3 | 2,63 | 2,69 | 2,43 | 2,58 | 0,14 | 0,08 |
| 207 | 3,28 | 3,48 | 3,22 | 3,33 | 0,14 | 0,08 |
| 296 | 4,20 | 4,40 | 4,27 | 4,29 | 0,10 | 0,06 |
| 423 | 5,58 | 5,71 | 5,71 | 5,67 | 0,08 | 0,04 |
| 606 | 7,42 | 7,61 | 7,75 | 7,59 | 0,17 | 0,10 |
| 868 | 9,98 | 10,31 | 10,50 | 10,26 | 0,27 | 0,15 |
| 1242 | 13,59 | 13,92 | 14,44 | 13,98 | 0,43 | 0,25 |
| 1779 | 18,71 | 19,10 | 19,82 | 19,21 | 0,57 | 0,33 |
| 2540 | 25,86 | 26,26 | 27,24 | 26,45 | 0,71 | 0,41 |
| 3640 | 36,30 | 36,82 | 37,94 | 37,02 | 0,84 | 0,48 |
| -- | -- | -- | -- | -- | -- | -- |
| 24 | 0,72 | 0,79 | 0,66 | 0,72 | 0,07 | 0,04 |
| 34,4 | 1,12 | 0,98 | 0,85 | 0,98 | 0,13 | 0,08 |
| 49,2 | 1,31 | 1,31 | 1,12 | 1,25 | 0,11 | 0,07 |
| 70,5 | 1,58 | 1,51 | 1,38 | 1,49 | 0,10 | 0,06 |
| 100,9 | 2,03 | 1,97 | 1,84 | 1,95 | 0,10 | 0,06 |
| 144,3 | 2,56 | 2,56 | 2,49 | 2,54 | 0,04 | 0,02 |
| 207 | 3,28 | 3,28 | 3,22 | 3,26 | 0,04 | 0,02 |
| 296 | 4,27 | 4,27 | 4,33 | 4,29 | 0,04 | 0,02 |
| 423 | 5,65 | 5,71 | 5,84 | 5,73 | 0,10 | 0,06 |
| 606 | 7,61 | 7,68 | 7,88 | 7,72 | 0,14 | 0,08 |
| 868 | 10,24 | 10,44 | 10,76 | 10,48 | 0,27 | 0,15 |
| 1242 | 13,98 | 14,24 | 14,57 | 14,27 | 0,30 | 0,17 |
| 1779 | 19,10 | 19,36 | 19,95 | 19,47 | 0,44 | 0,25 |
| 2540 | 26,19 | 26,52 | 27,37 | 26,69 | 0,61 | 0,35 |
| 3640 | 36,30 | 36,82 | 37,94 | 37,02 | 0,84 | 0,48 |